

PD 13897



UNIVERZITET U BEOGRADU
GRADJEVINSKI FAKULTET

PROKIĆ ALEKSANDAR

TANKOZIDNI NOSAČI
OTVORENO-ZATVORENOG
POPREČNOG PRESEKA

-DOKTORSKA DISERTACIJA-

MENTOR:
PROF. DR. MIODRAG SEKULOVIĆ

УНИВЕРЗИТЕТСКА БИБЛИОТЕКА
ДРЕТОВАР МАРКОВИЋ - БЕОГРАД
9 И. Бр. 95475

1941 129



УНИВЕРЗИТЕТСКА БИБЛИОТЕКА
ДРЕТОВАР МАРКОВИЋ - БЕОГРАД
УНИВЕРЗИТЕТСКА БИБЛИОТЕКА
ДРЕТОВАР МАРКОВИЋ - БЕОГРАД

SADRŽAJ

	Strana
KRATAK ISTORIJSKI PREGLED	I
UVOD	1
1. TANKOZIDNI ŠTAP PROIZVOLJNOG, OTVORENOG ILI ZATVORENOG POPREČNOG PRESEKA	3
1.1 OSNOVNE PRETPOSTAVKE	3
1.2 DEFORMACIJA ŠTAPA	4
1.3 NAPONI I PRESEČNE SILE	7
1.4 USLOVI RAVNOTEŽE	9
1.5 DIFERENCIJALNE JEDNAČINE I KONTURNI USLOVI	13
1.6 UPROŠĆENJE $f=\vartheta'$	15
2. PRIMENA METODE KONAČNIH ELEMENATA	18
2.1 UPDATED LAGRANGEOVE INKREMENTALNE JEDNAČINE RAVNOTEŽE	18
2.2 FORMULACIJA PROBLEMA PO METODI KONAČNIH ELEMENATA	21
2.3 KONAČAN ELEMENAT I	22
2.3.1 Osnovne karakteristike elementa	22
2.3.2 Vektor pomeranja	22
2.3.3 Linearna matrica krutosti	24
2.3.4 Geometrijska matrica krutosti	33
2.4 KONAČAN ELEMENAT II	36
2.4.1 Osnovne karakteristike elementa	36

	Strana
2.4.2 Vektor pomeranja	37
2.4.3 Linearna matrica krutosti	39
2.4.4 Geometrijska matrica krutosti	45
2.5 GEOMETRIJSKE KARAKTERISTIKE PRESEKA	47
2.6 MODIFIKACIJA MATRICE KRUTOSTI ELEMENTA	50
2.7 MATRICA TRANSFORMACIJE	51
2.7.1 Matrica transformacije za početnu konfiguraciju elementa	51
2.7.2 Matrica transformacije u updated Lagrangeovom inkrementalnom postupku .	53
2.8 MATRICA KRUTOSTI KONAČNOG ELEMENTA U GLOBALNOM KOORDINATNOM SISTEMU	57
2.9 SISTEMNA TAČKA PRESEKA	59
2.10 MATRICA KRUTOSTI SISTEMA	63
2.11 VEKTOR ČVORNIH SILA I NUMERIČKA INTEGRACIJA	64
 3. NUMERIČKI POSTUPAK REŠAVANJA GEOMETRIJSKI NELINEARNIH PROBLEMA	 65
3.1 UVOD	65
3.2 METODA KONSTANTNOG LUKA	65
3.3 METODA KONSTANTNOG INKREMENTA SPOLJNJEG RADA	68
3.4 KRITERIJUM KONVERGENCIJE	70
 4. BROJNI PRIMERI	 71
4.1 UVOD	71
4.2 PRIMER 1.	71
4.3 PRIMER 2.	73
4.4 PRIMER 3.	75
4.5 PRIMER 4.	76
4.6 PRIMER 5.	77

	Strana
4.7 PRIMER 6.	79
5. ZAKLJUČAK	82
6. PRILOG	84
6.1 OPIS ULAZNIH PODATAKA ZA PROGRAM <i>TEZOP</i>	84
6.2 LISTING PROGRAMA <i>TEZOP</i>	90
LITERATURA	125

KRATAK ISTORIJSKI PREGLED

Odstupanje od pretpostavke o ravnim presecima na kojoj se zasniva klasična teorija štapova prvi je uočio C. Bach [1] 1909, vršeći eksperimente sa nosačima I -preseka, opterećenih na savijanje. Za torzione deformacije koje su se javljale smatrao je da su posledica nesimetričnosti poprečnog preseka. Tek je R. Maillart [25] dao ispravno objašnjenje ove pojave, pokazavši da do odstupanja od ravnog preseka može doći i kod dvoosno simetričnih preseka.

Prvi teorijski rad u kojem se razmatra pitanje tankozidnih nosača otvorenog preseka, i u vezi sa tim problem torzionog izbočavanja, potiče od S. Timošenka [43]. Rešavajući problem torzione stabilnosti nosača I -preseka Timošenko je pokazao da se u preseku, pored smičućih napona, pojavljuju i normalni naponi.

H. Wagner [49] i R. Kappus [21] ispitujući problem torzionog izbočavanja tankozidnih nosača izvode opšte diferencijalne jednačine izvijanja centrično pritisnutih elemenata.

Od posebnog značaja za dalji razvoj teorije tankozidnih nosača pretstavlja rad V. Vlasova [48]. Uvodjenjem novih pojmova, sektorske koordinate i generalisanih bimomenata, i njihovog preciznog fizičkog odredjenja, Vlasov je postavio teoriju koja je našla široku praktičnu primenu u proračunu raznih inženjerskih konstrukcija.

A. Goldenveizer [15], polazeći od teorije cilindričnih ljuški, precizno odredjuje područje važnosti pretpostavki teorije Vlasova.

Prvi radovi iz teorije tankozidnih nosača zatvorenog poprečnog preseka javljaju se znatno kasnije. Pokušaj da se postigne potpuna analogija sa profilima otvorenog preseka nije dala zadovoljavajuće rezultate. A. Umanski [44] polazeći od

II

pretpostavke da su pomeranja usled deplanacije duž srednje linije preseka ista kao i kod slobodne Saint-Venantove torzije zatvorenih profila daje približno rešenje, koje će predstavljati osnovu za dalja istraživanja u ovoj oblasti.

Veoma detaljan prikaz teorije tankozidnih nosača otvorenog i zatvorenog preseka sa originalnim pristupom problemu može se naći u knjizi C. Kollbrunnera i N. Hajdina [22].

Zbog matematičke složenosti problema analitička rešenja moguća su samo za najjednostavnije nosače, sa određenim graničnim uslovima i opterećenjem, pa se u poslednje vreme velika pažnja poklanja razvoju numeričkih metoda. Primenjena kompjutera i metode konačnih elemenata, kao jedne od veoma efikasnih numeričkih metoda, omogućila je analizu složenijih konstrukcija. Definisanjem odgovarajućih matrica krutosti rešavaju se složeni problemi stabilnosti, geometrijske i materijalne nelinearnosti i postkritičnog ponašanja tankozidnih nosača.

Matrica krutosti tankozidnog elementa otvorenog poprečnog preseka prvi puta prikazana je u radu J. Krahule [23].

J. Renton u svom radu [35] određuje matricu početnih napona, a R. Barsoum i R. Gallagher [7], rešavajući probleme stabilnosti, izvode matricu početnih aksijalnih sila i matricu početnih momenata savijanja.

Z. Bažant i M. Nimeiri [6] u matricu krutosti uvode bimoment i određuju geometrijsku matricu krutosti.

Polazeći od updated Lagrangeove formulacije problema i principa virtualnih pomeranja M. Sekulović i A. Prokić [32], [39], [40] izvode opštu linearnu i geometrijsku matricu krutosti prostornog tankozidnog štapa otvorenog poprečnog preseka i rešavaju probleme postkritičnog ponašanja konstrukcija.

Radovi koji tretiraju tankozidne nosače zatvorenog poprečnog preseka novijeg su datuma [38], [50], [30], [24]. U doktorskoj disertaciji M. Sekulovića [36] predložena je funkcija deplanacije koja ima opštiji karakter i može se primeniti na elemente sa veoma tankim zidovima kako otvorenog tako i zatvorenog poprečnog preseka.

UVOD

Tehnička teorija tankozidnih nosača otvorenog, nedeformabilnog poprečnog preseka zasnovana je na pretpostavkama V. Z. Vlasova:

- deformacija klizanja u srednjoj površini štapa se zanemaruje
- linijski elemenat upravan na srednju površinu i posle deformacije ostaje prav i upravan na deformisanu srednju površinu

Polazeći od gornjih pretpostavki pomeranja tačaka u pravcu ose štapa mogu se prikazati u zavisnosti od parametara pomeranja u ravni preseka i translatornog pomeranja preseka kao krute ravni. Raspodela normalnih napona, izazvanih deplanacijom, određena je sektorskom koordinatom i kvalitativno je ista za sve poprečne preseke. Saint-Venantovi smičući naponi τ_s rasporedjeni su antimetrično u odnosu na srednju liniju preseka. Naponi τ_w , izazvani ograničenom torzijom, ne mogu se, s obzirom na učinjene pretpostavke, odrediti direktno iz deformacija klizanja. Njih određujemo preko normalnih napona, iz uslova ravnoteže. Kao posledica javlja se neusaglašenost polja napona i polja deformacija, odnosno deformacije sračunate iz komponentalnih napona ne zadovoljavaju uslove kompatibilnosti. Ipak, ova teorija zbog svoje jednostavnosti ima široku primenu i za štapove sa otvorenim poprečnim presekom, kod kojih su naponi τ_s znatno veći od napona τ_w , daje dovoljno tačne rezultate.

Teorija tankozidnih štapova zatvorenog poprečnog preseka razmatra se odvojeno. Kod zatvorenih preseka i u slučaju slobodne torzije smičući naponi rasporedjeni su ravnomerno po debljini zida. Zadržavanje gornjih pretpostavki oči-

gledno bi značilo odsustvo bilo kakve deformacije, pa se deplanacija preseka kvalitativno opisuje funkcijom koja se unapred određuje. Najčešće se usvaja funkcija Saint-Venantove slobodne torzije štapova zatvorenog poprečnog preseka.

Podela tankozidnih nosača na otvorene i zatvorene uslovljena je i matematičkom složenošću problema. Primena metode konačnih elemenata, kao jedne od numeričkih metoda, uz primenu savremenih elektronskih računara, omogućuje opštiji pristup teoriji tankozidnih nosača, sa mogućnošću analize i nelinearnih problema (geometrijskih i materijalnih). Ovaj rad predstavlja prilog ovoj oblasti.

Funkcija deplanacije koja se predlaže omogućuje jedinstvenu analizu tankozidnih nosača otvorenog i zatvorenog, nedeformabilnog, poprečnog preseka. Pretpostavka o zanemarenju klizanja u srednjoj površini štapa nije neophodna, pa se smičući naponi mogu odrediti direktno iz odgovarajućih komponentalnih deformacija. Raspored normalnih napona izazvanih deplanacijom nije više određen sektorskom koordinatom, već parametrima pomeranja čvornih tačaka, i u opštem slučaju promenljiv je od preseka do preseka. Konačni element, koji je razvijen polazeći od usvojenih pretpostavki, može se koristiti u analizi konstrukcija kombinovanih istovremeno od nosača otvorenog i zatvorenog preseka, što je značajna prednost u odnosu na klasičan tankozidni konačni element.

U 1. poglavlju izvedene su diferencijalne jednačine tankozidnog nosača proizvoljnog poprečnog preseka u okviru linearne teorije.

U 2. poglavlju metodom konačnih elemenata izvedene su linearna i nelinearna matrica krutosti geometrijski nelinearnih problema. Posmatrana su dva elementa, sa i bez uticaja transverzalnih sila od savijanja na deformaciju nosača.

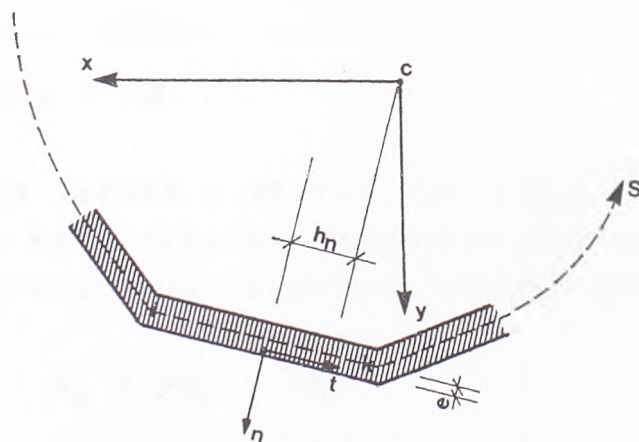
U 3. poglavlju opisane su inkrementalne metode rešavanja nelinearnih jednačina ravnoteže, a odgovarajući numerički primeri dati su u poglavlju 4.

U 6. poglavlju opisan je računski program razvijen na osnovu teorijskih razmatranja u predhodnim poglavljima sa detaljnim uputstvima za njegovu primenu.

1. TANKOZIDNI ŠTAP PROIZVOLJNOG, OTVORENOG ILI ZATVORENOG POPREČNOG PRESEKA

1.1 OSNOVNE PRETPOSTAVKE

Posmatra se prav tankozidni štap otvorenog ili zatvorenog, u opštem slučaju višečelijskog poprečnog preseka. Proizvoljna srednja linija poprečnog preseka aproksimirana je poligonalnom, pri čemu se broj strana poligona usvaja u zavisnosti od tačnosti koja se želi postići, (sl.1). Tačke u kojima se susstiču dve ili više strana poligona nazivaju se čvorne tačke.



Za z osu Descartesovog koordinatnog sistema usvojena je prava koja spaja težišne tačke poprečnih preseka, dok se x i y ose poklapaju sa glavnim osama inercije preseka.

Pored uobičajenih pretpostavki linearne teorije elastičnosti u daljim razmatranjima koristiće se i sledeće pretpostavke:

- poprečni preseki štapa su nedeformabilni u svojoj ravni

- pomeranja u pravcu ose štapa, duž srednje linije profila, menjaju se linearno izmedju susednih čvornih tačaka poligona
- relativno krivljenje preseka u odnosu na srednju liniju (poprečna deplanacija) kvalitativno je određeno rešenjem Saint-Venantove slobodne torzije

1.2 DEFORMACIJA ŠTAPA

Polazeći od pretpostavke o nedeformabilnosti poprečnog preseka, za opisivanje pomeranja u ravni preseka dovoljna su tri parametra. Kada se za parametre pomeranja usvoje pomeranja težišne tačke preseka u i v u pravcima osa x i y , i obrtanje preseka ϑ oko težišne tačke, tada su pomeranja proizvoljne tačke preseka u_* i v_* , u pravcima x i y , pri malim uglovima obrtanja, određena izrazima:

$$\begin{aligned}u_* &= u - y\vartheta \\v_* &= v + x\vartheta\end{aligned}\tag{1.1}$$

Pomeranje tačaka u pravcu ose štapa može se razložiti u dva dela. Prvi, izazvan aksijalnim naprezanjem i savijanjem štapa, predstavlja pomeranje preseka kao ravnog:

$$w_r = w_0 + y\psi_x - x\psi_y\tag{1.2}$$

gde parametar w_0 označava translatorno pomeranje, a parametri ψ_x i ψ_y obrtanje preseka oko x i y ose.

Drugi član u izrazu za aksijalna pomeranja određuje deplanaciju preseka nastalu usled torzije. Ovaj deo ukupnog pomeranja najčešće se prikazuje kao proizvod dve funkcije nezavisnih argumenata:

$$w_d = \Omega(x,y)w(z)\tag{1.3}$$

Funkcija Ω definiše kvalitativno deplanaciju poprečnog

preseka. Najčešće se usvaja unapred, kao funkcija Saint-Venantove slobodne torzije. U tom slučaju svi preseci krive se na isti način, određen sektorskom koordinatom. Funkcija w određuje intenzitet deplanacije. Ona predstavlja novu nepoznatu, ili se usvaja, kao poznata veličina, u funkciji ostalih parametara pomeranja.

U ovom radu predložen je nov način opisivanja deplanacije preseka, što čini osnovu daljeg izlaganja, i pruža mogućnost jedinstvenog prikaza teorije tankozidnih nosača otvorenog i zatvorenog poprečnog preseka:

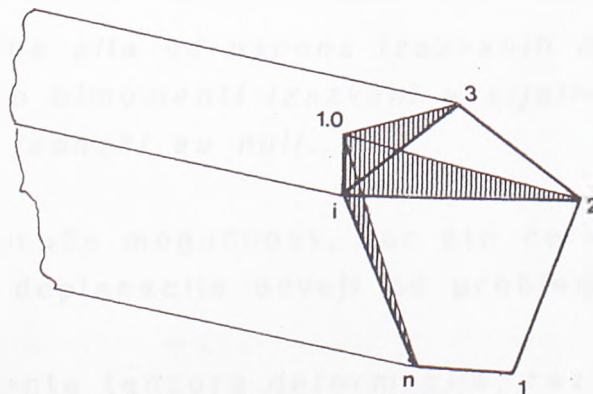
$$w_d = w_d^s + w_d^e \quad (1.4)$$

gde je:

$$w_d^s = \sum_i \Omega^i(x,y) w_i(z) \quad i = 1, 2, \dots, n \quad (1.5)$$

deplanacija duž srednje linje preseka. Za nepoznate parametre pomeranja w_i možemo birati pomeranja proizvoljnih tačaka na srednjoj liniji preseka. Najčešće su to čvorne tačke, pa je ukupan broj osnovnih nepoznatih w_i jednak broju čvorova poligona n .

Funkcija Ω^i zavisna je od načina promene pomeranja između čvorova poligonalnog preseka. U radu je pretpostavljena linearna promena, što je saglasno klasičnoj teoriji tankozidnih nosača, pa funkcija Ω^i dobija jednostavno geometrijsko značenje, (sl.2).



sl.2

Funkcija Ω^i različita je od nule samo na delovima konture koji se susstiču u čvoru i , linearno se menjajući od vrednosti jedan u čvoru i , do vrednosti nula u susednim čvorovima.

Za 'poprečnu' deplanaciju, tj za relativna pomeranja u odnosu na srednju liniju preseka, usvojena je funkcija:

$$w_d^e = -\omega(x,y) f(z) \quad (1.6)$$

Intenzitet deplanacije odredjen je novim parametrom f , a za funkciju ω usvaja se funkcija Saint-Venantove slobodne torzije:

$$\omega = h_n e \quad (1.7)$$

Odstojanje h_n je pozitivno, (sl.1), ako za ravan sa pozitivnom z osom kao normalom, jedinični vektor \vec{n} ima smer obrtanja oko težišne tačke suprotan obrtanju kazaljke na satu.

Kada se uzmu u obzir izrazi (1.2), (1.5) i (1.6), za ukupno aksijalno pomeranje w_* , dobija se:

$$w_* = w_0 + y\psi_x - x\psi_y + \sum_i \Omega^i w_i - \omega f \quad (1.8)$$

Treba uočiti da od $n+1$ parametar pomeranja $w_0, w_1, w_2, \dots, w_n$ samo n parametra je medjusobno nezavisno. U daljem izvodjenju, za opisivanje stanja pomeranja i deformacija, koristiće se svih $n+1$ parametar, uz dopunski uslov:

normalna sila od napona izazvanih deplanacijom, odnosno bimomenti izazvani aksijalnom deformacijom, jednaki su nuli. (1.9)

Ovaj uslov pruža mogućnost, kao što će se kasnije videti, da se problem deplanacije odvoji od problema aksijalnog naprezanja.

Komponente tenzora deformacije, različite od nule, određene su izrazima:

$$\begin{aligned}\epsilon_z &= \frac{\partial w^*}{\partial z} = w'_0 + y\psi'_x - x\psi'_y + \sum_i \Omega'_i w'_i - \omega f' \\ \gamma_{zx} &= \frac{\partial u^*}{\partial z} + \frac{\partial w^*}{\partial x} = u' - y\vartheta' - \psi_y + \sum_i \Omega'_{i,x} w_i - \omega_{,x} f \quad (1.10) \\ \gamma_{zy} &= \frac{\partial v^*}{\partial z} + \frac{\partial w^*}{\partial y} = v' + x\vartheta' + \psi_x + \sum_i \Omega'_{i,y} w_i - \omega_{,y} f\end{aligned}$$

1.3 NAPONI I PRESEČNE SILE

Pretpostavljajući homogen, izotropan i elastičan materijal veze između komponentalnih napona i komponentalnih deformacija date su Hookeovim zakonom:

$$\begin{aligned}\sigma_z &= E\epsilon_z \\ \tau_{zx} &= G\gamma_{zx} \\ \tau_{zy} &= G\gamma_{zy}\end{aligned} \quad (1.11)$$

gde su, s obzirom na usvojene pretpostavke o deformacijama i naponima:

$$\begin{aligned}E &= \frac{E'}{1-\nu^2} \\ G &= \frac{E'}{2(1+\nu)}\end{aligned} \quad (1.12)$$

Kada se izrazi za komponentalne deformacije (1.10) uvrste u (1.11) dobija se veza između komponentalnih napona i parametara pomeranja:

$$\begin{aligned}\sigma_z &= E(w'_0 + y\psi'_x - x\psi'_y + \sum_i \Omega'_i w'_i - \omega f') \\ \tau_{zx} &= G(u' - y\vartheta' - \psi_y + \sum_i \Omega'_{i,x} w_i - \omega_{,x} f) \\ \tau_{zy} &= G(v' + x\vartheta' + \psi_x + \sum_i \Omega'_{i,y} w_i - \omega_{,y} f)\end{aligned} \quad (1.13)$$

Presečne sile mogu se izraziti preko napona, na uobičajeni način, redukcijom elementarnih sila na težišnu tačku preseka:



$$\begin{aligned}
 N &= \iint \sigma_z dF \\
 Q_x &= \iint \tau_{zx} dF \\
 Q_y &= \iint \tau_{zy} dF \\
 M_x &= \iint y \sigma_z dF \\
 M_y &= -\iint x \sigma_z dF \\
 M_z &= \iint (x \tau_{zy} - y \tau_{zx}) dF \\
 B_i &= \iint \Omega^i \sigma_z dF \quad i = 1, 2, \dots, n \\
 B_\omega &= -\iint \omega \sigma_z dF
 \end{aligned}
 \tag{1.14}$$

Poslednja dva izraza odredjuju bimomente, analogno njihovoj definiciji koja se koristi u Vlasovljevoj teoriji tankozidnih nosača. Za svaki parametar pomeranja w_i ($i = 1, 2, \dots, n$) i f , koji opisuju deplanaciju poprečnog preseka, može se formulisati odgovarajući bimomenat, pa je ukupan broj bimomenata $n+1$.

Kada se u gornjim izrazima umesto napona unesu njihove vrednosti date jednačinama (1.13), uz vođenje računa o uslovu (1.9), dobija se veza između presečnih sila i parametara pomeranja:

$$\begin{aligned}
 N &= EFw'_0 \\
 Q_x &= G(Fu' - F\psi_y + \sum I_{\Omega'_i x} w_i - S_{\omega, x} f) \\
 Q_y &= G(Fv' + F\psi_x + \sum I_{\Omega'_i y} w_i - S_{\omega, y} f) \\
 M_x &= E(I_{yy} \psi'_x + \sum I_{y \Omega'_i} w'_i - I_{y \omega} f') \\
 M_y &= E(I_{xx} \psi'_y - \sum I_{x \Omega'_i} w'_i + I_{x \omega} f') \\
 M_z &= G[(I_{xx} + I_{yy}) \vartheta' - \sum I_{\Omega'_i} w_i + I_\omega f] \\
 B_i &= E(I_{y \Omega'_i} \psi'_x - I_{x \Omega'_i} \psi'_y + \sum I_{\Omega'_i \Omega'_j} w'_j) \quad i = 1, 2, \dots, n \\
 B_\omega &= E(I_{x \omega} \psi'_y - I_{y \omega} \psi'_x + I_{\omega \omega} f')
 \end{aligned}
 \tag{1.15}$$

gde su uvedene sledeće oznake:

$$\begin{aligned} S_{\Omega'_x} &= \iint \Omega'_{,x} dF \\ S_{\Omega'_y} &= \iint \Omega'_{,y} dF \\ S_{\omega_{,x}} &= \iint \omega_{,x} dF \\ S_{\omega_{,y}} &= \iint \omega_{,y} dF \\ I_{xx} &= \iint x^2 dF \\ I_{yy} &= \iint y^2 dF \\ I_{x\Omega'} &= \iint x\Omega' dF \\ I_{y\Omega'} &= \iint y\Omega' dF \\ I_{x\omega} &= \iint x\omega dF \\ I_{y\omega} &= \iint y\omega dF \\ I_{\Omega'\Omega'} &= \iint \Omega'\Omega' dF \\ I_{\omega\omega} &= \iint \omega^2 dF \\ I_{\Omega'} &= \iint (y\Omega'_{,x} - x\Omega'_{,y}) dF \\ I_{\omega} &= \iint (y\omega_{,x} - x\omega_{,y}) dF \end{aligned} \tag{1.16}$$

1.4 USLOVI RAVNOTEŽE

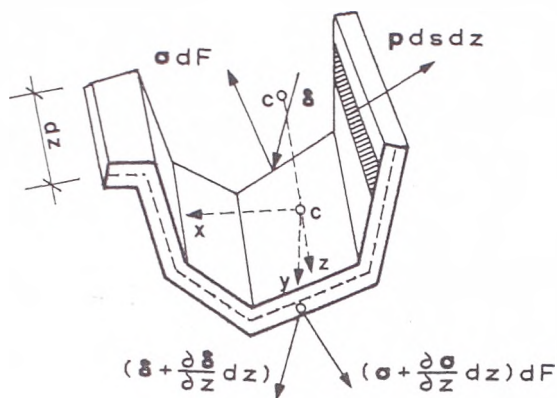
Posmatra se element štapa ograničen preseccima $z_1 = z$ i $z_2 = z + dz$. U proizvoljnoj tački preseka z_1 deluje vektor napona σ :

$$\sigma = \tau_{zx} I_x + \tau_{zy} I_y + \sigma_z I_z \tag{1.17}$$

a u odgovarajućoj tački preseka z_2 , na diferencijalno malom rastojanju dz od preseka z_1 , vektor napona $\sigma + \frac{d\sigma}{dz} dz$, (sl.3).

Za spoljno opterećenje P sa komponentama p_x , p_y i p_z pretpostavlja se da deluje u tačkama srednje površine štapa.

Uslovi ravnoteže izvešće se principom virtualnih pomeranja.



sl.3

Vektor virtualnih pomeranja $\bar{\delta}$, za koji se zahteva da je neprekidna funkcija koordinata i da zadovoljava uvedene pretpostavke o deformaciji štapa, može se usvojiti u istom obliku kao i vektor stvarnih pomeranja:

$$\begin{aligned} \bar{\delta} &= \bar{u}_* \mathbf{I}_x + \bar{v}_* \mathbf{I}_y + \bar{w}_* \mathbf{I}_z = \\ &= (\bar{u} - y\bar{\vartheta}) \mathbf{I}_x + (\bar{v} + x\bar{\vartheta}) \mathbf{I}_y + (\bar{w}_0 + y\bar{\varphi}_x - x\bar{\varphi}_y + \sum_i \Omega^i \bar{w}_i - \omega \bar{f}) \mathbf{I}_z \end{aligned} \quad (1.18)$$

Virtualni parametri pomeranja, koji su za razliku od stvarnih pomeraja označeni crtom iznad osnovne oznake, \bar{u} , \bar{v} , $\bar{\vartheta}$, \bar{w}_0 , \bar{w}_1 , $\bar{w}_2, \dots, \bar{w}_n$ i \bar{f} , su proizvoljne funkcije koordinata i ne zavise od stvarnog opterećenja štapa.

Princip virtualnih pomeranja glasi:

$$\bar{W} + \bar{U} = 0 \quad (1.19)$$

Sa \bar{W} je označen rad spoljašnjih sila pri virtualnim pomeranjima $\bar{\delta}$, a sa \bar{U} odgovarajući rad unutrašnjih sila.

Rad spoljašnjih sila, redukovan na jedinicu dužine ose štapa, jednak je:

$$\bar{W} = \iint (\sigma_{,z} \bar{\delta} + \sigma \bar{\delta}_{,z}) dF + \int p \bar{\delta} ds \quad (1.20)$$

odnosno, imajući u vidu izraze za vektor napona (1.17) i vektor virtualnih pomeranja (1.18), i nakon što se izvrši njihovo diferenciranje po koordinati z , za rad spoljašnjih sila \bar{W}

dobija se:

$$\begin{aligned}
 \bar{W} = & \iint [\tau'_{zx}(\bar{u} - y\bar{\vartheta}) + \\
 & \tau'_{zy}(\bar{v} + x\bar{\vartheta}) + \\
 & \sigma'_z(\bar{w}_0 + y\bar{\psi}_x - x\bar{\psi}_y + \sum \Omega' \bar{w}_i - \omega \bar{f}) + \\
 & \tau_{zx}(\bar{u}' - y\bar{\vartheta}') + \\
 & \tau_{zy}(\bar{v}' + x\bar{\vartheta}') + \\
 & \sigma_z(\bar{w}'_0 + y\bar{\psi}'_x - x\bar{\psi}'_y + \sum \Omega' \bar{w}'_i - \omega \bar{f}')] dF + \\
 & \int [p_x(\bar{u} - y\bar{\vartheta}) + \\
 & p_y(\bar{v} + x\bar{\vartheta}) + \\
 & p_z(\bar{w}_0 + y\bar{\psi}_x - x\bar{\psi}_y + \sum \Omega' \bar{w}_i - \omega \bar{f})] ds
 \end{aligned} \tag{1.21}$$

Prvi integral odnosi se na površinu, a drugi na srednju liniju poprečnog preseka.

Rad unutrašnjih sila jednak je negativnom radu komponentalnih napona pri zadatim virtualnim deformacijama. Redukovan na jedinicu dužine štapa, iznosi:

$$\bar{U} = -\iint (\tau_{zx} \bar{\gamma}_{zx} + \tau_{zy} \bar{\gamma}_{zy} + \sigma_z \bar{\epsilon}_z) dF \tag{1.22}$$

Kada se za virtualne deformacije unesu izrazi (1.13), gde se umesto stvarnih pomeranja podrazumevaju virtualna, izraz za rad unutrašnjih sila postaje:

$$\begin{aligned}
 \bar{U} = & -\iint [\tau_{zx}(\bar{u}' - y\bar{\vartheta}' - \bar{\psi}_y + \sum \Omega'_{,x} \bar{w}_i - \omega_{,x} \bar{f}) + \\
 & \tau_{zy}(\bar{v}' + x\bar{\vartheta}' + \bar{\psi}_x + \sum \Omega'_{,y} \bar{w}_i - \omega_{,y} \bar{f}) + \\
 & \sigma_z(\bar{w}'_0 + y\bar{\psi}'_x - x\bar{\psi}'_y + \sum \Omega' \bar{w}'_i - \omega \bar{f}')] dF
 \end{aligned} \tag{1.23}$$

Ako jednačine rada spoljašnjih i unutrašnjih sila, (1.21) i (1.23), sredjene po parametrima virtualnih pomeranja, koji se mogu izvući ispred znaka integrala, uvrstimo u izraz (1.19) dobija se:



$$\begin{aligned}
 & \bar{w}_0 \{ \iint \sigma'_z dF + \int p_z ds \} + \\
 & \bar{u} \{ \iint \tau'_{zx} dF + \int p_x ds \} + \\
 & \bar{v} \{ \iint \tau'_{zy} dF + \int p_y ds \} + \\
 & \bar{\varphi}_x \{ \iint (y\sigma'_z - \tau_{zy}) dF + \int y p_z ds \} + \\
 & \bar{\varphi}_y \{ \iint (\tau_{zx} - x\sigma'_z) dF - \int x p_z ds \} + \\
 & \bar{\varphi} \{ \iint (x\tau'_{zy} - y\tau'_{zx}) dF + \int (x p_y - y p_x) ds \} + \\
 & \sum \bar{w}_i \{ \iint (\Omega^i \sigma'_z - \Omega^i_{,x} \tau_{zx} - \Omega^i_{,y} \tau_{zy}) dF + \int \Omega^i p_z ds \} + \\
 & \bar{\tau} \{ \iint (-\omega \sigma'_z + \omega_{,x} \tau_{zx} + \omega_{,y} \tau_{zy}) dF \} = 0
 \end{aligned} \tag{1.24}$$

Pošto parametri virtualnih pomeranja $\bar{w}_0, \bar{u}, \bar{v}, \dots$ mogu imati proizvoljne vrednosti, jednačina (1.24) biće zadovoljena samo ako su izrazi u velikim zagradama jednaki nuli. Koristeći pri tome izraze za presečne sile (1.14) i vodeći računa o uslovu (1.9):

$$\iint (\Omega^1 w_1 + \Omega^2 w_2 + \dots) dF = \iint (\Omega^1 \bar{w}_1 + \Omega^2 \bar{w}_2 + \dots) dF = 0 \tag{1.25}$$

dobija se sistem jednačina koji pretstavlja tražene uslove ravnoteže tankozidnog štapa:

$$\begin{aligned}
 N^i + p_z^* &= 0 \\
 Q_x^i + p_x^* &= 0 \\
 Q_y^i + p_y^* &= 0 \\
 M_x^i - Q_y + m_x^* &= 0 \\
 M_y^i + Q_x + m_y^* &= 0 \\
 M_z^i + m_z^* &= 0 \\
 \iint (B_i^i - \Omega^i_{,x} \tau_{zx} - \Omega^i_{,y} \tau_{zy}) dF + m_{\Omega^i}^* &= 0 \quad i = 1, 2, \dots, n \\
 \iint (B_\omega^i + \omega_{,x} \tau_{zx} + \omega_{,y} \tau_{zy}) dF &= 0
 \end{aligned} \tag{1.26}$$

gde:

$$\begin{aligned}
 p_x^* &= \int p_x ds & p_y^* &= \int p_y ds & p_z^* &= \int p_z ds \\
 m_x^* &= \int y p_z ds & m_y^* &= -\int x p_z ds & m_z^* &= \int (x p_y - y p_x) ds \quad (1.27) \\
 m_{\Omega^i}^* &= \int \Omega^i p_z ds & & & & i = 1, 2, \dots, n
 \end{aligned}$$

pretstavljaju redom komponente spoljnjeg opterećenja u pravcima koordinatnih osa x , y , i z , momente savijanja oko x i y ose, momenat torzije i odgovarajuće bimomente.

Poslednjih $n+1$ jednačina predstavljaju uslove ravnoteže štapa pri deplanaciji. Neki članovi u njima dati su preko napona u integralnom obliku, da bi se izbeglo uvođenje novih generalisanih sila potrebnih za njihovo prikazivanje.

1.5 DIFERENCIJALNE JEDNAČINE I KONTURNI USLOVI

Kada se izrazi za presečne sile (1.15) i napone (1.13) uvrste u uslove ravnoteže (1.26) dobija se sistem simultanih diferencijalnih jednačina drugog reda po nepoznatim parametrima pomeranja w_0 , u , v , ... :

$$\begin{aligned}
 EFw_0'' &= -p_z^* \\
 GFu'' - GF\psi_y' + G\sum I_{\Omega^i, x} w_i' - GS_{\omega, x} f' &= -p_x^* \\
 GFv'' + GF\psi_x' + G\sum I_{\Omega^i, y} w_i' - GS_{\omega, y} f' &= -p_y^* \\
 EI_{yy}\psi_x'' + E\sum I_{y\Omega^i} w_i'' - EI_{y\omega} f'' - GFv' - GF\psi_x - \\
 &\quad G\sum S_{\Omega^i, y} w_i + GS_{\omega, y} f = -m_x^* \\
 EI_{xx}\psi_y'' - E\sum I_{x\Omega^i} w_i'' + EI_{x\omega} f'' + GFu' - GF\psi_y + \\
 &\quad G\sum S_{\Omega^i, x} w_i - GS_{\omega, x} f = -m_y^* \quad (1.28) \\
 G(I_{xx} + I_{yy})\vartheta'' - G\sum I_{\Omega^i} w_i' + GI_{\omega} f' &= -m_z^* \\
 EI_{y\Omega^i} \psi_x'' - EI_{x\Omega^i} \psi_y'' + E\sum I_{\Omega^i, \Omega^j} w_j'' - GS_{\Omega^i, x} u' - GS_{\Omega^i, y} v' + GI_{\Omega^i} \vartheta' \\
 &\quad - GS_{\Omega^i, y} \psi_x + GS_{\Omega^i, x} \psi_y - G\sum (I_{\Omega^i, x} \Omega^j_{, x} + I_{\Omega^i, y} \Omega^j_{, y}) w_j = -m_{\Omega^i}^* \\
 -EI_{y\omega} \psi_x'' + EI_{x\omega} \psi_y'' + EI_{\omega\omega} f'' + GS_{\omega, x} u' + GS_{\omega, y} v' - GI_{\omega} \vartheta' + \\
 &\quad GS_{\omega, y} \psi_x - GS_{\omega, x} \psi_y - G(I_{\omega, x} \omega_{, x} + I_{\omega, y} \omega_{, y}) f = 0
 \end{aligned}$$

U kupan broj diferencijalnih jednačina je $N=6+n+1$. Kao što je ranije rečeno $n+1$ pretstavlja broj parametara koji opisuju deplanaciju preseka. Da bi ovaj sistem diferencijalnih jednačina drugog reda imao jednoznačno rešenje potrebno je poznavati $2N$ konturnih uslova, koji mogu biti zadati po pomeranjima:

$$\begin{aligned}w_0 &= w_0^* \\u &= u^* \\v &= v^* \\ \psi_x &= \psi_x^* \\ \psi_y &= \psi_y^* \\ \vartheta &= \vartheta^* \\w_i &= w_i^* \quad i = 1, 2, \dots, n \\f &= f^*\end{aligned} \tag{1.29}$$

ili po silama:

$$\begin{aligned}N &= N^* \\Q_x &= Q_x^* \\Q_y &= Q_y^* \\M_x &= M_x^* \\M_y &= M_y^* \\M_z &= M_z^* \\B_i &= B_i^* \quad i = 1, 2, \dots, n \\B_\omega &= B_\omega^*\end{aligned} \tag{1.30}$$

ili mešovito, po pomeranjima i po silama. Zvezdica iznad osnovne oznake označava da se radi o zadatoj veličini.

1.6 UPROŠĆENJE $f = \vartheta'$

U daljem izlaganju uvedeno je jedno uprošćenje kojim se broj nepoznatih parametara pomeranja smanjuje za jedan. Odnosno, za funkciju f , koja određuje intenzitet 'poprečne' deplanacije, pretpostavljeno je da se može prikazati preko parametra pomeranja koji se koristi pri opisivanju torzije poprečnog preseka, i kao takva ne predstavlja više nepoznatu veličinu:

$$f(z) = \vartheta'(z) \quad (2.31)$$

Relativna deplanacija u odnosu na srednju liniju preseka sada je prikazana u istom obliku kao i u klasičnoj teoriji tankozidnih nosača.

Izrazi koji su izvedeni u predhodnim poglavljima postaju:

Pomeranja

$$\begin{aligned} u_* &= u - y\vartheta \\ v_* &= v + x\vartheta \\ w_* &= w_0 + y\psi_x - x\psi_y + \sum_I \Omega'_i w_i - \omega\vartheta' \end{aligned} \quad (1.32)$$

Deformacije

$$\begin{aligned} \varepsilon_z &= w'_0 + y\psi'_x - x\psi'_y + \sum_I \Omega'_i w'_i - \omega\vartheta'' \\ \gamma_{zx} &= u' - (y + \omega_{,x})\vartheta' - \psi_y + \sum_I \Omega'_{i,x} w_i \\ \gamma_{zy} &= v' + (x - \omega_{,y})\vartheta' + \psi_x + \sum_I \Omega'_{i,y} w_i \end{aligned} \quad (1.33)$$

Naponi

$$\begin{aligned} \sigma_z &= E(w'_0 + y\psi'_x - x\psi'_y + \sum_I \Omega'_i w'_i - \omega\vartheta'') \\ \tau_{zx} &= G[u' - (y + \omega_{,x})\vartheta' - \psi_y + \sum_I \Omega'_{i,x} w_i] \\ \tau_{zy} &= G[v' + (x - \omega_{,y})\vartheta' + \psi_x + \sum_I \Omega'_{i,y} w_i] \end{aligned} \quad (1.34)$$

Presečne sile

$$\begin{aligned}
 N &= EFw'_0 \\
 Q_x &= G(Fu' - F\psi_y - S_{\omega,x}\vartheta' + \sum_I S_{\Omega'_x} w'_i) \\
 Q_y &= G(Fv' + F\psi_x - S_{\omega,y}\vartheta' + \sum_I S_{\Omega'_y} w'_i) \\
 M_x &= E(I_{yy}\psi'_x - I_{y\omega}\vartheta'' + \sum_I I_{y\Omega'} w'_i) \\
 M_y &= E(I_{xx}\psi'_y + I_{x\omega}\vartheta'' - \sum_I I_{x\Omega'} w'_i) \\
 M_z &= G[(I_{xx} + I_{yy} + I_{\omega})\vartheta' - \sum_I I_{\Omega'} w'_i] \\
 B_i &= E(I_{y\Omega'}\psi'_x - I_{x\Omega'}\psi'_y + \sum_I I_{\Omega'\Omega'} w'_i) \quad i = 1, 2, \dots, n
 \end{aligned} \tag{1.35}$$

Diferencijalne jednačine

$$\begin{aligned}
 EFw''_0 &= -p_z^* \\
 GFu'' - GS_{\omega,x}\vartheta'' - GF\psi'_y + G\sum_I S_{\Omega'_x} w'_i &= -p_x^* \\
 GFv'' - GS_{\omega,y}\vartheta'' + GF\psi'_x + G\sum_I S_{\Omega'_y} w'_i &= -p_y^* \\
 -EI_{y\omega}\vartheta''' + EI_{yy}\psi''_x + E\sum_I I_{y\Omega'} w''_i - GFv' + GS_{\omega,y}\vartheta' - \\
 &\quad GF\psi_x - G\sum_I S_{\Omega'_y} w_i &= -m_x^* \\
 EI_{x\omega}\vartheta''' + EI_{xx}\psi''_y - E\sum_I I_{x\Omega'} w''_i + GFu' - GS_{\omega,x}\vartheta' - \\
 &\quad GF\psi_y + G\sum_I S_{\Omega'_x} w_i &= -m_y^* \\
 G(I_{xx} + I_{yy} + I_{\omega})\vartheta'' - G\sum_I I_{\Omega'} w'_i &= -m_z^* \\
 EI_{y\Omega'}\psi''_x - EI_{x\Omega'}\psi''_y + E\sum_I I_{\Omega'\Omega'} w''_i - GS_{\Omega'_x} u' - GS_{\Omega'_y} v' + GI_{\Omega'}\vartheta' \\
 &\quad - GS_{\Omega'_y}\psi_x + GS_{\Omega'_x}\psi_y - G\sum_I (I_{\Omega'_x\Omega'_x} + I_{\Omega'_y\Omega'_y}) w_j &= -m_{\Omega'}^* \\
 -EI_{\omega\omega}\vartheta''' + EI_{y\omega}\psi''_x - EI_{x\omega}\psi''_y - GS_{\omega,x} u' - GS_{\omega,y} v' + \\
 &\quad G(I_{\omega,x\omega,x} + I_{\omega,y\omega,y} + I_{\omega})\vartheta' - GS_{\omega,y}\psi_x + GS_{\omega,x}\psi_y &= 0
 \end{aligned} \tag{1.36}$$

Poslednja jednačina (1.36,8) nije nezavisna. Kada je, uz predhodno diferenciranje po koordinati z , pridružimo jednačini (1.36,6), i kada zanemarimo članove trećeg i četvrtog reda kao male u odnosu na ostale članove u izrazu, o čemu će biti više reči u sledećem poglavlju, konačno dobijamo:

$$\begin{aligned}
 EFw_0'' &= -p_z^* \\
 GFu'' - GS_{\omega,x}\vartheta'' - GF\psi_y' + G\sum_I S_{\Omega',x} w_I' &= -p_x^* \\
 GFv'' - GS_{\omega,y}\vartheta'' + GF\psi_x' + G\sum_I S_{\Omega',y} w_I' &= -p_y^* \quad (1.37) \\
 EI_{yy}\psi_x'' + E\sum_I I_{y\Omega'} w_I'' - GFv' + GS_{\omega,y}\vartheta' - GF\psi_x - G\sum_I S_{\Omega',y} w_I &= -m_x^* \\
 EI_{xx}\psi_y'' - E\sum_I I_{x\Omega'} w_I'' + GFu' - GS_{\omega,x}\vartheta' - GF\psi_y + G\sum_I S_{\Omega',x} w_I &= -m_y^* \\
 -GS_{\omega,x}u'' - GS_{\omega,y}v'' + GI_h\vartheta'' - GS_{\omega,y}\psi_x' + GS_{\omega,x}\psi_y' - G\sum_I I_{\Omega'} w_I' &= -m_z^* \\
 EI_{y\Omega'}\psi_x'' - EI_{x\Omega'}\psi_y'' + E\sum_I I_{\Omega'\Omega'} w_I'' - GS_{\Omega',x}u' - GS_{\Omega',y}v' + GI_{\Omega'}\vartheta' \\
 - GS_{\Omega',y}\psi_x + GS_{\Omega',x}\psi_y - G\sum_I (I_{\Omega',x\Omega',x} + I_{\Omega',y\Omega',y}) w_I &= -m_{\Omega'}^*
 \end{aligned}$$

gde je sa I_h označen momenat inercije preseka pri torziji:

$$I_h = I_{xx} + I_{yy} + I_{\omega,x\omega,x} + I_{\omega,y\omega,y} + 2I_{\omega} \quad (1.38)$$

Sistem od $N=6+n$ linearnih diferencijalnih jednačina drugog reda (1.37) i odgovarajućih $2N$ konturnih uslova (1.29,1-7) ili (1.30,1-7) jednoznačno određuju N nepoznatih parametara pomeranja $w_0, u, v, \psi_x, \psi_y, \vartheta, w_1, w_2, \dots, w_n$. Kada se odrede parametri pomeranja onda iz jednačina (1.32), (1.33), (1.34) i (1.35) određujemo pomeranja, deformacije, napone i presečne sile čime je problem naponsko-deformacijskog stanja štapa rešen.

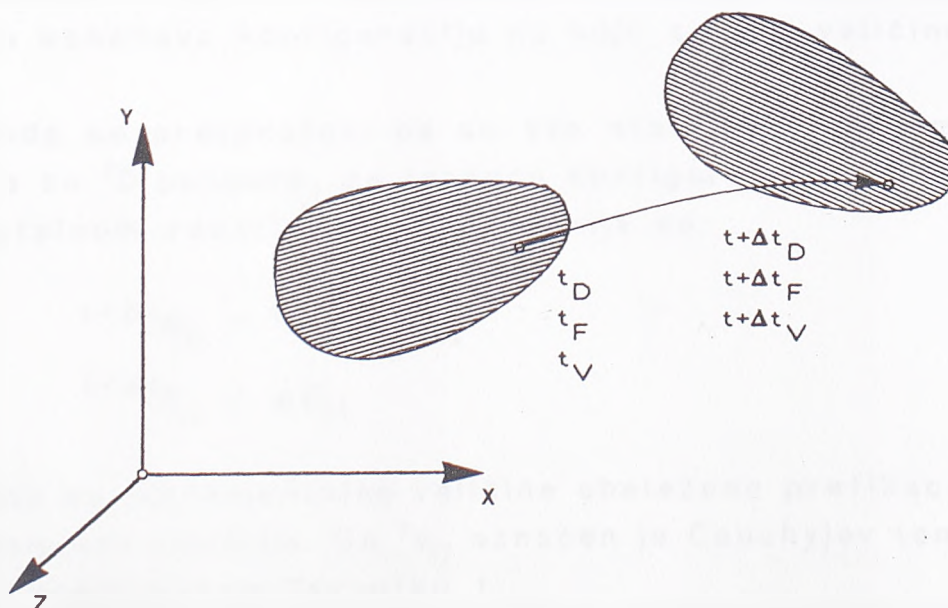
Prva diferencijalna jednačina je separativna, što je direktna posledica stava (1.9), dok ostale jednačine predstavljaju simultani sistem diferencijalnih jednačina, koje se, u opštem slučaju, ne mogu rešiti u zatvorenom obliku. Rešenje se dobija numeričkim putem, što će se razmatrati u sledećim poglavljima.

2. PRIMENA METODE KONAČNIH ELEMENATA

2.1 UPDATED LAGRANGEOVE INKREMENTALNE JEDNAČINE RAVNOTEŽE

U prošlom poglavlju izvedene su diferencijalne jednačine tankozidnog štapa proizvoljnog preseka u okviru linearne teorije. Primenom metode konačnih elemenata razmatranja će se proširiti i na geometrijski nelinearne probleme.

Osnovne inkrementalne jednačine ravnoteže konačnog elementa mogu se izvesti polazeći od principa virtualnih pomeranja i opštih nelinearnih jednačina mehanike kontinuma. Pri tome će se koristiti updated Lagrangeova metoda u kojoj se za referentnu konfiguraciju usvaja tekuća, deformisana konfiguracija, ili tačnije, konfiguracija na početku svakog sledećeg koraka proračuna.



sl. 4

U globalnom Descartesovom koordinatnom sistemu XYZ posmatra se proizvoljno telo u toku deformacije. Sa tD obeležena je tekuća konfiguracija tela u vremenskom trenutku t , a sa ${}^{t+\Delta t}D$ konfiguracija u trenutku vremena $t+\Delta t$, na konačnom rastojanju od tD , (sl.4). Odgovarajuće zapremine i površine spoljašnje konture tela označene su sa ${}^\tau V$, odnosno ${}^\tau F$ ($\tau=t, t+\Delta t$). Uslove ravnoteže tela u konfiguraciji ${}^{t+\Delta t}D$ dobićemo polazeći od principa virtualnih pomeranja izraženog u odnosu na referentnu konfiguraciju u vremenskom trenutku t :

$$\iiint {}^{t+\Delta t}S_{IJ} \delta {}^{t+\Delta t}E_{IJ} d {}^tV = \delta {}^{t+\Delta t}R \quad (2.1)$$

Sa ${}^{t+\Delta t}S_{IJ}$ obeležen Piola-Kirchhoffov tenzor napona druge vrste, a sa ${}^{t+\Delta t}E_{IJ}$ Green-Lagrangeov tenzor deformacije. Desna strana jednačine pretstavlja rad spoljašnjih sila pri datim virtualnim pomeranjima:

$$\delta {}^{t+\Delta t}R = \iint {}^{t+\Delta t}\rho_k \delta u_k d {}^tF + \iiint {}^{t+\Delta t}\rho_k \delta u_k d {}^tV \quad (2.2)$$

gde su sa ${}^{t+\Delta t}\rho_k$ i ${}^{t+\Delta t}\rho_k$ obeležene komponente površinskih i zapreminskih sila izraženih po jedinici površine, odnosno zapremine tela u konfiguraciji tD .

Indeks sa gornje leve strane statičkih i deformacijskih veličina označava konfiguraciju na koju se ove veličine odnose.

Kada se pretpostavi da su sve statičke i deformacijske veličine za tD poznate, za traženu konfiguraciju ${}^{t+\Delta t}D$, na inkrementalnom rastojanju od tD , dobija se:

$$\begin{aligned} {}^{t+\Delta t}S_{IJ} &= {}^t\sigma_{IJ} + \Delta S_{IJ} \\ {}^{t+\Delta t}E_{IJ} &= \Delta E_{IJ} \end{aligned} \quad (2.3)$$

pri čemu su inkrementalne veličine obeležene prefiksom Δ ispred osnovne veličine. Sa ${}^t\sigma_{IJ}$ označen je Cauchyjev tenzor napona u vremenskom trenutku t .

Green-Lagrangeov inkrementalni tenzor deformacije može

se pretstaviti u obliku:

$$\Delta E_{IJ} = \Delta \varepsilon_{IJ} + \Delta \eta_{IJ} \quad (2.4)$$

gde su:

$$\begin{aligned} \Delta \varepsilon_{IJ} &= \frac{1}{2}(\Delta u_{I,J} + \Delta u_{J,I}) \\ \Delta \eta_{IJ} &= \frac{1}{2} \Delta u_{k,I} \Delta u_{k,J} \end{aligned} \quad (2.5)$$

linearni i nelinearni deo inkrementalnog tenzora deformacije.

Jednačina ravnoteže (2.1), vodeći računa o konstitutivnim vezama između tenzora inkrementalnih napona i deformacija:

$$\Delta S_{IJ} = D_{IJKL} \Delta E_{KL} \quad (2.6)$$

postaje:

$$\iiint D_{IJKL} \Delta E_{KL} \delta \Delta E_{IJ} d^tV + \iiint {}^t\sigma_{IJ} \delta \Delta \eta_{IJ} d^tV = \delta {}^{t+\Delta t}R - \iiint {}^t\sigma_{IJ} \delta \Delta \varepsilon_{IJ} d^tV \quad (2.7)$$

Jednačina je nelinearna po inkrementima pomeranja, pa se ne može direktno rešiti. Da bi je doveli na oblik pogodan za dalju primenu izvršićemo linearizaciju, uvodeći sledeće aproksimacije:

$$\begin{aligned} \Delta S_{IJ} &= D_{IJKL} \Delta \varepsilon_{KL} \\ \delta \Delta E_{IJ} &= \delta \Delta \varepsilon_{IJ} \end{aligned} \quad (2.8)$$

pa dalje sledi:

$$\iiint D_{IJKL} \Delta \varepsilon_{KL} \delta \Delta \varepsilon_{IJ} d^tV + \iiint {}^t\sigma_{IJ} \delta \Delta \eta_{IJ} d^tV = \delta {}^{t+\Delta t}R - \iiint {}^t\sigma_{IJ} \delta \Delta \varepsilon_{IJ} d^tV \quad (2.9)$$

Dobijena je linearna jednačina updated Lagrangeove metode, po nepoznatim parametrima pomeranja, od koje se polazi pri formulisanju problema po metodi konačnih elemenata.

2.2 FORMULACIJA PROBLEMA PO METODI KONAČNIH ELEMENATA

Pri daljoj analizi prostornih konačnih elemenata, tankozidnog poprečnog preseka, pogodnije je koristiti lokalne koordinatne ose xyz , vezane za element. Matrice krutosti pojedinih elemenata dobiće se kada se sve statičke i kinematičke veličine korišćene u predhodnom poglavlju izraze u odnosu na lokalni koordinatni sistem.

Da bi se problem definisao po metodi konačnih elemenata ponašanje proizvoljnog elementa definisaće se preko vrednosti čvornih veličina unutar elementa:

$$\Delta \mathbf{u} = \mathbf{N} \Delta \mathbf{q} \quad (2.10)$$

gde je \mathbf{N} matrica interpolacionih funkcija, a $\Delta \mathbf{q}$ vektor inkrementalnih čvornih pomeranja.

Polazeći od (2.9) i (2.10) dobijaju se osnovne inkrementalne jednačine ravnoteže napisane u matičnom obliku:

$$({}^t \mathbf{K}_L + {}^t \mathbf{K}_{NL}) \Delta \mathbf{q} = {}^{t+\Delta t} \mathbf{R} - {}^t \mathbf{Q} \quad (2.11)$$

gde su:

$${}^t \mathbf{K}_L = \iiint {}^t \mathbf{B}_L^T \mathbf{D} {}^t \mathbf{B}_L d^t V \quad \text{linearna matrica krutosti}$$

$${}^t \mathbf{K}_{NL} = \iiint {}^t \mathbf{B}_{NL}^T {}^t \boldsymbol{\sigma} {}^t \mathbf{B}_{NL} d^t V \quad \text{geometrijska matrica krutosti}$$

$${}^t \mathbf{Q} = \iiint {}^t \mathbf{B}_L^T {}^t \hat{\boldsymbol{\sigma}} d^t V \quad \text{vektor ravnotežnih čvornih sila}$$

$${}^{t+\Delta t} \mathbf{R} \quad \text{vektor spoljašnjeg opterećenja}$$

$${}^t \mathbf{B}_L \quad \text{linearna matrica transformacije}$$

$${}^t \mathbf{B}_{NL} \quad \text{nelinearna matrica transformacije}$$

$$\mathbf{D} \quad \text{konstitutivna matrica}$$

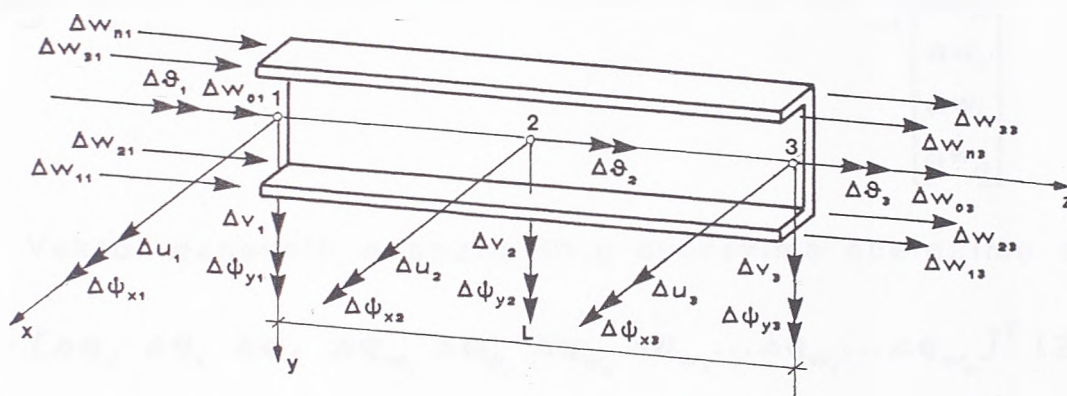
$${}^t \boldsymbol{\sigma} \quad \text{matrica Cauchyjevih napona}$$

$${}^t \hat{\boldsymbol{\sigma}} \quad \text{vektor Cauchyjevih napona}$$

2.3 KONAČAN ELEMENAT I

2.3.1 OSNOVNE KARAKTERISTIKE ELEMENTA

Na (sl.5) prikazan je pravolinijski, prostorni tankozidni element, proizvoljnog, nedeformabilnog poprečnog preseka.



sl.5

Analiza konačnog elementa izvršiće se u lokalnom koordinatnom sistemu xyz , čija z osa prolazi kroz težišne tačke preseka, a ose x i y se poklapaju sa glavnim osama inercije preseka. Posmatra se konfiguracija elementa u proizvoljnom trenutku vremena t .

Svaki element ima dva glavna čvora, u krajnjim presecima, sa po $6+n$ stepeni slobode pomeranja Δu_i , Δv_i , Δw_{oi} , $\Delta \psi_{xi}$, $\Delta \psi_{yi}$, $\Delta \theta_i$, Δw_{1i} , Δw_{2i} , ..., Δw_{ni} ($i=1,3$), i srednji čvor, na sredini raspona elementa, sa pet stepeni slobode pomeranja Δu_2 , Δv_2 , $\Delta \psi_{x2}$, $\Delta \psi_{y2}$ i $\Delta \theta_2$.

Element može imati velika pomeranja i rotacije, ali se pri tome pretpostavlja da deformacije ostaju male.

2.3.2 VEKTOR POMERANJA

Jednačine (1.1) i (1.8) mogu se prikazati i u matričnom obliku, pri čemu prefiks Δ označava da se radi o inkrementalnim veličinama:

$$\begin{bmatrix} \Delta u_* \\ \Delta v_* \\ \Delta w_* \end{bmatrix} = \begin{bmatrix} 1 & 0 & -y & 0 & 0 & 0 & 0 & 0 & 0 \dots 0 \dots 0 \\ 0 & 1 & x & 0 & 0 & 0 & 0 & 0 & 0 \dots 0 \dots 0 \\ 0 & 0 & 0 & -\omega & 1 & -x & y & \Omega' \dots \Omega' \dots \Omega^n \end{bmatrix} \begin{bmatrix} \Delta u \\ \Delta v \\ \Delta \vartheta \\ \Delta \vartheta' \\ \Delta w_0 \\ \Delta \psi_y \\ \Delta \psi_x \\ \Delta w_1 \\ \vdots \\ \Delta w_i \\ \vdots \\ \Delta w_n \end{bmatrix} \quad (2.13)$$

Vektor osnovnih nepoznatih u čvorovima obeležimo sa:

$$\Delta \mathbf{q} = [\Delta \mathbf{q}_u \quad \Delta \mathbf{q}_v \quad \Delta \mathbf{q}_\vartheta \quad \Delta \mathbf{q}_{w_0} \quad \Delta \mathbf{q}_{\psi_y} \quad \Delta \mathbf{q}_{\psi_x} \quad \Delta \mathbf{q}_{w_1} \dots \Delta \mathbf{q}_{w_i} \dots \Delta \mathbf{q}_{w_n}]^T \quad (2.14)$$

gde su:

$$\begin{aligned} \Delta \mathbf{q}_u &= [\Delta u_1 \quad \Delta u_2 \quad \Delta u_3]^T \\ \Delta \mathbf{q}_v &= [\Delta v_1 \quad \Delta v_2 \quad \Delta v_3]^T \\ \Delta \mathbf{q}_\vartheta &= [\Delta \vartheta_1 \quad \Delta \vartheta_2 \quad \Delta \vartheta_3]^T \\ \Delta \mathbf{q}_{w_0} &= [\Delta w_{01} \quad \Delta w_{03}]^T \\ \Delta \mathbf{q}_{\psi_y} &= [\Delta \psi_{y1} \quad \Delta \psi_{y2} \quad \Delta \psi_{y3}]^T \\ \Delta \mathbf{q}_{\psi_x} &= [\Delta \psi_{x1} \quad \Delta \psi_{x2} \quad \Delta \psi_{x3}]^T \\ \Delta \mathbf{q}_{w_i} &= [\Delta w_{i1} \quad \Delta w_{i3}]^T \quad i = 1, 2, \dots, n \end{aligned} \quad (2.15)$$

Ovaj redosled komponenata vektora generalisanih čvornih pomeranja usvojen je zbog preglednijeg i sažetijeg daljeg izvođenja, stim što će se u krajnjim izrazima izvršiti transformacija kako bi se dobio uobičajeni redosled pisanja osnovnih nepoznatih, pogodniji pri prelasku na globalni sistem.

Za interpolacione funkcije inkrementalnih pomeranja Δu , Δv , $\Delta \vartheta$, $\Delta \psi_y$ i $\Delta \psi_x$ usvojena je kvadratna funkcija, a za Δw_0 i Δw_i ($i=1, 2, \dots, n$) linearna promena izmedju krajnjih čvorova:

$$\begin{aligned}
 \Delta u &= \mathbf{N} \Delta \mathbf{q}_u \\
 \Delta v &= \mathbf{N} \Delta \mathbf{q}_v \\
 \Delta \vartheta &= \mathbf{N} \Delta \mathbf{q}_\vartheta \\
 \Delta w_o &= \mathbf{N}_w \Delta \mathbf{q}_{w_o} \\
 \Delta \psi_y &= \mathbf{N} \Delta \mathbf{q}_{\psi_y} \\
 \Delta \psi_x &= \mathbf{N} \Delta \mathbf{q}_{\psi_x} \\
 \Delta w_i &= \mathbf{N}_w \Delta \mathbf{q}_{w_i} \quad i = 1, 2, \dots, n
 \end{aligned} \tag{2.16}$$

gde su:

$$\begin{aligned}
 \mathbf{N} &= [1-3\xi+2\xi^2 \quad 4\xi(1-\xi) \quad -\xi(1-2\xi)] \\
 \mathbf{N}_w &= [1-\xi \quad \xi] \quad \xi = \frac{z}{L}
 \end{aligned} \tag{2.17}$$

Smenom (2.16) u (2.13) uspostavlja se veza izmedju inkrementalnih pomeranja proizvoljnih tačaka poprečnog preseka i parametara pomeranja u čvorovima elementa kao osnovnih nepoznatih:

$$\begin{bmatrix} \Delta u_* \\ \Delta v_* \\ \Delta w_* \end{bmatrix} = \begin{bmatrix} \mathbf{N} & 0 & -y\mathbf{N} & 0 & 0 & 0 & 0 & \dots & 0 & \dots & 0 \\ 0 & \mathbf{N} & x\mathbf{N} & 0 & 0 & 0 & 0 & \dots & 0 & \dots & 0 \\ 0 & 0 & -\omega\mathbf{N}'\mathbf{N}_w & -x\mathbf{N} & y\mathbf{N} & \Omega^1\mathbf{N}_w \dots \Omega^1\mathbf{N}_w \dots \Omega^n\mathbf{N}_w \end{bmatrix} \begin{bmatrix} \Delta \mathbf{q}_u \\ \Delta \mathbf{q}_v \\ \Delta \mathbf{q}_\vartheta \\ \Delta \mathbf{q}_{w_o} \\ \Delta \mathbf{q}_{\psi_y} \\ \Delta \mathbf{q}_{\psi_x} \\ \Delta \mathbf{q}_{w_1} \\ \vdots \\ \Delta \mathbf{q}_{w_i} \\ \vdots \\ \Delta \mathbf{q}_{w_n} \end{bmatrix} = \mathbf{A} \Delta \mathbf{q}$$

2.3.3 LINEARNA MATRICA KRUTOSTI

Komponente linearnog dela inkrementalnog tenzora deformacije, različite od nule:

$$\Delta \boldsymbol{\varepsilon} = [\Delta \varepsilon_{33} \quad 2\Delta \varepsilon_{13} \quad 2\Delta \varepsilon_{23}]^T \quad (2.19)$$

imajući u vidu jednačinu (2.5,1) glase:

$$\begin{aligned} \Delta \varepsilon_{33} &= \Delta u_{3,3} = \frac{\partial \Delta w_*}{\partial z} \\ 2\Delta \varepsilon_{13} &= \Delta u_{1,3} + \Delta u_{3,1} = \frac{\partial \Delta u_*}{\partial z} + \frac{\partial \Delta w_*}{\partial x} \\ 2\Delta \varepsilon_{23} &= \Delta u_{2,3} + \Delta u_{3,2} = \frac{\partial \Delta v_*}{\partial z} + \frac{\partial \Delta w_*}{\partial y} \end{aligned} \quad (2.20)$$

Posle unošenja (2.18) u (2.20) za inkrementalne deformacije dobija se:

$$\Delta \boldsymbol{\varepsilon} = \mathbf{B}_L \Delta \mathbf{q} \quad (2.21)$$

gde je:

$$\mathbf{B}_L = \begin{bmatrix} 0 & 0 & \frac{\partial}{\partial z} \\ \frac{\partial}{\partial z} & 0 & \frac{\partial}{\partial x} \\ 0 & \frac{\partial}{\partial z} & \frac{\partial}{\partial y} \end{bmatrix} \mathbf{A} \quad (2.22)$$

odnosno:

$$\mathbf{B}_L = \begin{bmatrix} 0 & 0 & -\omega \mathbf{N}'' & \mathbf{N}'_w & -x \mathbf{N}' & y \mathbf{N}' & \Omega' \mathbf{N}'_w \dots \Omega' \mathbf{N}'_w \dots \Omega^n \mathbf{N}'_w \\ \mathbf{N}' & 0 & -(y + \frac{\partial \omega}{\partial x}) \mathbf{N}' & 0 & -\mathbf{N} & 0 & \frac{\partial \Omega'}{\partial x} \mathbf{N}_w \dots \frac{\partial \Omega^i}{\partial x} \mathbf{N}_w \dots \frac{\partial \Omega^n}{\partial x} \mathbf{N}_w \\ 0 & \mathbf{N}' & (x - \frac{\partial \omega}{\partial y}) \mathbf{N}' & 0 & 0 & \mathbf{N} & \frac{\partial \Omega'}{\partial y} \mathbf{N}_w \dots \frac{\partial \Omega^i}{\partial y} \mathbf{N}_w \dots \frac{\partial \Omega^n}{\partial y} \mathbf{N}_w \end{bmatrix}$$

Ako se sa \mathbf{D} označi matrica elastičnosti:

$$\mathbf{D} = \begin{bmatrix} E & & \\ & G & \\ & & G \end{bmatrix} \quad (2.24)$$

gde E predstavlja modul elastičnosti, a G modul klizanja, sledi da je:

Zbog kraćeg pisanja uvedene su sledeće oznake:

$$\begin{aligned}
 \mathbf{N}_1 &= \mathbf{N}^T \mathbf{N} \\
 \mathbf{N}_2 &= \mathbf{N}'^T \mathbf{N}' \\
 \mathbf{N}_3 &= \mathbf{N}_w^T \mathbf{N}_w \\
 \mathbf{N}_4 &= \mathbf{N}_w'^T \mathbf{N}_w' \\
 \mathbf{N}_5 &= \mathbf{N}'^T \mathbf{N} \\
 \mathbf{N}_6 &= \mathbf{N}^T \mathbf{N}_w \\
 \mathbf{N}_7 &= \mathbf{N}'^T \mathbf{N}_w \\
 \mathbf{N}_8 &= \mathbf{N}'^T \mathbf{N}_w' \\
 \mathbf{N}_9 &= \mathbf{N}''^T \mathbf{N}' \\
 \mathbf{N}_{10} &= \mathbf{N}''^T \mathbf{N}'' \\
 \mathbf{N}_{11} &= \mathbf{N}''^T \mathbf{N}_w'
 \end{aligned} \tag{2.26}$$

gde su:

$$\begin{aligned}
 \mathbf{N}' &= \frac{1}{L} [-3+4\xi \quad 4-8\xi \quad -1+4\xi] \\
 \mathbf{N}'' &= \frac{1}{L^2} [4 \quad -8 \quad 4] \\
 \mathbf{N}_w' &= \frac{1}{L} [-1 \quad 1]
 \end{aligned} \tag{2.27}$$

Integracijom članova matrice (2.25), vodeći računa da je $\iint \omega dF = \iint \omega \Omega' dF = \iint \omega \Omega'_{,x} dF = \iint \omega \Omega'_{,y} dF = \iint (\omega_{,x} \Omega'_{,x} + \omega_{,y} \Omega'_{,y}) dF = 0$ i da se pojedini članovi matrice kao male veličine mogu zanemariti *, uz uslov (1.9), dobija se linearna matrica krutosti elementa:

* Imajući u vidu izraze izvedene u poglavlju dobija se:

$$\begin{aligned}
 \iint \left(\frac{\partial \omega}{\partial x} \frac{\partial \Omega'}{\partial x} + \frac{\partial \omega}{\partial y} \frac{\partial \Omega'}{\partial y} \right) dF &= \sum \iint [(e \sin \alpha + h_n \cos \alpha) \frac{\sin \alpha}{L} + (e \cos \alpha - h_n \sin \alpha) \frac{\cos \alpha}{L}] dF = \sum \iint \frac{e}{L} dF = 0 \\
 \iint \frac{1}{L^2} x \omega dF &= \sum \iint h_n \cos \alpha \left(\frac{e}{L} \right)^2 dF \ll \iint \frac{\partial \omega}{\partial x} dF = \sum \iint h_n \cos \alpha dF \\
 \iint \frac{1}{L^2} \omega^2 dF &= \sum \iint h_p^{*2} \left(\frac{e}{L} \right)^2 dF \ll \iint [(y + \frac{\partial \omega}{\partial x})^2 + (x - \frac{\partial \omega}{\partial y})^2] dF = \sum \iint (h_p^* + e)^2 dF
 \end{aligned}$$

$$\mathbf{K}_L = \begin{bmatrix}
\Delta \mathbf{q}_u & \Delta \mathbf{q}_v & \Delta \mathbf{q}_g & \Delta \mathbf{q}_{w_0} & \Delta \mathbf{q}_{\psi_y} & \Delta \mathbf{q}_{\psi_x} & \Delta \mathbf{q}_{w_1} & \dots \\
\mathbf{GFK}_2 & 0 & -\mathbf{GS}_{\omega,x} \mathbf{K}_2 & 0 & -\mathbf{GFK}_5 & 0 & \mathbf{GS}_{\Omega',x} \mathbf{K}_7 & \dots \\
\mathbf{GFK}_2 & \mathbf{GFK}_2 & -\mathbf{GS}_{\omega,y} \mathbf{K}_2 & 0 & 0 & \mathbf{GFK}_5 & \mathbf{GS}_{\Omega',y} \mathbf{K}_7 & \dots \\
\mathbf{GI}_h \mathbf{K}_2 & 0 & \mathbf{GI}_h \mathbf{K}_2 & 0 & \mathbf{GS}_{\omega,x} \mathbf{K}_5 & -\mathbf{GS}_{\omega,y} \mathbf{K}_5 & G(I_{x\Omega',y} - I_{y\Omega',x}) \mathbf{K}_7 & \dots \\
\mathbf{EFK}_4 & 0 & \mathbf{EFK}_4 & 0 & 0 & 0 & 0 & \dots \\
\mathbf{EI}_{xx} \mathbf{K}_2 + \mathbf{GFK}_1 & 0 & \mathbf{EI}_{xx} \mathbf{K}_2 + \mathbf{GFK}_1 & 0 & 0 & 0 & \dots - \mathbf{EI}_{x\Omega'} \mathbf{K}_8 - \mathbf{GS}_{\Omega',x} \mathbf{K}_8 & \dots \\
\mathbf{EI}_{yy} \mathbf{K}_2 + \mathbf{GFK}_1, \dots & \mathbf{EI}_{yy} \mathbf{K}_2 + \mathbf{GFK}_1, \dots & \mathbf{EI}_{yy} \mathbf{K}_2 + \mathbf{GFK}_1, \dots & \mathbf{EI}_{yy} \mathbf{K}_2 + \mathbf{GFK}_1, \dots & \mathbf{EI}_{yy} \mathbf{K}_2 + \mathbf{GFK}_1, \dots & \mathbf{EI}_{yy} \mathbf{K}_2 + \mathbf{GFK}_1, \dots & \mathbf{EI}_{yy} \mathbf{K}_2 + \mathbf{GFK}_1, \dots & \dots \\
\vdots & \vdots & \vdots & \vdots & \vdots & \vdots & \vdots & \vdots \\
\mathbf{EI}_{\Omega'} \mathbf{K}_4 & \dots & \mathbf{EI}_{\Omega'} \mathbf{K}_4 & \dots & \mathbf{EI}_{\Omega'} \mathbf{K}_4 & \dots & \mathbf{EI}_{\Omega'} \mathbf{K}_4 & \dots \\
\mathbf{G}(I_{\Omega',\Omega',x} + I_{\Omega',\Omega',y}) \mathbf{K}_3 & \dots & \mathbf{G}(I_{\Omega',\Omega',x} + I_{\Omega',\Omega',y}) \mathbf{K}_3 & \dots & \mathbf{G}(I_{\Omega',\Omega',x} + I_{\Omega',\Omega',y}) \mathbf{K}_3 & \dots & \mathbf{G}(I_{\Omega',\Omega',x} + I_{\Omega',\Omega',y}) \mathbf{K}_3 & \dots \\
\vdots & \vdots & \vdots & \vdots & \vdots & \vdots & \vdots & \vdots
\end{bmatrix}$$

s i m e t r i ç n o

Linearna matrica krutosti dobijena je u eksplicitnom obliku. Za geometrijske karakteristike preseka uvedene su iste oznake kao i u prethodnom poglavlju:

$$\begin{aligned}
 S_{\Omega',x} &= \iint \Omega'_{,x} dF \\
 S_{\Omega',y} &= \iint \Omega'_{,y} dF \\
 S_{\omega',x} &= \iint \omega'_{,x} dF \\
 S_{\omega',y} &= \iint \omega'_{,y} dF \\
 I_{xx} &= \iint x^2 dF \\
 I_{yy} &= \iint y^2 dF \\
 I_h &= \iint \left[\left(y + \frac{\partial \omega}{\partial x} \right)^2 + \left(x - \frac{\partial \omega}{\partial y} \right)^2 \right] dF \\
 I_{x\Omega'} &= \iint x \Omega' dF \\
 I_{y\Omega'} &= \iint y \Omega' dF \\
 I_{x\Omega'_{,y}} &= \iint x \Omega'_{,y} dF \\
 I_{y\Omega'_{,x}} &= \iint y \Omega'_{,x} dF \\
 I_{\Omega'\Omega'} &= \iint \Omega' \Omega' dF \\
 I_{\Omega'_{,x}\Omega'_{,x}} &= \iint \Omega'_{,x} \Omega'_{,x} dF \\
 I_{\Omega'_{,y}\Omega'_{,y}} &= \iint \Omega'_{,y} \Omega'_{,y} dF
 \end{aligned} \tag{2.29}$$

Submatrice $\mathbf{K}_1, \mathbf{K}_2, \dots, \mathbf{K}_8$ date su izrazima:

$$\mathbf{K}_1 = \frac{L}{15} \begin{bmatrix} 2 & 1 & -0,5 \\ 1 & 8 & 1 \\ -0,5 & 1 & 2 \end{bmatrix}$$

$$\mathbf{K}_2 = \frac{1}{3L} \begin{bmatrix} 7 & -8 & 1 \\ -8 & 16 & -8 \\ 1 & -8 & 7 \end{bmatrix}$$

$$\begin{aligned}
 \mathbf{K}_3 &= \frac{1}{6} \begin{bmatrix} 2 & 1 \\ 1 & 2 \end{bmatrix} \\
 \mathbf{K}_4 &= \frac{1}{L} \begin{bmatrix} 1 & -1 \\ -1 & 1 \end{bmatrix} \\
 \mathbf{K}_5 &= \frac{1}{6} \begin{bmatrix} -3 & -4 & 1 \\ 4 & 0 & -4 \\ -1 & 4 & 3 \end{bmatrix} \\
 \mathbf{K}_6 &= \frac{1}{3} \begin{bmatrix} 0,5 & 0 \\ 1 & 1 \\ 0 & 0,5 \end{bmatrix} \\
 \mathbf{K}_7 &= \frac{1}{6} \begin{bmatrix} -5 & -1 \\ 4 & -4 \\ 1 & 5 \end{bmatrix} \\
 \mathbf{K}_8 &= \frac{1}{L} \begin{bmatrix} 1 & -1 \\ 0 & 0 \\ -1 & 1 \end{bmatrix}
 \end{aligned} \tag{2.30}$$

Kada komponente vektora čvornih pomeranja (2.14) napišemo u redosledu koji je pogodniji pri kasnijim transformacijama matrice krutosti elementa:

$$\Delta \mathbf{q} = [\Delta u_1 \ \Delta v_1 \ \Delta w_{01} \ \Delta \psi_{x1} \ \Delta \psi_{y1} \ \Delta \vartheta_1 \ \Delta w_{11} \dots \Delta w_{l1} \dots \Delta w_{n1} \ \Delta u_3 \ \Delta v_3 \ \Delta w_{03} \ \Delta \psi_{x3} \ \Delta \psi_{y3} \ \Delta \vartheta_3 \ \Delta w_{13} \dots \Delta w_{l3} \dots \Delta w_{n3} \ \Delta u_2 \ \Delta v_2 \ \Delta \psi_{x2} \ \Delta \psi_{y2} \ \Delta \vartheta_2]^T \tag{2.31}$$

za matricu transformacije \mathbf{B}_L i linearnu matricu krutosti \mathbf{K}_L dobija se:

Δu_1	Δv_1	Δw_{01}	$\Delta \psi_{x1}$	$\Delta \psi_{y1}$	$\Delta \vartheta_1$	Δw_{11}	Δw_{n1}
0	0	$-\frac{1}{L}$	$\frac{y}{L}(-3+4\xi)$	$-\frac{x}{L}(-3+4\xi)$	$-\frac{4\omega}{L^2}$	$-\frac{\Omega'}{L}$	$-\frac{\Omega'}{L}$
$\frac{1}{L}(-3+4\xi)$	0	0	0	$-(1-3\xi+2\xi^2)$	$-\frac{1}{L}(y+\frac{\partial\omega}{\partial x})(-3+4\xi)$	$\frac{\partial\Omega'}{\partial x}(1-\xi) \dots \frac{\partial\Omega'}{\partial x}(1-\xi)$	$\frac{\partial\Omega''}{\partial x}(1-\xi)$
0	$\frac{1}{L}(-3+4\xi)$	0	$1-3\xi+2\xi^2$	0	$\frac{1}{L}(x-\frac{\partial\omega}{\partial y})(-3+4\xi)$	$\frac{\partial\Omega'}{\partial y}(1-\xi) \dots \frac{\partial\Omega'}{\partial y}(1-\xi)$	$\frac{\partial\Omega''}{\partial y}(1-\xi)$

$B_L =$

Δu_3	Δv_3	Δw_{03}	$\Delta \psi_{x3}$	$\Delta \psi_{y3}$	$\Delta \vartheta_3$	Δw_{13}	Δw_{n3}
0	0	$\frac{1}{L}$	$\frac{y}{L}(-1+4\xi)$	$-\frac{x}{L}(-1+4\xi)$	$-\frac{4\omega}{L^2}$	$\frac{\Omega'}{L}$	$\frac{\Omega'}{L}$
$\frac{1}{L}(-1+4\xi)$	0	0	0	$\xi(1-2\xi)$	$-\frac{1}{L}(y+\frac{\partial\omega}{\partial x})(-1+4\xi)$	$\frac{\partial\Omega'}{\partial x}\xi \dots \frac{\partial\Omega'}{\partial x}\xi$	$\frac{\partial\Omega''}{\partial x}\xi$
0	$\frac{1}{L}(-1+4\xi)$	0	$-\xi(1-2\xi)$	0	$\frac{1}{L}(x-\frac{\partial\omega}{\partial y})(-1+4\xi)$	$\frac{\partial\Omega'}{\partial y}\xi \dots \frac{\partial\Omega'}{\partial y}\xi$	$\frac{\partial\Omega''}{\partial y}\xi$

Δu_2	Δv_2	$\Delta \psi_{x2}$	$\Delta \psi_{y2}$	$\Delta \vartheta_2$
0	0	$\frac{y}{L}(4-8\xi)$	$-\frac{x}{L}(4-8\xi)$	$\frac{8\omega}{L^2}$
$\frac{1}{L}(4-8\xi)$	0	0	$-4\xi(1-\xi)$	$-\frac{1}{L}(y+\frac{\partial\omega}{\partial x})(4-8\xi)$
0	$\frac{1}{L}(4-8\xi)$	$4\xi(1-\xi)$	0	$\frac{1}{L}(x-\frac{\partial\omega}{\partial y})(4-8\xi)$

Δu_1	Δv_1	Δw_{01}	$\Delta \psi_{x1}$	$\Delta \psi_{y1}$	$\Delta \vartheta_1$	Δw_{11}	Δu_2	Δv_2	$\Delta \psi_{x2}$	$\Delta \psi_{y2}$	$\Delta \vartheta_2$										
7a	0	0	0	1.5La	7g	..	-5k'	..	a	0	0	0	0	2La	-8g	Δu_1					
7a	0	-1.5La	0	7h	..	-5l'	..	0	a	0	0.5La	0	h	..	-l'	..	0	Δv_1			
	c	0	0	0	..	0	..	0	-c	0	0	0	0	..	0	0	0	Δw_{01}			
	7e+2f	0	-1.5Lh	..	p'+l'	..	0	-0.5La	0	e-0.5f	0	-0.5Lh	..	p'	..	0	2La	-8e+f	0	2Lh	$\Delta \psi_{x1}$
	7d+2f	1.5Lg	..	d'-Lk'	..	0.5La	0	0	d-0.5f	0.5Lg	..	d'	..	-2La	0	0	-8d+f	-2Lg			$\Delta \psi_{y1}$
	7b	..	-5r'	..	g	h	0	0.5Lh-0.5Lg	b	..	-r'	..	-8g	-8h	-2Lh	2Lg	-8b				$\Delta \vartheta_1$
	..	-2n'+m'	..	k'	..	l'	0	-p'	o'	r'	..	n'-m'	..	4k'	4l'	2l'	-2Lk'	4r'			..

	7a	0	0	-1.5La	7g	..	5k'	..	-8a	0	0	-2La	-8g								Δw_{11}
	7a	0	1.5La	0	7h	..	5l'	..	-8a	0	-8a	2La	0	-8h							Δu_3
	c	0	0	0	0	..	0	..	0	0	0	0	0	0	0	0	0	0	0	0	Δv_3
	7e+2f	0	1.5Lh	..	p'+l'	..	0	-2La	-8e+f	0	-2Lh										Δw_{03}
	7d+2f	-1.5Lg	..	d'-Lk'	..	2La	0	0	-8d+f	2Lg											$\Delta \psi_{x3}$
	7b	..	5r'	..	-8g	-8h	-2Lh	-2Lg	-8b												$\Delta \psi_{y3}$
	..	-2n'+m'	..	-4k'	-4l'	2l'	-2Lk'	-4r'													$\Delta \vartheta_3$

	16a	0	0	0	0	0	0	0	0	0	0	0	0	0	0	0	0	0	0	0	Δw_{13}
	16a	0	0	0	0	0	0	0	0	0	0	0	0	0	0	0	0	0	0	0	Δu_2
	16e+8f	0	0	0	0	0	0	0	0	0	0	0	0	0	0	0	0	0	0	0	Δv_2
	16d+8f	0	0	0	0	0	0	0	0	0	0	0	0	0	0	0	0	0	0	0	$\Delta \psi_{x2}$
	16b																				$\Delta \psi_{y2}$
	16b																				$\Delta \vartheta_2$

s i m e t r i c n o

$K_L =$

gde su:

$$\begin{aligned}
 a &= \frac{1}{3L}GF \\
 b &= \frac{1}{3L}GI_h \\
 c &= \frac{1}{L}EF \\
 d &= \frac{1}{3L}EI_{xx} \\
 e &= \frac{1}{3L}EI_{yy} \\
 f &= \frac{1}{15}GF \\
 g &= -\frac{1}{3L}GS_{\omega,x} \\
 h &= -\frac{1}{3L}GS_{\omega,y} \\
 k^j &= \frac{1}{6}GS_{\Omega'_x} \\
 l^j &= \frac{1}{6}GS_{\Omega'_y} \\
 m^{ij} &= \frac{1}{L}EI_{\Omega'_i\Omega'_j} \\
 n^{ij} &= \frac{L}{6}G(I_{\Omega'_i\Omega'_i} + I_{\Omega'_j\Omega'_j}) \\
 o^j &= -\frac{1}{L}EI_{x\Omega'_j} \\
 p^j &= \frac{1}{L}EI_{y\Omega'_j} \\
 r^j &= \frac{1}{6}G(I_{x\Omega'_j} - I_{y\Omega'_j}) \quad i, j = 1, 2, \dots, n
 \end{aligned} \tag{2.34}$$

2.3.4 GEOMETRIJSKA MATRICA KRUTOSTI

Nelinearne komponente inkrementalnih deformacija određene su jednačinom (2.5,2):

$$\begin{aligned}
 \Delta\eta_{33} &= \frac{1}{2}[(\Delta u_{3,3})^2 + (\Delta u_{1,3})^2 + (\Delta u_{2,3})^2] = \frac{1}{2}\left[\left(\frac{\partial \Delta w_*}{\partial z}\right)^2 + \left(\frac{\partial \Delta u_*}{\partial z}\right)^2 + \left(\frac{\partial \Delta v_*}{\partial z}\right)^2\right] \\
 2\Delta\eta_{13} &= \Delta u_{2,1}\Delta u_{2,3} + \Delta u_{3,1}\Delta u_{3,3} = \frac{\partial \Delta v_*}{\partial x} \frac{\partial \Delta v_*}{\partial z} + \frac{\partial \Delta w_*}{\partial x} \frac{\partial \Delta w_*}{\partial z} \\
 2\Delta\eta_{23} &= \Delta u_{1,2}\Delta u_{1,3} + \Delta u_{3,2}\Delta u_{3,3} = \frac{\partial \Delta u_*}{\partial y} \frac{\partial \Delta u_*}{\partial z} + \frac{\partial \Delta w_*}{\partial y} \frac{\partial \Delta w_*}{\partial z}
 \end{aligned} \tag{2.35}$$

Lako je pokazati da se matrica \mathbf{B}_{NL} može napisati u obliku:

$$\mathbf{B}_{NL} = \begin{bmatrix} 0 & \frac{\partial}{\partial x} & 0 \\ 0 & 0 & \frac{\partial}{\partial x} \\ \frac{\partial}{\partial y} & 0 & 0 \\ 0 & 0 & \frac{\partial}{\partial y} \\ \frac{\partial}{\partial z} & 0 & 0 \\ 0 & \frac{\partial}{\partial z} & 0 \\ 0 & 0 & \frac{\partial}{\partial z} \end{bmatrix} \quad \mathbf{A} = \quad (2.36)$$

$$\begin{bmatrix} 0 & 0 & \mathbf{N} & 0 & 0 & 0 & 0 & \dots & 0 & \dots & 0 \\ 0 & 0 & -\frac{\partial \omega}{\partial x} \mathbf{N}' & 0 & -\mathbf{N} & 0 & \frac{\partial \Omega'}{\partial x} \mathbf{N}_w \dots \frac{\partial \Omega'}{\partial x} \mathbf{N}_w \dots \frac{\partial \Omega^n}{\partial x} \mathbf{N}_w \\ 0 & 0 & -\mathbf{N} & 0 & 0 & 0 & 0 & \dots & 0 & \dots & 0 \\ 0 & 0 & -\frac{\partial \omega}{\partial y} \mathbf{N}' & 0 & 0 & \mathbf{N} & \frac{\partial \Omega'}{\partial y} \mathbf{N}_w \dots \frac{\partial \Omega'}{\partial y} \mathbf{N}_w \dots \frac{\partial \Omega^n}{\partial y} \mathbf{N}_w \\ \mathbf{N}' & 0 & -y \mathbf{N}' & 0 & 0 & 0 & 0 & \dots & 0 & \dots & 0 \\ 0 & \mathbf{N}' & x \mathbf{N}' & 0 & 0 & 0 & 0 & \dots & 0 & \dots & 0 \\ 0 & 0 & -\omega \mathbf{N}'' & \mathbf{N}'_w & -x \mathbf{N}' & y \mathbf{N}' & \Omega' \mathbf{N}'_w \dots \Omega' \mathbf{N}'_w \dots \Omega^n \mathbf{N}'_w \end{bmatrix}$$

Ako je σ normalni napon, a τ_x i τ_y naponi smicanja u poprečnim presecima elementa, tada je matrica Cauchyjevih napona σ data izrazom:

$$\sigma = \begin{bmatrix} 0 & 0 & 0 & 0 & 0 & \tau_x & 0 \\ 0 & 0 & 0 & 0 & 0 & 0 & \tau_x \\ 0 & 0 & 0 & 0 & \tau_y & 0 & 0 \\ 0 & 0 & 0 & 0 & 0 & 0 & \tau_y \\ 0 & 0 & \tau_y & 0 & \sigma & 0 & 0 \\ \tau_x & 0 & 0 & 0 & 0 & \sigma & 0 \\ 0 & \tau_x & 0 & \tau_y & 0 & 0 & \sigma \end{bmatrix} \quad (2.37)$$

Posle množenja matrica (2.36) i (2.37) dobija se:

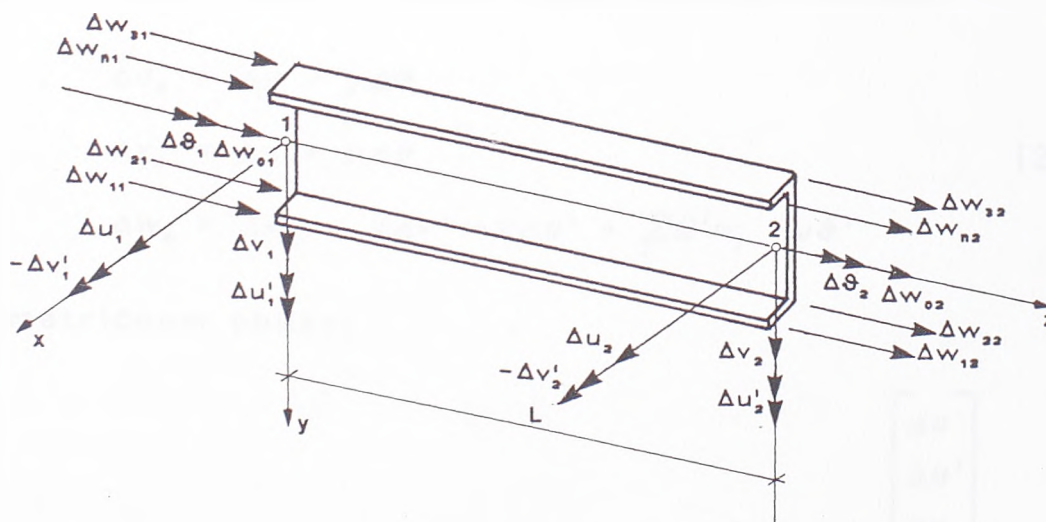
gde je značenje oznaka N_1, \dots, N_{11} dato ranije izrazima (2.26), i gde je:

$$\begin{aligned}
 N_{12} &= N''^T N \\
 N_{13} &= N_w'^T N \\
 N_{14} &= N''^T N_w' \\
 N_{15} &= N_w'^T N_w'
 \end{aligned}
 \tag{2.39}$$

Geometrijska ili nelinearna matrica krutosti određena je izrazom (2.12,2) i dobija se numeričkom integracijom pojedinih članova gornje matrice.

2.4 KONAČAN ELEMENAT II

2.4.1 OSNOVNE KARAKTERISTIKE ELEMENTA



sl.6

Ako se zanemari uticaj transverzalnih sila na deformaciju dobija se klasičan štap za koji važi Bernoullijeva pretpostavka o ravnim presecima. Obrtanje poprečnog preseka nije nezavisna veličina, već se može izraziti preko transverzalnih pomeranja ose štapa:

$$\begin{aligned}\psi_x &= -\frac{\partial v}{\partial z} \\ \psi_y &= \frac{\partial u}{\partial z}\end{aligned}\tag{2.40}$$

Čvorovi, koji su pretstavljeni težišnim tačkama krajnjih poprečnih preseka elementa i obeleženi sa 1 i 2 (sl.6), imaju po $\delta+n$ stepeni slobode pomeranja $\Delta u_i, \Delta v_i, \Delta w_{oi}, \Delta \psi_{xi}, \Delta \psi_{yi}, \Delta \vartheta_i, \Delta w_{1i}, \Delta w_{2i}, \dots, \Delta w_{ni}$ ($i=1,2$).

Za posmatrani element važe sve pretpostavke i napomene koje su date i za element opisan u poglavlju 2.3.

2.4.2 VEKTOR POMERANJA

Izrazi za inkrementalna pomeranja proizvoljne tačke poprečnog preseka $\Delta u_*, \Delta v_*$ i Δw_* , polazeći od pretpostavke o nedeformabilnosti preseka u svojoj ravni, mogu se izraziti u funkciji generalisanih inkrementalnih pomeranja ose elementa i pomeranja čvornih tačaka poligonalnog preseka:

$$\begin{aligned}\Delta u_* &= \Delta u - y \Delta \vartheta \\ \Delta v_* &= \Delta v + x \Delta \vartheta \\ \Delta w_* &= \Delta w_o - y \Delta v' - x \Delta u' + \sum \Omega' w_i - \omega \vartheta'\end{aligned}\tag{2.41}$$

Ili u matričnom obliku:

$$\begin{bmatrix} \Delta u_* \\ \Delta v_* \\ \Delta w_* \end{bmatrix} = \begin{bmatrix} 1 & 0 & 0 & 0 & -y & 0 & 0 & 0 & \dots & 0 & \dots & 0 \\ 0 & 0 & 1 & 0 & x & 0 & 0 & 0 & \dots & 0 & \dots & 0 \\ 0 & -x & 0 & -y & 0 & -\omega & 1 & \Omega' & \dots & \Omega' & \dots & \Omega^n \end{bmatrix} \begin{bmatrix} \Delta u \\ \Delta u' \\ \Delta v \\ \Delta v' \\ \Delta \vartheta \\ \Delta \vartheta' \\ \Delta w_o \\ \Delta w_1 \\ \vdots \\ \Delta w_i \\ \vdots \\ \Delta w_n \end{bmatrix}\tag{2.42}$$

Vektor osnovnih nepoznatih u čvorovima 1 i 2 konačnog elementa označen je sa:

$$\Delta \mathbf{q} = [\Delta \mathbf{q}_u \quad \Delta \mathbf{q}_v \quad \Delta \mathbf{q}_\vartheta \quad \Delta \mathbf{q}_{w_0} \quad \Delta \mathbf{q}_{w_1} \dots \Delta \mathbf{q}_{w_i} \dots \Delta \mathbf{q}_{w_n}] \quad (2.43)$$

gde su:

$$\begin{aligned} \Delta \mathbf{q}_u &= [\Delta u_1 \quad \Delta u_1' \quad \Delta u_2 \quad \Delta u_2']^T \\ \Delta \mathbf{q}_v &= [\Delta v_1 \quad -\Delta v_1' \quad \Delta v_2 \quad -\Delta v_2']^T \\ \Delta \mathbf{q}_\vartheta &= [\Delta \vartheta_1 \quad \Delta \vartheta_2]^T \\ \Delta \mathbf{q}_{w_0} &= [\Delta w_{01} \quad \Delta w_{02}]^T \\ \Delta \mathbf{q}_{w_i} &= [\Delta w_{i1} \quad \Delta w_{i2}]^T \quad i = 1, 2, \dots, n \end{aligned} \quad (2.44)$$

Za interpolacione funkcije inkrementalnih pomeranja Δu i Δv usvojeni su Hermitovi polinomi prve vrste, a za inkrementalna pomeranja $\Delta \vartheta$, Δw_0 , Δw_1 , $\Delta w_2, \dots, \Delta w_n$ linearna promena izmedju čvorova:

$$\begin{aligned} \Delta u &= \mathbf{N}_u \Delta \mathbf{q}_u \\ \Delta v &= \mathbf{N}_v \Delta \mathbf{q}_v \\ \Delta \vartheta &= \mathbf{N} \Delta \mathbf{q}_\vartheta \\ \Delta w_0 &= \mathbf{N} \Delta \mathbf{q}_{w_0} \\ \Delta w_i &= \mathbf{N} \Delta \mathbf{q}_{w_i} \quad i = 1, 2, \dots, n \end{aligned} \quad (2.45)$$

pri čemu su uvedene sledeće oznake:

$$\begin{aligned} \mathbf{N}_u &= [1-3\xi^2+2\xi^3 \quad L(\xi-2\xi^2+\xi^3) \quad 3\xi^2-2\xi^3 \quad L(-\xi^2+\xi^3)] \\ \mathbf{N}_v &= [1-3\xi^2+2\xi^3 \quad L(-\xi+2\xi^2-\xi^3) \quad 3\xi^2-2\xi^3 \quad L(\xi^2-\xi^3)] \\ \mathbf{N} &= [1-\xi \quad \xi] \quad \xi = \frac{z}{L} \end{aligned} \quad (2.46)$$

Kada se jednačine (2.45) uvrste u (2.42) dobijaju se izrazi za inkrementalna pomeranja proizvoljnih tačaka preseka

koja su izražena preko parametara pomeranja krajeva elementa:

$$\begin{bmatrix} \Delta u_* \\ \Delta v_* \\ \Delta w_* \end{bmatrix} = \begin{bmatrix} N_u & 0 & -yN & 0 & 0 & \dots & 0 & \dots & 0 \\ 0 & N_v & xN & 0 & 0 & \dots & 0 & \dots & 0 \\ -xN'_u & -yN'_v & -\omega N' & N & \Omega^1 N & \dots & \Omega^1 N & \dots & \Omega^n N \end{bmatrix} \begin{bmatrix} \Delta q_u \\ \Delta q_v \\ \Delta q_\theta \\ \Delta q_{w_0} \\ \Delta q_{w_1} \\ \Delta q_{w_1} \\ \vdots \\ \Delta q_{w_n} \end{bmatrix} = \mathbf{A} \Delta \mathbf{q}$$

gde su:

$$\begin{aligned} N'_u &= \frac{1}{L} [-6\xi + 6\xi^2 \quad L(1-4\xi+3\xi^2) \quad 6\xi-6\xi^2 \quad L(-2\xi+3\xi^2)] \\ N'_v &= \frac{1}{L} [-6\xi+6\xi^2 \quad L(-1+4\xi-3\xi^2) \quad 6\xi-6\xi^2 \quad L(2\xi-3\xi^2)] \quad (2.48) \\ N' &= \frac{1}{L} [-1 \quad 1] \quad \xi = \frac{z}{L} \end{aligned}$$

2.4.3 LINEARNA MATRICA KRUTOSTI

Polazeći od jednačina (2.20), (2.21) i (2.22) za matricu \mathbf{B}_L dobija se:

$$\mathbf{B}_L = \begin{bmatrix} -xN''_u & -yN''_v & 0 & N' & \Omega^1 N' & \dots & \Omega^1 N' & \dots & \Omega^n N' \\ 0 & 0 & -(y + \frac{\partial \omega}{\partial x}) N' & 0 & \frac{\partial \Omega^1}{\partial x} N & \dots & \frac{\partial \Omega^1}{\partial x} N & \dots & \frac{\partial \Omega^n}{\partial x} N \\ 0 & 0 & (x - \frac{\partial \omega}{\partial y}) N' & 0 & \frac{\partial \Omega^1}{\partial y} N & \dots & \frac{\partial \Omega^1}{\partial y} N & \dots & \frac{\partial \Omega^n}{\partial y} N \end{bmatrix}$$

gde su:

$$\begin{aligned} N''_u &= \frac{1}{L^2} [-6+12\xi \quad L(-4+6\xi) \quad 6-12\xi \quad L(-2+6\xi)] \\ N''_v &= \frac{1}{L^2} [-6+12\xi \quad L(4-6\xi) \quad 6-12\xi \quad L(2-6\xi)] \end{aligned} \quad (2.50)$$

Imajući u vidu izraz za matricu elastičnosti (2.24), dalje sledi:

$$\begin{bmatrix}
 E x^2 \mathbf{N}_1 & E x y \mathbf{N}_8 & 0 & -x \mathbf{N}_5 & \dots & -E x \Omega' \mathbf{N}_5 & \dots \\
 E y^2 \mathbf{N}_2 & 0 & 0 & -y \mathbf{N}_6 & \dots & -E y \Omega' \mathbf{N}_6 & \dots \\
 G[(y + \frac{\partial \omega}{\partial x})^2 + (x - \frac{\partial \omega}{\partial y})^2] \mathbf{N}_4 & 0 & 0 & \dots G[(x - \frac{\partial \omega}{\partial y}) \frac{\partial \Omega'}{\partial y} - (y + \frac{\partial \omega}{\partial x}) \frac{\partial \Omega'}{\partial x}] \mathbf{N}_7 & \dots & \dots & \dots \\
 & & & E \mathbf{N}_4 & \dots & E \Omega' \mathbf{N}_4 & \dots \\
 & & & \vdots & & \vdots & \\
 & & & & & E \Omega' \Omega' \mathbf{N}_4 & \\
 & & & & & G(\frac{\partial \Omega'}{\partial x} \frac{\partial \Omega'}{\partial x} + \frac{\partial \Omega'}{\partial y} \frac{\partial \Omega'}{\partial y}) \mathbf{N}_3 & \\
 & & & & & \vdots & \\
 & & & & & \vdots &
 \end{bmatrix}$$

$$\mathbf{B}_L^T \mathbf{D} \mathbf{B}_L =$$

simetrično

gde su:

$$\begin{aligned}
 \mathbf{N}_1 &= \mathbf{N}_u''^T \mathbf{N}_u'' \\
 \mathbf{N}_2 &= \mathbf{N}_v''^T \mathbf{N}_v'' \\
 \mathbf{N}_3 &= \mathbf{N}^T \mathbf{N} \\
 \mathbf{N}_4 &= \mathbf{N}'^T \mathbf{N}' \\
 \mathbf{N}_5 &= \mathbf{N}_u''^T \mathbf{N}' \\
 \mathbf{N}_6 &= \mathbf{N}_v''^T \mathbf{N}' \\
 \mathbf{N}_7 &= \mathbf{N}'^T \mathbf{N} \\
 \mathbf{N}_8 &= \mathbf{N}_u''^T \mathbf{N}_v''
 \end{aligned}
 \tag{2.52}$$

Linearna matrica krutosti, uvažavajući uslov (1.9), dobija se prema jednačini (2.12,1):

$$\mathbf{K}_L = \begin{bmatrix}
 \Delta \mathbf{q}_u & \Delta \mathbf{q}_v & \Delta \mathbf{q}_\theta & \Delta \mathbf{q}_{w_0} & \dots & \Delta \mathbf{q}_{w_1} & \dots \\
 EI_{xx} \mathbf{K}_1 & 0 & 0 & 0 & \dots & -EI_{x\Omega'} \mathbf{K}_5 & \dots \\
 & EI_{yy} \mathbf{K}_2 & 0 & 0 & \dots & -EI_{y\Omega'} \mathbf{K}_6 & \dots \\
 & & GI_h \mathbf{K}_4 & 0 & \dots & G(I_{x\Omega'_y} - I_{y\Omega'_x}) \mathbf{K}_7 & \dots \\
 & & & EF \mathbf{K}_4 & \dots & 0 & \dots \\
 & \text{simetrično} & & & & \vdots & \vdots \\
 & & & & & EI_{\Omega'\Omega'} \mathbf{K}_4 & \dots \\
 & & & & & \dots & \dots \\
 & & & & & G(I_{\Omega'_x\Omega'_x} + I_{\Omega'_y\Omega'_y}) \mathbf{K}_3 & \dots \\
 & & & & & \vdots & \vdots
 \end{bmatrix}
 \begin{matrix}
 \Delta \mathbf{q}_u \\
 \Delta \mathbf{q}_v \\
 \Delta \mathbf{q}_\theta \\
 \Delta \mathbf{q}_{w_0} \\
 \vdots \\
 \Delta \mathbf{q}_{w_1} \\
 \vdots
 \end{matrix}$$

Matrice $\mathbf{K}_1, \mathbf{K}_2, \dots, \mathbf{K}_7$ date su izrazima:

$$\begin{aligned}
 \mathbf{K}_1 &= \frac{1}{L^3} \begin{bmatrix} 12 & 6L & -12 & 6L \\ & 4L^2 & -6L & 2L^2 \\ & \text{simet.} & 12 & -6L \\ & & & 4L^2 \end{bmatrix} \\
 \mathbf{K}_2 &= \frac{1}{L^3} \begin{bmatrix} 12 & -6L & -12 & -6L \\ & 4L^2 & 6L & 2L^2 \\ & \text{simet.} & 12 & 6L \\ & & & 4L^2 \end{bmatrix} \\
 \mathbf{K}_3 &= \frac{L}{6} \begin{bmatrix} 2 & 1 \\ 1 & 2 \end{bmatrix} \\
 \mathbf{K}_4 &= \frac{1}{L} \begin{bmatrix} 1 & -1 \\ -1 & 1 \end{bmatrix} \\
 \mathbf{K}_5 = -\mathbf{K}_8 &= \frac{1}{L} \begin{bmatrix} 0 & 0 \\ 1 & -1 \\ 0 & 0 \\ -1 & 1 \end{bmatrix} \\
 \mathbf{K}_7 &= \begin{bmatrix} -0.5 & -0.5 \\ 0.5 & 0.5 \end{bmatrix}
 \end{aligned} \tag{2.54}$$

Ako komponente vektora čvornih pomeranja (2.43) napišemo u redosledu koji je pogodniji za kasniju primenu:

$$\Delta \mathbf{q} = [\Delta u_1, \Delta v_1, \Delta w_{01}, -\Delta v'_1, \Delta u'_1, \Delta \vartheta_1, \Delta w_{11}, \dots, \Delta w_{l1}, \dots, \Delta w_{n1}, \Delta u_2, \Delta v_2, \Delta w_{02}, -\Delta v'_2, \Delta u'_2, \Delta \vartheta_2, \Delta w_{12}, \dots, \Delta w_{l2}, \dots, \Delta w_{n2}]^T \tag{2.55}$$

za matrice \mathbf{B}_L i \mathbf{K}_L dobija se:

$$\mathbf{B}_L = \begin{bmatrix}
 \Delta u_1 & \Delta v_1 & \Delta w_{01} & -\Delta v'_1 & \Delta u'_1 & \Delta \vartheta_1 & \Delta w_{11} & \Delta w_{11} & \Delta w_{n1} \\
 \frac{x^2}{L^2}(6-12\xi) & \frac{y}{L^2}(6-12\xi) & -\frac{1}{L} & \frac{y}{L}(-4+6\xi) & -\frac{x}{L}(-4+6\xi) & 0 & -\frac{\Omega'}{L} & -\frac{\Omega'}{L} & -\frac{\Omega''}{L} \\
 0 & 0 & 0 & 0 & 0 & \frac{1}{L}(y+\frac{\partial \omega}{\partial x}) & \frac{\partial \Omega'}{\partial x}(1-\xi) & \frac{\partial \Omega'}{\partial x}(1-\xi) & \frac{\partial \Omega''}{\partial x}(1-\xi) \\
 0 & 0 & 0 & 0 & 0 & -\frac{1}{L}(x-\frac{\partial \omega}{\partial y}) & \frac{\partial \Omega'}{\partial y}(1-\xi) & \frac{\partial \Omega'}{\partial y}(1-\xi) & \frac{\partial \Omega''}{\partial y}(1-\xi)
 \end{bmatrix}$$

$$\begin{bmatrix}
 \Delta u_2 & \Delta v_2 & \Delta w_{02} & -\Delta v'_2 & \Delta u'_2 & \Delta \vartheta_2 & \Delta w_{12} & \Delta w_{12} & \Delta w_{n2} \\
 \frac{x}{L^2}(-6+12\xi) & \frac{y}{L^2}(-6+12\xi) & \frac{1}{L} & \frac{y}{L}(-2+6\xi) & -\frac{x}{L}(-2+6\xi) & 0 & \frac{\Omega'}{L} & \frac{\Omega'}{L} & \frac{\Omega''}{L} \\
 0 & 0 & 0 & 0 & 0 & -\frac{1}{L}(y+\frac{\partial \omega}{\partial x}) & \frac{\partial \Omega'}{\partial x}\xi & \frac{\partial \Omega'}{\partial x}\xi & \frac{\partial \Omega''}{\partial x}\xi \\
 0 & 0 & 0 & 0 & 0 & \frac{1}{L}(x-\frac{\partial \omega}{\partial y}) & \frac{\partial \Omega'}{\partial y}\xi & \frac{\partial \Omega'}{\partial y}\xi & \frac{\partial \Omega''}{\partial y}\xi
 \end{bmatrix}$$

Δu_1	Δv_1	Δw_{01}	$-\Delta v_1'$	$\Delta u_1'$	$\Delta \vartheta_1$	Δw_{11}	Δu_2	Δv_2	Δw_{02}	$-\Delta v_2'$	$\Delta u_2'$	$\Delta \vartheta_2$	Δw_{12}	...	
6a	0	0	0	3La	0	0	-6a	0	0	0	3La	0	0	0	...
	6b	0	-3Lb	0	0	0	0	-6b	0	-3Lb	0	0	0	0	...
		c	0	0	0	0	0	0	-c	0	0	0	0	0	...
			$2L^2b$	0	0	$-k^j$	0	3Lb	0	L^2b	0	0	k^j	0	...
				$2L^2a$	0	h^j	$-3La$	0	0	0	L^2a	0	$-h^j$	0	...
					d	$-g^j$	0	0	0	0	0	-d	$-g^j$	0	...
					:	:	:	:	:	:	:	:	:	:	...
					$\dots e^{j1} + 2f^{j1} \dots$	0	0	0	0	k^j	$-h^j$	g^j	$\dots -e^{j1} + f^{j1} \dots$	0	...
					:	:	:	:	:	:	:	:	:	:	...
						6a	0	0	0	0	-3La	0	0	0	...
							6b	0	0	3Lb	0	0	0	0	...
								c	0	0	0	0	0	0	...
									$2L^2b$	0	0	0	$-k^j$	0	...
										$2L^2a$	0	0	h^j	0	...
											d	0	g^j	0	...
												:	:	:	...
													$\dots e^{j1} + 2f^{j1} \dots$	0	...
													:	:	...

s i m e t r i c n o

$$K_L =$$

pri čemu su:

$$\begin{aligned}
 a &= \frac{2}{L^3} EI_{xx} \\
 b &= \frac{2}{L^3} EI_{yy} \\
 c &= \frac{1}{L} EF \\
 d &= \frac{1}{L} GI_h \\
 e^{ij} &= \frac{1}{L} EI_{\Omega'_i \Omega'_j} \\
 f^{ij} &= \frac{1}{6} G (I_{\Omega'_i x \Omega'_j x} + I_{\Omega'_i y \Omega'_j y}) \\
 g^j &= \frac{1}{2} G (I_{x \Omega'_j y} - I_{y \Omega'_j x}) \\
 h^j &= -\frac{1}{L} EI_{x \Omega'_j} \\
 k^j &= -\frac{1}{L} EI_{y \Omega'_j}
 \end{aligned} \tag{2.58}$$

$i, j = 1, 2, \dots, n$

2.4.4 GEOMETRIJSKA MATRICA KRUTOSTI

Polazeći od izraza (2.35) i (2.36) za nelinearnu matricu transformacije \mathbf{B}_{NL} , kako je to već ranije pokazano, dobija se:

$$\mathbf{B}_{NL} = \begin{bmatrix}
 0 & 0 & \mathbf{N} & 0 & 0 & \dots & 0 & \dots & 0 \\
 -\mathbf{N}'_u & 0 & -\frac{\partial \omega}{\partial x} \mathbf{N}' & 0 & \frac{\partial \Omega^1}{\partial x} \mathbf{N} & \dots & \frac{\partial \Omega^i}{\partial x} \mathbf{N} & \dots & \frac{\partial \Omega^n}{\partial x} \mathbf{N} \\
 0 & 0 & -\mathbf{N} & 0 & 0 & \dots & 0 & \dots & 0 \\
 0 & -\mathbf{N}'_v & -\frac{\partial \omega}{\partial y} \mathbf{N}' & 0 & \frac{\partial \Omega^1}{\partial y} \mathbf{N} & \dots & \frac{\partial \Omega^i}{\partial y} \mathbf{N} & \dots & \frac{\partial \Omega^n}{\partial y} \mathbf{N} \\
 \mathbf{N}'_u & 0 & -y \mathbf{N}' & 0 & 0 & \dots & 0 & \dots & 0 \\
 0 & \mathbf{N}'_v & x \mathbf{N}' & 0 & 0 & \dots & 0 & \dots & 0 \\
 -x \mathbf{N}''_u & -y \mathbf{N}''_v & 0 & \mathbf{N}' & \Omega^1 \mathbf{N}' & \dots & \Omega^i \mathbf{N}' & \dots & \Omega^n \mathbf{N}'
 \end{bmatrix} \tag{2.59}$$

Matrica Cauchyjevih napona data je izrazom (2.37), pa dalje sledi:

$$\begin{array}{r}
 x\tau_x(N_{i1} + N_{11}^T) \quad x\tau_y N_{13} + y\tau_x N_{14} \quad x\left(\frac{\partial\omega}{\partial x}\tau_x + \frac{\partial\omega}{\partial y}\tau_y\right)N_5 \\
 (x^2 N_1 + N_9)\sigma \quad xy\sigma N_8 \quad -\tau_y N_{15} - y\sigma N_{16} \\
 y\tau_y(N_{12} + N_{12}^T) \quad y\left(\frac{\partial\omega}{\partial x}\tau_x + \frac{\partial\omega}{\partial y}\tau_y\right)N_6 \\
 (y^2 N_2 + N_{10})\sigma \quad \tau_x N_{17} + x\sigma N_{18} \\
 (x\tau_x + y\tau_y)(N_7 + N_7^T) \\
 (x^2 + y^2)\sigma N_4
 \end{array}
 \begin{array}{r}
 -\tau_x N_{18} - x\sigma N_5 \\
 -\tau_y N_{18} - y\sigma N_6 \\
 -\left(\frac{\partial\omega}{\partial x}\tau_x + \frac{\partial\omega}{\partial y}\tau_y\right)N_4 \\
 \sigma N_4 \\
 \Omega' \sigma N_4 \\
 \vdots \\
 \Omega' \left(\frac{\partial\Omega'}{\partial x}\tau_x + \frac{\partial\Omega'}{\partial y}\tau_y\right)N_7 \\
 \dots \quad \Omega' \left(\frac{\partial\Omega'}{\partial x}\tau_x + \frac{\partial\Omega'}{\partial y}\tau_y\right)N_7 \quad \dots \\
 \Omega' \sigma N_4 \\
 \vdots
 \end{array}
 \begin{array}{r}
 \dots \\
 -x\left(\frac{\partial\Omega'}{\partial x}\tau_x + \frac{\partial\Omega'}{\partial y}\tau_y\right)N_{19} \\
 \dots \\
 -\Omega' \tau_x N_{18}^T - x\Omega' \sigma N_5 \\
 \dots \\
 -y\left(\frac{\partial\Omega'}{\partial x}\tau_x + \frac{\partial\Omega'}{\partial y}\tau_y\right)N_{20} \\
 \dots \\
 -\Omega' \tau_y N_{18}^T - y\Omega' \sigma N_6 \\
 \dots \\
 -\Omega' \left(\frac{\partial\omega}{\partial x}\tau_x + \frac{\partial\omega}{\partial y}\tau_y\right)N_4 \\
 \dots \\
 \left(\frac{\partial\Omega'}{\partial x}\tau_x + \frac{\partial\Omega'}{\partial y}\tau_y\right)N_7 \\
 \dots \\
 \Omega' \sigma N_4 \\
 \vdots \\
 \Omega' \left(\frac{\partial\Omega'}{\partial x}\tau_x + \frac{\partial\Omega'}{\partial y}\tau_y\right)N_7 \\
 \dots \\
 \Omega' \left(\frac{\partial\Omega'}{\partial x}\tau_x + \frac{\partial\Omega'}{\partial y}\tau_y\right)N_7 \quad \dots \\
 \Omega' \sigma N_4 \\
 \vdots
 \end{array}$$

s i m e t r i ç n o

$$B_{NL}^T \sigma B_{NL} =$$

Pored oznaka N_1, N_2, \dots, N_8 čije je značenje određeno izrazima (2.52), radi kraćeg pisanja, uvedene su i sledeće oznake:

$$\begin{aligned}
 N_9 &= N_u'^T N_u' \\
 N_{10} &= N_v'^T N_v' \\
 N_{11} &= N_u''^T N_u'' \\
 N_{12} &= N_v''^T N_v'' \\
 N_{13} &= N_u''^T N_v' \\
 N_{14} &= N_u'^T N_v'' \\
 N_{15} &= N_u'^T N \\
 N_{16} &= N_u'^T N' \\
 N_{17} &= N_v'^T N \\
 N_{18} &= N_v'^T N' \\
 N_{19} &= N_u''^T N \\
 N_{20} &= N_v''^T N
 \end{aligned}
 \tag{2.61}$$

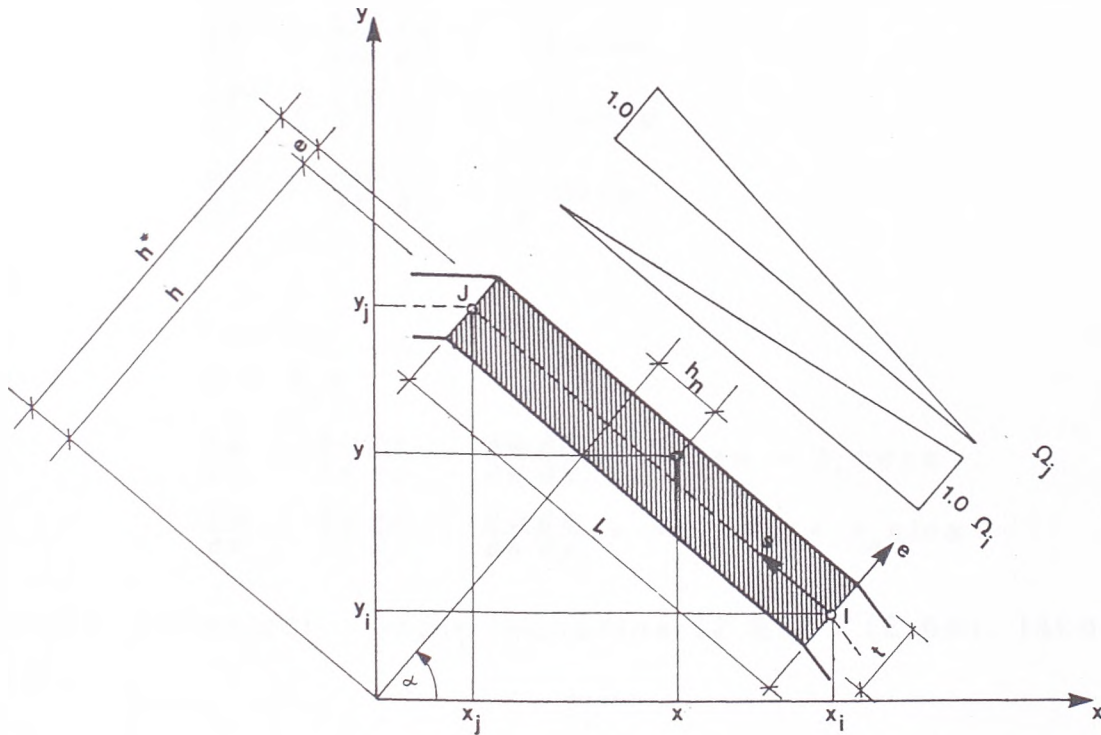
Integracijom pojedinih članova matrice (2.60), nekom od metoda numeričke integracije, o čemu će biti više reči kasnije, dobijamo geometrijsku matricu krutosti elementa.

2.5 GEOMETRIJSKE KARAKTERISTIKE PRESEKA

Integrali određeni jednačinama (2.29) mogu se sračunati eksplicitno u funkciji geometrijskih karakteristika poprečnog preseka. Ceo postupak proračuna može se lako automatizovati. Za ulazne podatke potrebno je uneti koordinate čvornih tačaka i debljine zidova svake strane poligonalnog preseka.

Posmatrajmo stranu ij poligonalnog profila, (sl.7). Mogu se uspostaviti sledeće relacije:

$$\begin{aligned}
 l &= \sqrt{(x_i - x_j)^2 + (y_i - y_j)^2} \\
 \cos \alpha &= \frac{1}{l}(y_j - y_i) \\
 \sin \alpha &= \frac{1}{l}(x_i - x_j) \\
 h &= \frac{1}{l}|y_i x_j - y_j x_i|
 \end{aligned}
 \tag{2.62}$$



sl.7

Pored koordinatnog sistema čije se ose x i y poklapaju sa glavnim težišnim osama inercije uvodi se l koordinatni sistem vezan za srednju liniju preseka. Veza izmedju odgovarajućih koordinata data je izrazima:

$$\begin{aligned}
 x &= x_j + s \sin \alpha + e \cos \alpha \\
 y &= y_j + s \cos \alpha + e \sin \alpha
 \end{aligned}
 \tag{2.63}$$

Takodje, važe i sledeće relacije:

$$\begin{aligned}
 h^* &= x \cos \alpha + y \sin \alpha \\
 h_n &= x \sin \alpha - y \cos \alpha
 \end{aligned}
 \tag{2.64}$$

Kako je:

$$\begin{aligned} \Omega' &= 1 - \frac{s}{l} \\ \Omega' &= \frac{s}{l} \\ \frac{\partial \Omega'}{\partial x} &= \frac{\partial \Omega'}{\partial s} \frac{\partial s}{\partial x} = \frac{1}{l} \sin \alpha \\ \frac{\partial \Omega'}{\partial x} &= \frac{\partial \Omega'}{\partial s} \frac{\partial s}{\partial x} = -\frac{1}{l} \sin \alpha \\ \frac{\partial \Omega'}{\partial y} &= \frac{\partial \Omega'}{\partial s} \frac{\partial s}{\partial y} = -\frac{1}{l} \cos \alpha \\ \frac{\partial \Omega'}{\partial y} &= \frac{\partial \Omega'}{\partial s} \frac{\partial s}{\partial y} = \frac{1}{l} \cos \alpha \end{aligned} \quad (2.65)$$

i:

$$\begin{aligned} \omega &= h_n e \\ \frac{\partial \omega}{\partial x} &= \frac{\partial \omega}{\partial s} \frac{\partial s}{\partial x} + \frac{\partial \omega}{\partial e} \frac{\partial e}{\partial x} = e \sin \alpha + h_n \cos \alpha \\ \frac{\partial \omega}{\partial y} &= \frac{\partial \omega}{\partial s} \frac{\partial s}{\partial y} + \frac{\partial \omega}{\partial e} \frac{\partial e}{\partial y} = -e \cos \alpha + h_n \sin \alpha \end{aligned} \quad (2.66)$$

to se, uzimajući u obzir jednačine (2.63) i (2.64), lako dobija:

$$\begin{aligned} F &= \sum l t \\ S_{\Omega', x} &= \sum \pm t s \sin \alpha \\ S_{\Omega', y} &= \sum \mp t c \cos \alpha \\ S_{\omega, x} &= \sum (x_i l t \sin \alpha \cos \alpha - y_i l t \cos^2 \alpha - \frac{1}{2} l^2 t \cos \alpha) \\ S_{\omega, y} &= \sum (x_i l t \sin^2 \alpha - y_i l t \sin \alpha \cos \alpha - \frac{1}{2} l^2 t \sin \alpha) \\ I_{xx} &= \sum [\frac{1}{4} (x_i + x_i)^2 l t + \frac{1}{12} l t^3 \cos^2 \alpha + \frac{1}{12} l^3 t \sin^2 \alpha] \\ I_{yy} &= \sum [\frac{1}{4} (y_i + y_i)^2 l t + \frac{1}{12} l t^3 \sin^2 \alpha + \frac{1}{12} l^3 t \cos^2 \alpha] \\ I_h &= \sum (h^2 l t + \frac{1}{3} l t^3) \\ I_{x\Omega'} &= \sum (\frac{1}{2} x_i l t \mp \frac{1}{6} l^2 t \sin \alpha) \\ I_{y\Omega'} &= \sum (\frac{1}{2} y_i l t \pm \frac{1}{6} l^2 t \cos \alpha) \end{aligned} \quad (2.67)$$

$$\begin{aligned}
 I_{x\Omega'_i y} &= \sum_i \mp (x_i t \cos \alpha - \frac{1}{2} l t \sin \alpha \cos \alpha) \\
 I_{y\Omega'_i x} &= \sum_i \pm (y_i t \sin \alpha + \frac{1}{2} l t \sin \alpha \cos \alpha) \\
 I_{\Omega'_i \Omega'_i} &= \sum_i \frac{1}{3} l t \\
 I_{\Omega'_i \Omega'_i} &= \frac{1}{6} l t \\
 I_{\Omega'_i x \Omega'_i x} &= \sum_i \frac{t}{l} \sin^2 \alpha \\
 I_{\Omega'_i y \Omega'_i y} &= \sum_i \frac{t}{l} \cos^2 \alpha \\
 I_{\Omega'_i x \Omega'_i x} &= -\frac{t}{l} \sin^2 \alpha \\
 I_{\Omega'_i y \Omega'_i y} &= -\frac{t}{l} \cos^2 \alpha
 \end{aligned}$$

U gornjim izrazima sa \sum_i označen je zbir po stranama poligona koje se susstiču u čvoru i , a sa \sum zbir po svim stranama poligonalnog preseka. U izrazima ispred kojih stoje dva znaka gornji znak odnosi se na slučaj kada je čvor i prvi čvor posmatrane strane poligona, pri čemu je potrebno voditi računa o konvenciji obeležavanja čvorova.

2.6 MODIFIKACIJA MATRICE KRUTOSTI ELEMENTA

Parametri pomeranja $\Delta \mathbf{q}_p$ srednjeg neopterećenog čvora, konačnog elementa l , mogu se pre formiranja globalne matrice krutosti eliminisati, tako što će se izraziti preko parametara pomeranja krajnjih čvorova $\Delta \mathbf{q}_n$. Na taj način dobija se kondenzovana matrica krutosti elementa sa smanjenim ukupnim brojem nepoznatih parametara.

Pošto su parametri pomeranja, koji odgovaraju susednim stepenima slobode pomeranja $\Delta \mathbf{q}_p$ srednjeg čvora, grupisani na kraju odgovarajuće matrice:

$$\begin{bmatrix} \Delta \mathbf{F}_n \\ \Delta \mathbf{F}_p \end{bmatrix} = \begin{bmatrix} \Delta \mathbf{K}_{nn} & \Delta \mathbf{K}_{np} \\ \Delta \mathbf{K}_{pn} & \Delta \mathbf{K}_{pp} \end{bmatrix} \begin{bmatrix} \Delta \mathbf{q}_n \\ \Delta \mathbf{q}_p \end{bmatrix} \quad (2.68)$$

i pošto je vektor čvornih sila $\Delta \mathbf{F}_p$ jednak null, to sledi:

$$\Delta \mathbf{q}_p = -\mathbf{K}_{pp}^{-1} \mathbf{K}_{pn} \Delta \mathbf{q}_n \quad (2.69)$$

Kada se jednačina (2.69) uvrsti u (2.68,1) dobija se:

$$\Delta \mathbf{F}_n = (\mathbf{K}_{nn} - \mathbf{K}_{np} \mathbf{K}_{pp}^{-1} \mathbf{K}_{pn}) \Delta \mathbf{q}_n \quad (2.70)$$

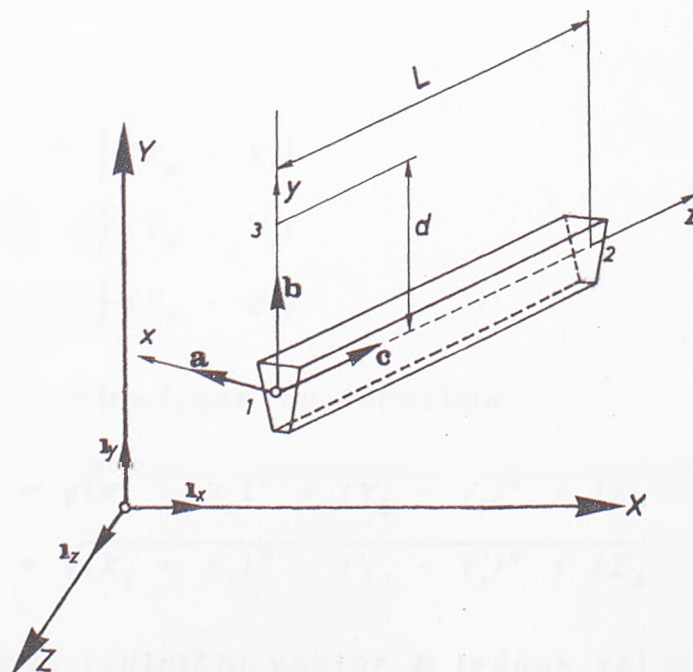
odakle sledi izraz za modifikovanu matricu krutosti elementa:

$$\mathbf{K} = \mathbf{K}_{nn} - \mathbf{K}_{np} \mathbf{K}_{pp}^{-1} \mathbf{K}_{pn} \quad (2.71)$$

2.7 MATRICA TRANSFORMACIJE

2.7.1 MATRICA TRANSFORMACIJE ZA POČETNU KONFIGURACIJU ELEMENTA

Matrica transformacije uspostavlja vezu izmedju glavnih osa inercije elementa, koje istovremeno definišu ose lokalnog koordinatnog sistema xyz , i osa globalnog koordinatnog sistema XYZ . Posmatra se proizvoljan element u početnoj konfiguraciji, u vremenskom trenutku $t=0$, (sl.8).



sl.8

Matrica transformacije potrebna u inkrementalnom postupku biće definisana u sledećem poglavlju.

Date su globalne koordinate tri tačke: dve čvorne tačke 1 i 2 na krajevima elementa i proizvoljne tačke 3 u ravni poprečnog preseka 1 koja određuje položaj koordinatne ose y . Ako sa (a_x, a_y, a_z) , (b_x, b_y, b_z) i (c_x, c_y, c_z) označimo projekcije jediničnih vektora \mathbf{a} , \mathbf{b} i \mathbf{c} lokalnih koordinatnih osa na ose globalnog koordinatnog sistema, određene jediničnim vektorima \mathbf{l}_x , \mathbf{l}_y i \mathbf{l}_z , matrica transformacije data je izrazom:

$$\mathbf{t} = \begin{bmatrix} a_x & a_y & a_z \\ b_x & b_y & b_z \\ c_x & c_y & c_z \end{bmatrix} \quad (2.72)$$

gde su:

$$\begin{aligned} c_x &= \frac{1}{L} (X_2 - X_1) \\ c_y &= \frac{1}{L} (Y_2 - Y_1) \\ c_z &= \frac{1}{L} (Z_2 - Z_1) \end{aligned} \quad (2.73)$$

i:

$$\begin{aligned} b_x &= \frac{1}{d} (X_3 - X_1) \\ b_y &= \frac{1}{d} (Y_3 - Y_1) \\ b_z &= \frac{1}{d} (Z_3 - Z_1) \end{aligned} \quad (2.74)$$

Veličine L i d određene su izrazima:

$$\begin{aligned} L &= \sqrt{(X_2 - X_1)^2 + (Y_2 - Y_1)^2 + (Z_2 - Z_1)^2} \\ d &= \sqrt{(X_3 - X_1)^2 + (Y_3 - Y_1)^2 + (Z_3 - Z_1)^2} \end{aligned} \quad (2.75)$$

Iz uslova da je jedinični vektor \mathbf{a} jednak vektorskom proizvodu vektora \mathbf{b} i \mathbf{c} dobija se:

$$\mathbf{a} = \mathbf{b} \times \mathbf{c} = \begin{bmatrix} \mathbf{l}_X & \mathbf{l}_Y & \mathbf{l}_Z \\ b_X & b_Y & b_Z \\ c_X & c_Y & c_Z \end{bmatrix} = a_X \mathbf{l}_X + a_Y \mathbf{l}_Y + a_Z \mathbf{l}_Z$$

gde su:

$$\begin{aligned} a_X &= b_Y c_Z - b_Z c_Y \\ a_Y &= b_Z c_X - b_X c_Z \\ a_Z &= b_X c_Y - b_Y c_X \end{aligned} \quad (2.77)$$

Sa ovako definisanom matricom transformacije veza između jediničnih vektora lokalnih i globalnih koordinatnih osa glasi:

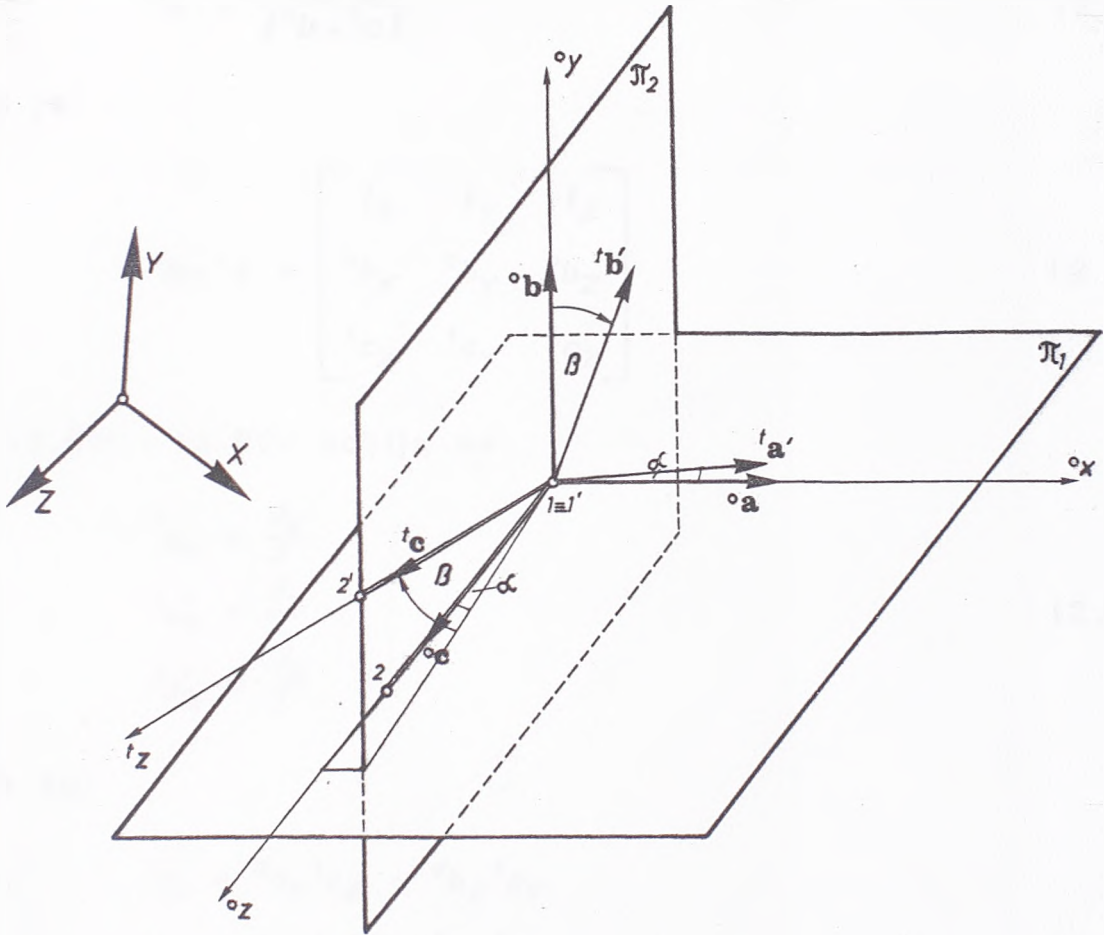
$$\begin{bmatrix} \mathbf{a} \\ \mathbf{b} \\ \mathbf{c} \end{bmatrix} = \mathbf{t} \begin{bmatrix} \mathbf{l}_X \\ \mathbf{l}_Y \\ \mathbf{l}_Z \end{bmatrix} \quad (2.78)$$

2.7.2 MATRICA TRANSFORMACIJE U UPDATED LAGRANGEOVOM INKREMENTALNOM POSTUPKU

Updated Lagrangeov inkrementalni postupak zahteva nalaženje matrice transformacije za svaki naredni korak proračuna. Pretpostavlja se da je poznat položaj lokalnog koordinatnog sistema, za početnu konfiguraciju elementa u vremenskom trenutku $\tau=0$, u odnosu na globalni koordinatni sistem. Matrica transformacije za konfiguraciju u proizvoljnom vremenskom trenutku $\tau=t$, koristeći Eulerove uglove rotacija, koji lokalne koordinatne ose iz položaja u vremenskom trenutku $\tau=0$ prevode u položaj u trenutku $\tau=t$, može se pisati u obliku:

$${}^t_t = {}^t_t R {}^t_t K \quad (2.79)$$

Matrica transformacije ${}^t t^K$ uključuje rotacije oko osa određenih jediničnim vektorima ${}^o b$ i ${}^t a'$, koje čvorove 1 i 2 elementa, iz položaja u vremenskom trenutku $\tau=0$, prevode u položaj u vremenskom trenutku $\tau=t$, (sl.9).



sl.9

Matrica ${}^t t^K$ data je izrazom:

$${}^t t^K = \begin{bmatrix} {}^t a'_x & {}^t a'_y & {}^t a'_z \\ {}^t b'_x & {}^t b'_y & {}^t b'_z \\ {}^t c'_x & {}^t c'_y & {}^t c'_z \end{bmatrix} \quad (2.80)$$

Projekcije jediničnog vektora ${}^t e$ na globalne koordinatne ose određene su izrazima (2.73) i (2.75,1), pri čemu se globalne

koordinate tačkaka 1 i 2 elementa sada odnose na proizvoljan vremenski trenutak t .

Globalne projekcije jediničnog vektora ${}^t\mathbf{a}'$ mogu se odrediti polazeći od relacije:

$${}^t\mathbf{a}' = \frac{{}^0\mathbf{b}_x {}^t\mathbf{c}}{\|{}^0\mathbf{b}_x {}^t\mathbf{c}\|} \quad (2.81)$$

gde je:

$${}^0\mathbf{b}_x {}^t\mathbf{c} = \begin{bmatrix} I_X & I_Y & I_Z \\ {}^0b_X & {}^0b_Y & {}^0b_Z \\ {}^tc_X & {}^tc_Y & {}^tc_Z \end{bmatrix} \quad (2.82)$$

iz (2.81) i (2.82) dobija se:

$$\begin{aligned} {}^t a'_X &= \frac{J_X}{J} \\ {}^t a'_Y &= \frac{J_Y}{J} \\ {}^t a'_Z &= \frac{J_Z}{J} \end{aligned} \quad (2.83)$$

gde su:

$$\begin{aligned} J_X &= {}^0b_Y {}^tc_Z - {}^0b_Z {}^tc_Y \\ J_Y &= {}^0b_Z {}^tc_X - {}^0b_X {}^tc_Z \\ J_Z &= {}^0b_X {}^tc_Y - {}^0b_Y {}^tc_X \end{aligned} \quad (2.84)$$

i:

$$J = \sqrt{J_X^2 + J_Y^2 + J_Z^2} \quad (2.85)$$

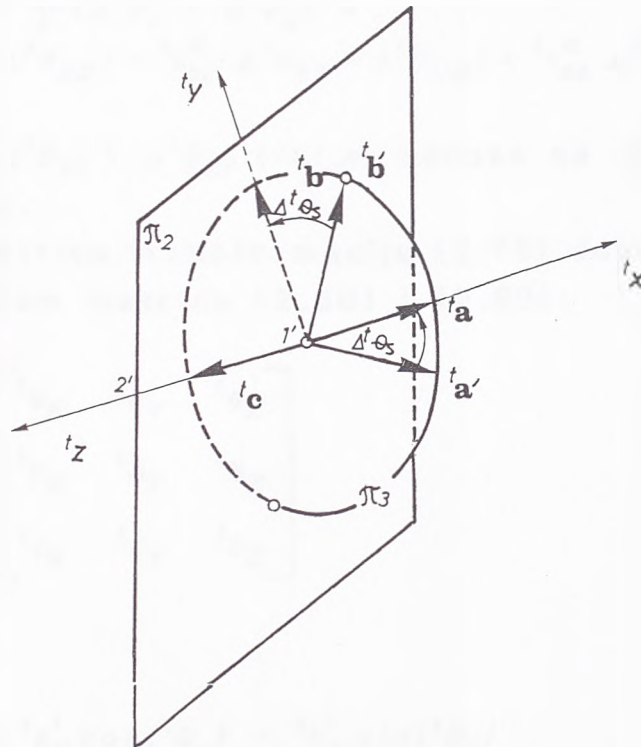
Koristeći izraz:

$${}^t\mathbf{b}' = {}^t\mathbf{c}_x {}^t\mathbf{a}' \quad (2.86)$$

projekcije jediničnog vektora ${}^t\mathbf{b}'$, na globalne koordinatne ose,

date su jednačinama:

$$\begin{aligned} {}^t b'_X &= {}^t c_Y {}^t a'_Z - {}^t c_Z {}^t a'_Y \\ {}^t b'_Y &= {}^t c_Z {}^t a'_X - {}^t c_X {}^t a'_Z \\ {}^t b'_Z &= {}^t c_X {}^t a'_Y - {}^t c_Y {}^t a'_X \end{aligned} \quad (2.87)$$



sl.10

Matrica transformacije ${}^t t^R$ određuje rotaciju elementa ${}^t g_s$ oko njegove aksijalne ose, u konfiguraciji u trenutku vremena $\tau=t$. Ovom rotacijom ose određene jediničnim vektorima ${}^t a'$ i ${}^t b'$ prevode se u ose t_x i t_y , određene jediničnim vektorima ${}^t a$ i ${}^t b$:

$${}^t t^R = \begin{bmatrix} \cos({}^t g_s) & \sin({}^t g_s) & 1 \\ -\sin({}^t g_s) & \cos({}^t g_s) & 0 \\ 0 & 0 & 0 \end{bmatrix} \quad (2.88)$$

Ugao obrtanja ${}^t g_s$, imajući u vidu da je njegova vrednost

Iz predhodnog koraka proračuna poznata, dobija se iz izraza:

$${}^t\vartheta_s = {}^{t-\Delta}{}^t\vartheta_s + \Delta{}^t\vartheta_s \quad (2.89)$$

$\Delta{}^t\vartheta_s$ pretstavlja srednju vrednost inkrementalnih uglova obrtanja krajnjih poprečnih preseka elementa:

$$\Delta{}^t\vartheta_s = \frac{1}{2}(\Delta{}^t\vartheta_1 + \Delta{}^t\vartheta_2) = \frac{1}{2}[{}^t t_{31}^K (\Delta{}^t\vartheta_{X1} + \Delta{}^t\vartheta_{X2}) + {}^t t_{32}^K (\Delta{}^t\vartheta_{Y1} + \Delta{}^t\vartheta_{Y2}) + {}^t t_{33}^K (\Delta{}^t\vartheta_{Z1} + \Delta{}^t\vartheta_{Z2})]$$

Veličine $\Delta{}^t\vartheta_{Xi}$, $\Delta{}^t\vartheta_{Yi}$ i $\Delta{}^t\vartheta_{Zi}$ ($i=1,2$) odnose se na globalni koordinatni sistem.

Tražena matrica transformacije (2.79) dobija se odgovarajućim množenjem matrica (2.80) i (2.88):

$${}^t t = \begin{bmatrix} {}^t a_X & {}^t a_Y & {}^t a_Z \\ {}^t b_X & {}^t b_Y & {}^t b_Z \\ {}^t c_X & {}^t c_Y & {}^t c_Z \end{bmatrix} \quad (2.91)$$

gde su:

$$\begin{aligned} {}^t a_X &= {}^t a'_X \cos({}^t\vartheta_s) + {}^t b'_X \sin({}^t\vartheta_s) \\ {}^t a_Y &= {}^t a'_Y \cos({}^t\vartheta_s) + {}^t b'_Y \sin({}^t\vartheta_s) \\ {}^t a_Z &= {}^t a'_Z \cos({}^t\vartheta_s) + {}^t b'_Z \sin({}^t\vartheta_s) \\ {}^t b_X &= {}^t b'_X \cos({}^t\vartheta_s) - {}^t a'_X \sin({}^t\vartheta_s) \\ {}^t b_Y &= {}^t b'_Y \cos({}^t\vartheta_s) - {}^t a'_Y \sin({}^t\vartheta_s) \\ {}^t b_Z &= {}^t b'_Z \cos({}^t\vartheta_s) - {}^t a'_Z \sin({}^t\vartheta_s) \end{aligned} \quad (2.92)$$

2.8 MATRICA KRUTOSTI KONAČNOG ELEMENTA U GLOBALNOM KOORDINATNOM SISTEMU

Označimo sa $\Delta\mathbf{q}^*$ vektor generalisanih pomeranja čiji su

elementi projekcije inkrementalnih parametara pomeranja krajnjih poprečnih preseka elementa u pravcima globalnih koordinatnih osa:

$$\Delta \mathbf{q} = [\Delta u_{X1} \ \Delta u_{Y1} \ \Delta u_{Z1} \ \Delta \psi_{X1} \ \Delta \psi_{Y1} \ \Delta \psi_{Z1} \ \Delta w_{11} \dots \Delta w_{i1} \dots \Delta w_{n1} \\ [\Delta u_{X2} \ \Delta u_{Y2} \ \Delta u_{Z2} \ \Delta \psi_{X2} \ \Delta \psi_{Y2} \ \Delta \psi_{Z2} \ \Delta w_{12} \dots \Delta w_{i2} \dots \Delta w_{n2}]^T$$

Veza izmedju vektora pomeranja u globalnom i lokalnom koordinatnom sistemu odredjena je relacijom:

$$\Delta \mathbf{q} = \mathbf{T} \Delta \mathbf{q}^* \quad (2.94)$$

gde je \mathbf{T} ukupna matrica transformacije koja se može predstaviti pomoću matrice transformacije date izrazom (2.91):

$$\mathbf{T} = \begin{bmatrix} \mathbf{t} & 0 & \dots & 0 & \dots & 0 & 0 & \dots & 0 & \dots \\ & \mathbf{t} & \dots & 0 & \dots & 0 & 0 & \dots & 0 & \dots \\ & & & \vdots & & \vdots & \vdots & & \vdots & \\ & & & \dots & 1 & \dots & 0 & \dots & 0 & \dots \\ & & & & \vdots & & \vdots & & \vdots & \\ & & & & & & \mathbf{t} & 0 & \dots & 0 & \dots \\ & & & & & & & \mathbf{t} & \dots & 0 & \dots \\ & & & & & & & & & \vdots & \\ & & & & & & & & & \dots & 1 & \dots \\ & & & & & & & & & & \vdots & \end{bmatrix} \quad (2.95)$$

Ako se sa $\Delta \mathbf{F}^*$ označi vektor čiji su elementi projekcije inkrementalnih čvornih sila konačnog elementa u pravcima globalnog koordinatnog sistema:

$$\Delta \mathbf{F}^* = [\Delta F_{X1} \ \Delta F_{Y1} \ \Delta F_{Z1} \ \Delta M_{X1} \ \Delta M_{Y1} \ \Delta M_{Z1} \ \Delta B_{11} \dots \Delta B_{i1} \dots \Delta B_{n1} \\ [\Delta F_{X2} \ \Delta F_{Y2} \ \Delta F_{Z2} \ \Delta M_{X2} \ \Delta M_{Y2} \ \Delta M_{Z2} \ \Delta B_{12} \dots \Delta B_{i2} \dots \Delta B_{n2}]^T$$

I koristeći uslov jednakosti virtualnog rada sila pri virtualnim pomeranjima, u odnosu na lokalni i globalni koordinatni sistem, dobija se:

$$\delta U = \delta \Delta \mathbf{q}^T \Delta \mathbf{F} = \delta \Delta \mathbf{q}^{*T} \Delta \mathbf{F}^* = \delta \Delta \mathbf{q}^{*T} \mathbf{T}^T \Delta \mathbf{F} \quad (2.97)$$

odnosno:

$$\Delta \mathbf{F}^* = \mathbf{T}^T \Delta \mathbf{F} \quad (2.98)$$

Koristeći izraze (2.94) i (2.98) mogu se uspostaviti veze između matrice krutosti elementa u lokalnom i globalnom koordinatnom sistemu:

$$\Delta \mathbf{F}^* = \mathbf{K}^* \Delta \mathbf{q}^* = \mathbf{T}^T \Delta \mathbf{F} = \mathbf{T}^T (\mathbf{K} \Delta \mathbf{q}) = \mathbf{T}^T \mathbf{K} \mathbf{T} \Delta \mathbf{q}^*$$

odnosno:

$$\mathbf{K}^* = \mathbf{T}^T \mathbf{K} \mathbf{T} \quad (2.99)$$

Matrica \mathbf{T} je ortogonalna, $\mathbf{T}^{-1} = \mathbf{T}^T$, pa se mogu pisati i inverzni oblici jednačina (2.94), (2.98) i (2.99):

$$\begin{aligned} \Delta \mathbf{q}^* &= \mathbf{T}^T \Delta \mathbf{q} \\ \Delta \mathbf{F} &= \mathbf{T} \Delta \mathbf{F}^* \\ \mathbf{K} &= \mathbf{T} \mathbf{K}^* \mathbf{T}^T \end{aligned} \quad (2.100)$$

2.9 SISTEMNA TAČKA PRESEKA

Kao što je već ranije napomenuto konačan element koji je opisan u ovom radu dozvoljava analizu sistema kombinovanih od tankozidnih elemenata otvorenog i zatvorenog poprečnog preseka. U opštem slučaju težišne tačke dva susedna elementa ne moraju se međusobno poklapati, pa je prethodno potrebno vektor pomeranja $\Delta \mathbf{q}$ transformisati u vektor $\Delta \mathbf{q}_s$, čije se sve komponente odnose na zajedničku, sistemnu tačku S preseka:

$$\Delta \mathbf{q} = \mathbf{T}_s \Delta \mathbf{q}_s \quad (2.101)$$

Ako se koordinate težišne tačke preseka, u odnosu na koordinatni sistem $x_s y_s$ paralelan glavnim osama inercije, obeleže sa x_c i y_c , mogu se uspostaviti sledeće relacije; za konačan elemenat I:

$$\begin{aligned}\Delta u &= \Delta u_s - y_c \Delta \vartheta_s \\ \Delta v &= \Delta v_s + x_c \Delta \vartheta_s \\ \Delta w_o &= \Delta w_{os} + y_c \psi_{xs} - x_c \psi_{ys} \\ \Delta \psi_x &= \Delta \psi_{xs} \\ \Delta \psi_y &= \Delta \psi_{ys} \\ \Delta \vartheta &= \Delta \vartheta_s \\ \Delta w_i &= \Delta w_{is} \quad i = 1, 2, \dots, n\end{aligned}\tag{2.102}$$

I za konačan elemenat II:

$$\begin{aligned}\Delta u &= \Delta u_s - y_c \Delta \vartheta_s \\ \Delta v &= \Delta v_s + x_c \Delta \vartheta_s \\ \Delta w_o &= \Delta w_{os} - y_c \Delta v'_s - x_c \Delta u'_s \\ -\Delta v' &= -\Delta v'_s - x_c \Delta \vartheta'_s \\ \Delta u' &= \Delta u'_s - y_c \Delta \vartheta'_s \\ \Delta \vartheta &= \Delta \vartheta_s \\ \Delta w_i &= \Delta w_{is} \quad i = 1, 2, \dots, n\end{aligned}\tag{2.103}$$

gde, s obzirom da smo usvojili linearnu promenu ugla obrtanja $\Delta \vartheta$ izmedju krajnjih čvorova elementa, možemo pisati:

$$\Delta \vartheta'_s = \frac{1}{L} (\Delta \vartheta_{s2} - \Delta \vartheta_{s1})\tag{2.104}$$

Izrazima (2.102) i (2.103) određene su matrice transformacije \mathbf{T}_s za konačan elemenat I i konačan elemenat II:

U izrazima (2.94), (2.98), (2.99) i (2.100) matricu transformacije \mathbf{T} treba zameniti matricom transformacije \mathbf{T}_u :

$$\mathbf{T}_u = \mathbf{T}\mathbf{T}_s \quad (2.105)$$

koja uspostavlja vezu izmedju lokalnog i globalnog koordinatnog sistema i istovremeno uključuje transformaciju svih komponentata na sistemnu tačku preseka.

2.10 MATRICA KRUTOSTI SISTEMA

U prethodnim poglavljima izvedena je matrica transformacije koja definiše položaje lokalnih koordinatnih sistema, u kojima je analiza elemenata najjednostavnija, u odnosu na zajednički globalni koordinatni sistem, čime su ujedno određene globalne matrice krutosti pojedinih elemenata.

Da bi se izvršila analiza kompletne konstrukcije neophodno je definisati matricu krutosti sistema. Matrica krutosti sistema $\hat{\mathbf{K}}$ dobija se kada se elementi matrice krutosti pojedinih elemenata, koji su izraženi preko oznaka čvorova u globalnom koordinatnom sistemu, postave na odgovarajuću poziciju unutar matrice sistema, i elementi koji padnu u istu poziciju saberu:

$$\hat{\mathbf{K}} = \sum_m \mathbf{K}_m^* \quad (2.106)$$

m označava ukupan broj elemenata u sistemu.

Na isti način formira se i vektor ravnotežnih čvornih sila sistema:

$$\hat{\mathbf{Q}} = \sum_m \mathbf{Q}_m^* \quad (2.107)$$

Lagrangeove inkrementalne jednačine ravnoteže sistema date su izrazom:

$$({}^t\hat{\mathbf{K}}_L + {}^t\hat{\mathbf{K}}_{NL})\Delta\hat{\mathbf{q}} = {}^{t+\Delta t}\hat{\mathbf{R}} - {}^t\hat{\mathbf{Q}} \quad (2.108)$$

gde je sa $\Delta \hat{\mathbf{q}}$ označen vektor generalisanih parametara pomeranja čvorova sistema u odnosu na globalni koordinatni sistem. U oslonačkim čvorovima odgovarajuća pomeranja su poznata, što smanjuje ukupan broj nepoznatih, a samim tim i ukupan broj jednačina sistema.

2.11 VEKTOR ČVORNIH SILA I NUMERIČKA INTEGRACIJA

Drugi član na desnoj strani inkrementalnih jednačina ravnoteže sistema (2.108) predstavlja vektor ravnotežnih čvornih sila, koji izražen preko unutrašnjih napona, ima oblik:

$${}^t\hat{\mathbf{Q}} = \sum_m \iiint {}^t\mathbf{B}_L^T {}^t\hat{\boldsymbol{\sigma}} d{}^tV \quad (2.109)$$

Da bi sistem bio u ravnoteži ovaj vektor treba da bude jednak vektoru spoljnjih sila:

$${}^t\hat{\boldsymbol{\phi}} = {}^t\hat{\mathbf{R}} - {}^t\hat{\mathbf{Q}} = 0 \quad (2.110)$$

Uslovi (2.110) nisu ispunjeni u strogo matematičkom smislu, usled čega dolazi do odstupanja od tačnog rešenja, zavisno od stepena nelinearnosti problema.

Da bi se smanjio vektor neuravnoteženih čvornih sila ${}^t\hat{\boldsymbol{\phi}}$ vrše se iteracije sve dok se ne ispune postavljeni uslovi konvergencije.

Vektor čvornih sila i geometrijska matrica krutosti elementa dobijaju se numeričkom integracijom. U radu je korišćen Newton-Cotesov integracioni postupak sa maksimalno sedam ekvidistantnih integracionih tačaka duž ose elementa, maksimalno sedam integracionih tačaka duž svake strane poligonalnog preseka i tri integracione tačke po debljini poligonalne strane.

3. NUMERIČKI POSTUPAK REŠAVANJA GEOMETRIJSKI NELINEARNIH PROBLEMA

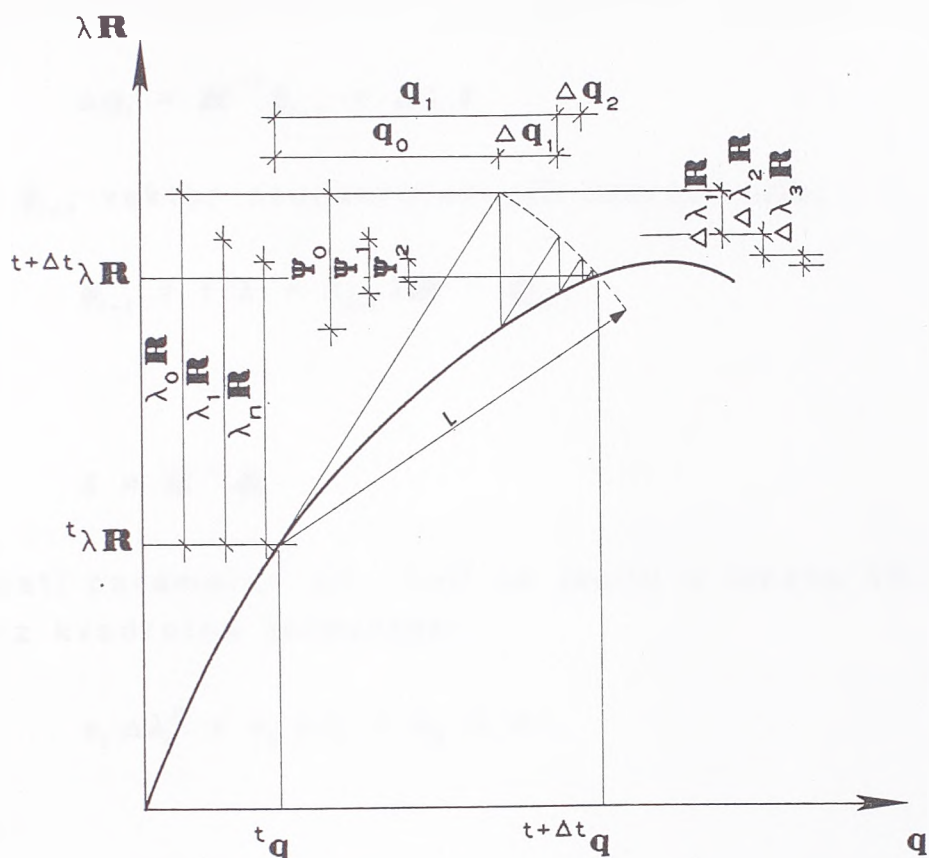
3.1 UVOD

Primenom principa virtualnih pomeranja, uz fizičku diskretizaciju sistema konačnim elementima, izvedene su osnovne inkrementalne forme jednačina ravnoteže sistema, linearne po inkrementima pomeranja. Problemi geometrijske nelinearnosti svode se sada na sukcesivno rešavanje sistema linearnih jednačina, primenom neke od brojnih metoda proračuna.

Klasičnim inkrementalno iterativnim metodama u opštem slučaju nije moguće dobiti rešenje u neposrednoj blizini granične tačke, bez obzira na veličinu inkrementa i broj iteracija, odnosno u područjima izrazitih nelinearnosti ove metode najčešće dovode do divergencije rešenja. Jedan od veoma efikasnih numeričkih postupaka rešavanja geometrijski nelinearnih problema, uz mogućnost analize predkritičnog i postkritičnog ponašanja konstrukcija, je metoda konstantnog luka koju je prvi predložio E. Ricks, a prilagodio metodi konačnih elemenata M. Crisfield. Ova metoda u kombinaciji sa metodom konstantnog inkrementa spoljnjeg rada primenjena je u ovom radu i u izabranim primerima dala je dobre rezultate.

3.2 METODA KONSTANTNOG LUKA

Inkrementalnim jednačinama ravnoteže (2.108) dodat je nov uslov kojim se preko zadate veličine I ograničavaju veličine inkrementa u $N+1$ dimenzionalnom prostoru. Kao nova nepoznata javlja se parametar λ , (sl.11).



sl.11

Iz (sl.11) sledi:

$$\begin{aligned}
 \mathbf{q}_i &= \mathbf{q}_{i-1} + \Delta \mathbf{q}_i \\
 {}^{t+\Delta t} \mathbf{q} &= {}^t \mathbf{q} + \mathbf{q}_n \\
 \lambda_i &= \lambda_{i-1} + \Delta \lambda_i \\
 {}^{t+\Delta t} \lambda &= {}^t \lambda + \lambda_n \quad i = 1, 2, \dots, n
 \end{aligned}
 \tag{3.1}$$

Dopunski uslov može se napisati u obliku:

$$\mathbf{q}_i^T \mathbf{q}_i + \lambda_i^2 \mathbf{R}^T \mathbf{R} = l^2
 \tag{3.2}$$

Ili, kako predlaže Crisfield:

$$\mathbf{q}_i^T \mathbf{q}_i = l^2
 \tag{3.3}$$

koristeći modifikovanu Newton-Raphsonovu metodu inkrementalna pomeranja dobijaju se iz jednačine:

$$\Delta \mathbf{q}_i = \mathbf{K}^{-1} \boldsymbol{\phi}_{i-1} + \Delta \lambda_i \boldsymbol{\delta} \quad (3.4)$$

gde je $\boldsymbol{\phi}_{i-1}$ vektor neuravnoteženih čvornih sila:

$$\boldsymbol{\phi}_{i-1} = (\lambda + \lambda_{i-1}) \mathbf{R} - \mathbf{Q}_{i-1} \quad (3.5)$$

i:

$$\boldsymbol{\delta} = \mathbf{K}^{-1} \mathbf{R} \quad (3.6)$$

Nepoznati parametar $\Delta \lambda_i$, koji se javlja u izrazu (3.4), dobija se iz kvadratne jednačine:

$$a_1 \Delta \lambda_i^2 + a_2 \Delta \lambda_i + a_3 = 0 \quad (3.7)$$

gde su:

$$\begin{aligned} a_1 &= \boldsymbol{\delta}^T \boldsymbol{\delta} \\ a_2 &= 2(\mathbf{q}_{i-1} + \mathbf{K}^{-1} \boldsymbol{\phi}_{i-1})^T \boldsymbol{\delta} \\ a_3 &= (\mathbf{q}_{i-1} + \mathbf{K}^{-1} \boldsymbol{\phi}_{i-1})^T (\mathbf{q}_{i-1} + \mathbf{K}^{-1} \boldsymbol{\phi}_{i-1}) - l^2 \end{aligned} \quad (3.8)$$

Od dva korena jednačine usvaja se onaj koji određuje pozitivan ugao između vektora \mathbf{q}_{i-1} i \mathbf{q}_i . Veličina l koja je u prvom inkreментu određena izrazom:

$$l = \lambda_0 \sqrt{\boldsymbol{\delta}^T \boldsymbol{\delta}} \quad (3.9)$$

u svakom sledećem ciklusu opterećenja određuje se tako da se uslov konvergencije zadovolji u približno istom broju iteracija:

$$l_i = l_{i-1} \frac{3+5}{J_{i-1}} \quad (3.10)$$

pri čemu je J_{i-1} broj iteracija u prethodnom ciklusu.

Početni parametar opterećenja λ_0 u okviru svakog inkrementa određjen je jednačinom:

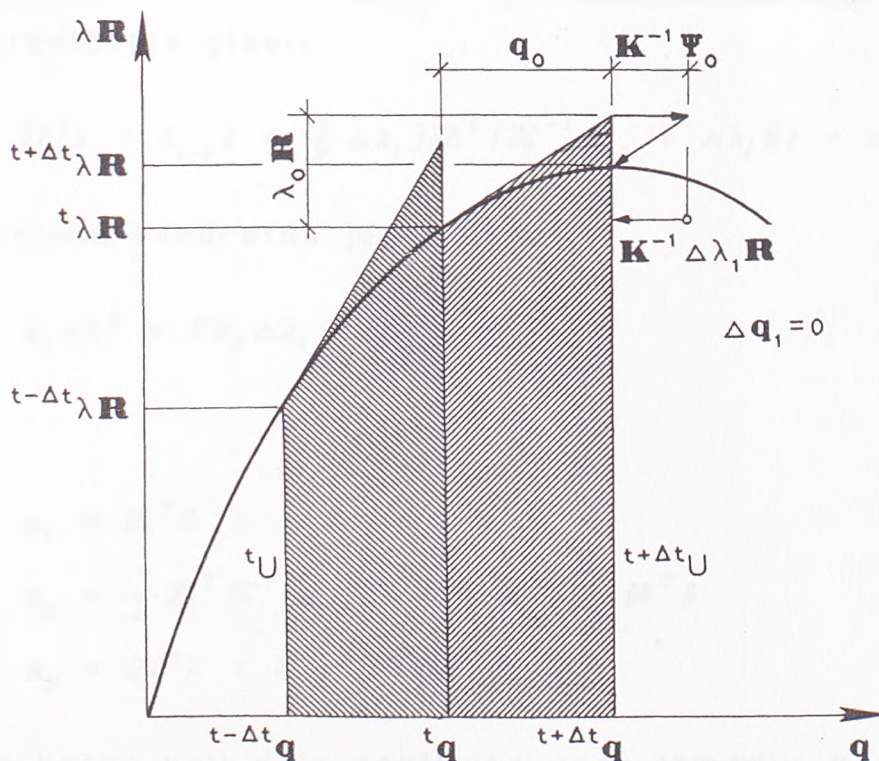
$$\lambda_0 = \pm \frac{1}{\sqrt{\delta^T \delta}} \quad (3.11)$$

Promena znaka uslovljena je promenom znaka inkrementalnog rada ΔU , čija se vrednost ispituje na početku svakog inkrementa opterećenja:

$$\Delta U = \delta^T \mathbf{R} \quad (3.12)$$

3.3 METODA KONSTANTNOG INKREMENTA SPOLJNJEG RADA

U blizini graničnih tačaka bolja konvergencija se postiže ako se umesto metode konačnog luka primeni metoda konstantnog inkrementa spoljnjeg rada, (sl.12).



sl.12

Ako sa $t+\Delta t U$ označimo inkrementalni rad spoljnjih sila, jednačina ograničenja (3.3), za prvu iteraciju u okviru posmatranog inkrementa, u ovom slučaju glasi:

$$({}^t\lambda + \frac{1}{2}\lambda_0)\lambda_0 \mathbf{R}^T \delta = {}^{t+\Delta t}U \quad (3.13)$$

čime je određena kvadratna jednačina po nepoznatom parametru opterećenja λ_0 :

$$a_1 \lambda_0^2 + 2a_2 \lambda_0 + a_3 = 0 \quad (3.14)$$

gde su:

$$\begin{aligned} a_1 &= \mathbf{R}^T \delta \\ a_2 &= {}^t\lambda \mathbf{R}^T \delta \\ a_3 &= -2 {}^{t+\Delta t}U \end{aligned} \quad (3.15)$$

Od dva moguća realna korena jednačine treba uzeti onaj koji je po apsolutnoj vrednosti manji. U sledećim iteracijama jednačina ograničenja glasi:

$$[({}^t\lambda + \lambda_{i-1}) + \frac{1}{2}\Delta\lambda_i] \mathbf{R}^T (\mathbf{K}^{-1} \phi_{i-1} + \Delta\lambda_i \delta) = 0 \quad (3.16)$$

a odgovarajuća kvadratna jednačina:

$$a_1 \Delta\lambda_i^2 + 2a_2 \Delta\lambda_i + a_3 = 0 \quad (3.17)$$

gde su:

$$\begin{aligned} a_1 &= \mathbf{R}^T \delta \\ a_2 &= \frac{1}{2} \mathbf{R}^T \mathbf{K}^{-1} \phi_{i-1} + ({}^t\lambda + \lambda_{i-1}) \mathbf{R}^T \delta \\ a_3 &= 2({}^t\lambda + \lambda_{i-1}) \mathbf{R}^T \mathbf{K}^{-1} \phi_{i-1} \end{aligned} \quad (3.18)$$

Usvaja se koren koji daje pozitivan ugao između \mathbf{q}_{i-1} i \mathbf{q}_i .

Prelazak sa metode konačnog luka na metodu konstantnog inkrementa spoljnjeg rada vrši se automatski kad je ispunjen uslov:

$$\text{abs}\left(\frac{\|{}^{t+\Delta t}U\|}{\|{}^tU\|} - 1\right) \leq 0.15 \pm 0.25 \quad (3.19)$$

Na početku svakog inkrementa određuje se vrednost inkrementalnog rada na osnovu njegove vrednosti iz prethodnog koraka proračuna:

$${}^{t+\Delta t}U = \frac{{}^t\lambda}{{}^{t-\Delta t}\lambda} {}^tU \quad (3.20)$$

gde je tU određeno jednačinom (3.13). Dalji postupak proračuna isti je kao i kod metode konstantnog luka.

3.4 KRITERIJUMI KONVERGENCIJE

Iterativni proces u okviru posmatranog inkrementa opterećenja smatramo okončanim kada se ispune postavljeni kriterijumi konvergencije:

$$\frac{\Delta \mathbf{q}_i^T [({}^t\lambda + \lambda_i) \mathbf{R} - \mathbf{Q}_{i-1}]}{\mathbf{q}_0^T [({}^t\lambda + \lambda_0) \mathbf{R} - {}^t\mathbf{Q}]} \leq ETOL \quad (3.21)$$

i:

$$\frac{\|({}^t\lambda + \lambda_i) \mathbf{R} - \mathbf{Q}_i\|_2}{\|({}^t\lambda + \lambda_0) \mathbf{R} - {}^t\mathbf{Q}\|_2} \leq RTOL \quad (3.22)$$

gde je sa $\| \cdot \|_2$ označena Euclideova norma, a sa $ETOL$ i $RTOL$ mere konvergencije koje se mogu programski zadati.

Kod Newton-Raphsonove metode, koja se takodje koristi u datom programu, u slučaju da konvergencija nije postignuta u zadatom broju iteracija, a proces nije divergentan, iterativni postupak se automatski ponavlja sa upola manjim inkrementom opterećenja.

4. BROJNI PRIMERI

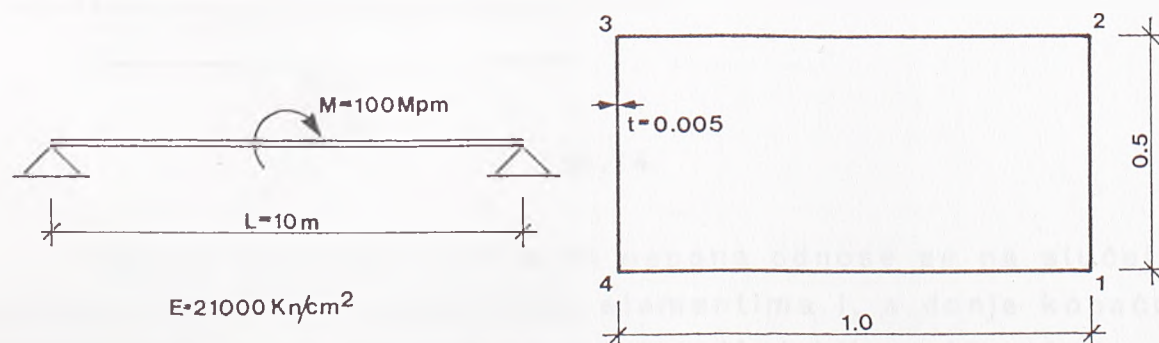
4.1 UVOD

Na osnovu teorijskih razmatranja u predhodnim poglavljima napisan je program *TEZOP*, čiji je listing sa opisom ulaznih podataka dat u prilogu, na kraju rada. Program je napisan u programskom jeziku *Fortran 77*.

Program se koristi za linearnu i nelinearnu analizu konstrukcija sastavljenih od nosača otvorenog i zatvorenog tankozidnog poprečnog preseka. U okviru geometrijski nelinearnih problema, moguće je analizirati i postkritično ponašanje konstrukcija.

Za ilustraciju svega do sada iznetog i radi provere napisanog programa uradjeno je nekoliko elementarnih primera, čija se rešenja mogu naći u literaturi. Za sve primere prikazani su samo karakteristični rezultati. Primeri su uradjeni na mikroračunaru *ATARI 1040ST*, memorije 1Mb.

4.2 PRIMER 1.



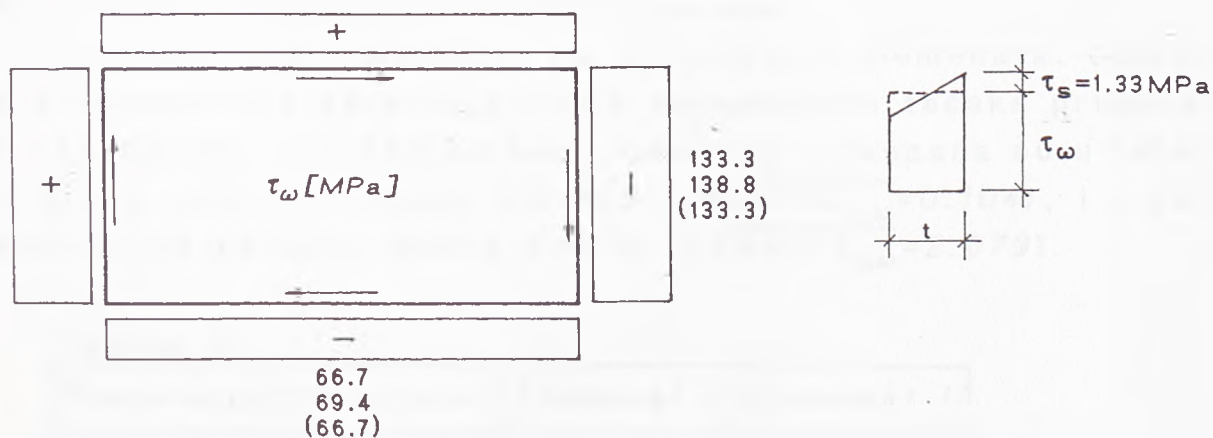
sl.13

Kao prvi primer izabran je tankozidni nosač sandučastog poprečnog preseka prikazanog na (sl.13). Nosač je vijluškasto oslonjen na krajevima. U sredini raspona opterećen je koncentrisanim momentom torzije M . Ugao obrtanja srednjeg poprečnog preseka ϑ , u zavisnosti od broja konačnih elemenata, i greška u odnosu na vrednost koja se dobija klasičnom teorijom tankozidnih nosača, dati su u tabeli 1.

Tabela 1.

Br. elem.	$\vartheta_{klas.}$	Element I		Element II	
		ϑ_I	Greška %	ϑ_{II}	Greška %
2	0.01419	0.01384	2.47	0.01387	2.25
4		0.01402	1.20	0.01404	1.06
6		0.01410	0.63	0.01410	0.63
8		0.01413	0.42	0.01413	0.42

Vrednosti smičućih napona τ_w , ravnomerno raspoređenih po debljini zida, pri aproksimaciji nosača sa 16 konačnih elemenata, prikazana su na (sl.14).

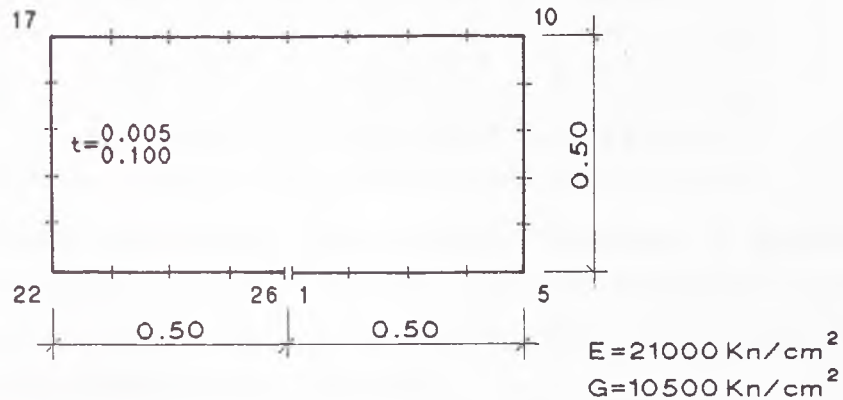


sl.14

Gornje vrednosti smičućih napona odnose se na slučaj aproksimacije nosača konačnim elementima I, a donje konačnim elementima II. U zagradi su vrednosti dobijene klasičnom teorijom.

4.3 PRIMER 2.

Rasecanjem nosača sa (sl.13) duž podužne izvodnice do-
bija se nosač otvorenog poprečnog preseka, (sl.15).



sl.15

Da bi dobili što tačniju raspodelu smičućih napona od o-
graničene torzije, ravnomerno rasporedjenih po debljini zida,
duž poprečnog preseka usvojeno je 26 čvornih tačaka. Izme-
dju čvornih tačaka, kao posledica usvojene pretpostavke o li-
nearnoj promeni funkcije deplanacije, smičući naponi od ogra-
ničene torzije su konstantni, i pretstavljaju srednje vrednos-
ti u opštem slučaju nelinearne promene.

Nosač je aproksimiran sa 16 konačnih elemenata. Obrta-
nje i pomeranja karakterističnih poligonalnih tačaka preseka,
na rastojanju $z=3.75m$ od levog oslonca, prikazana su u tabe-
li 2, za debljinu zidova $t=0.005$ ($L\sqrt{GK/EI_{\omega\omega}}=0.104$), i u ta-
beli 3, za debljinu zidova $t=0.10$ ($L\sqrt{GK/EI_{\omega\omega}}=2.079$).

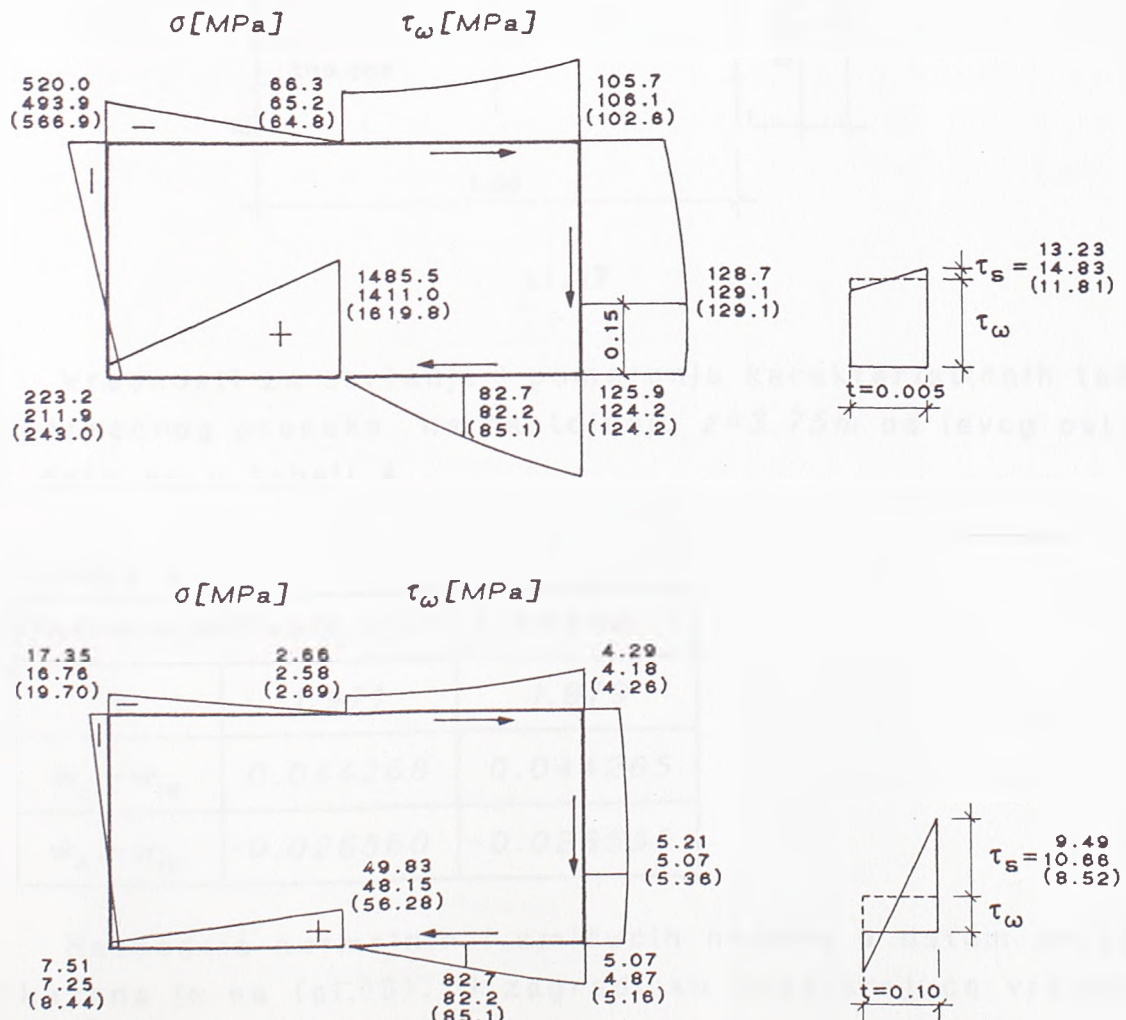
Tabela 2.

Pomeranja	Klasič.teor.	Element I	Element II
ϑ	0.1567	0.1658	0.1580
$w_{11} - w_{26}$	0.01125	0.01121	0.01065
$w_{51} - w_{22}$	0.00169	0.00172	0.00164
$w_{101} - w_{17}$	-0.00394	-0.00396	-0.00376

Tabela 3.

Pomeranja	Klasič.teor.	Element I	Element II
φ	0.00546	0.00567	0.00549
$w_1, -w_{26}$	4.06×10^{-4}	3.96×10^{-4}	3.82×10^{-4}
$w_5, -w_{22}$	6.09×10^{-5}	6.15×10^{-5}	5.93×10^{-5}
$w_{10}, -w_{17}$	-1.42×10^{-4}	-1.40×10^{-4}	-1.35×10^{-4}

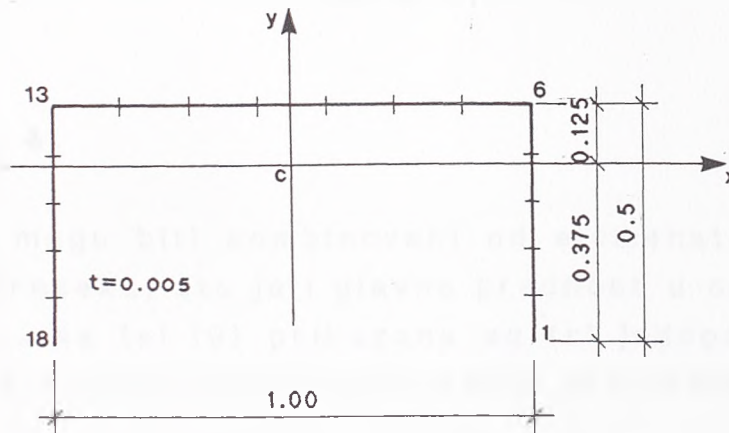
Raspodela smičućih i normalnih napona, u posmatranom preseku, prikazana je na (sl.16). Gornje vrednosti odnose se na elementat I, donje na elementat II, dok su u zagradi vrednosti dobijene klasičnom teorijom.



sl.16

4.4 PRIMER 3.

Posmatra se nosač, opterećen koncentrisanim momentom torzije koji deluje u sredini raspona, isto kao u predhodnom primeru, [-poprečnog preseka. Nosač je zamenjen sa 16 konačnih elemenata l. Duž stranica poprečnog preseka usvojeno je 18 čvornih tačaka u kojima se traže pomeranja izazvana deplanacijom, (sl.17). Kao što je već rečeno, veći broj čvornih tačaka daje tačniju raspodelu smičućih napona duž preseka.



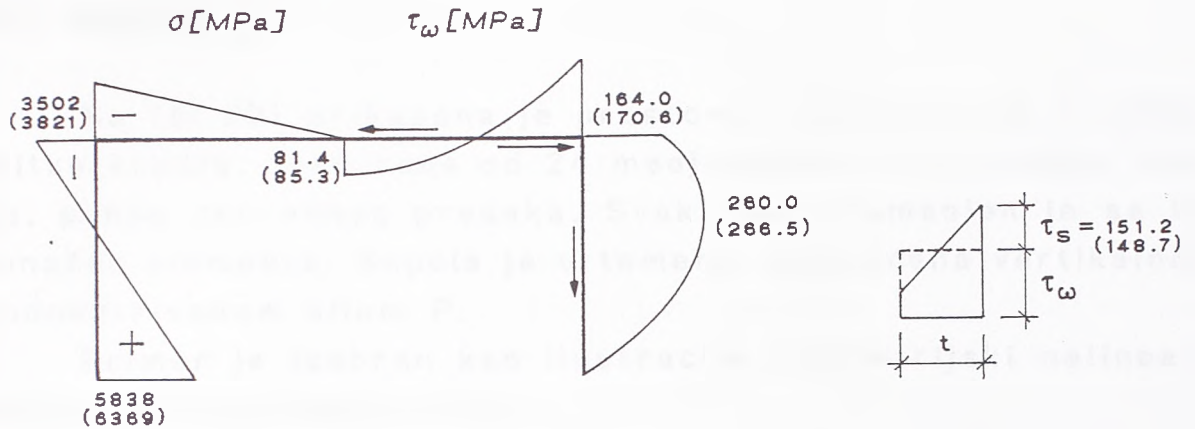
sl.17

Vrednosti za obrtanje i pomeranja karakterističnih tačaka poprečnog preseka, na rastojanju $z=3.75m$ od levog oslonca, data su u tabeli 4.

Tabela 4.

Pomeranja	Klasič.teor.	Element l
ϑ	1.971	1.979
$w_1, -w_{18}$	0.044268	0.044265
$w_6, -w_{13}$	-0.026560	-0.026555

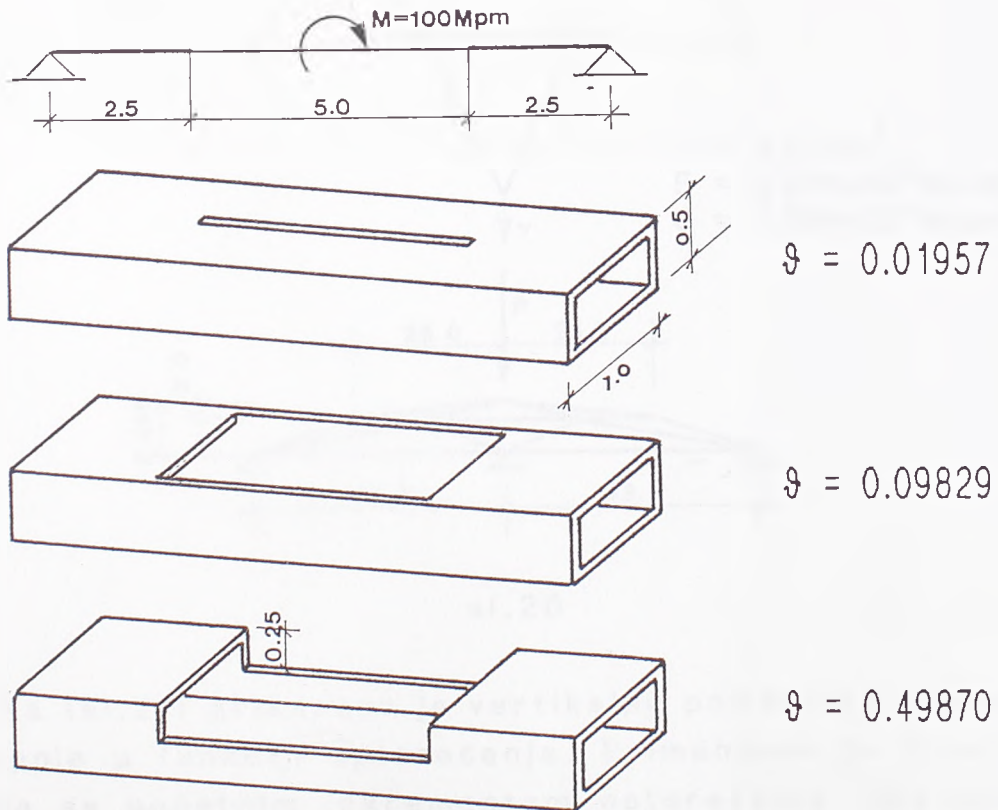
Raspodela normalnih i smičućih napona u datom preseku prikazana je na (sl.18). U zagradi su odgovarajuće vrednosti prema klasičnoj teoriji.



sl.18

4.5 PRIMER 4.

Nosači mogu biti kombinovani od elemenata otvorenog i zatvorenog preseka, što je i glavna prednost u odnosu na klasičnu teoriju. Na (sl.19) prikazana su tri jednostavna primera sa odgovarajućim uglovima obrtanja središnjeg preseka.

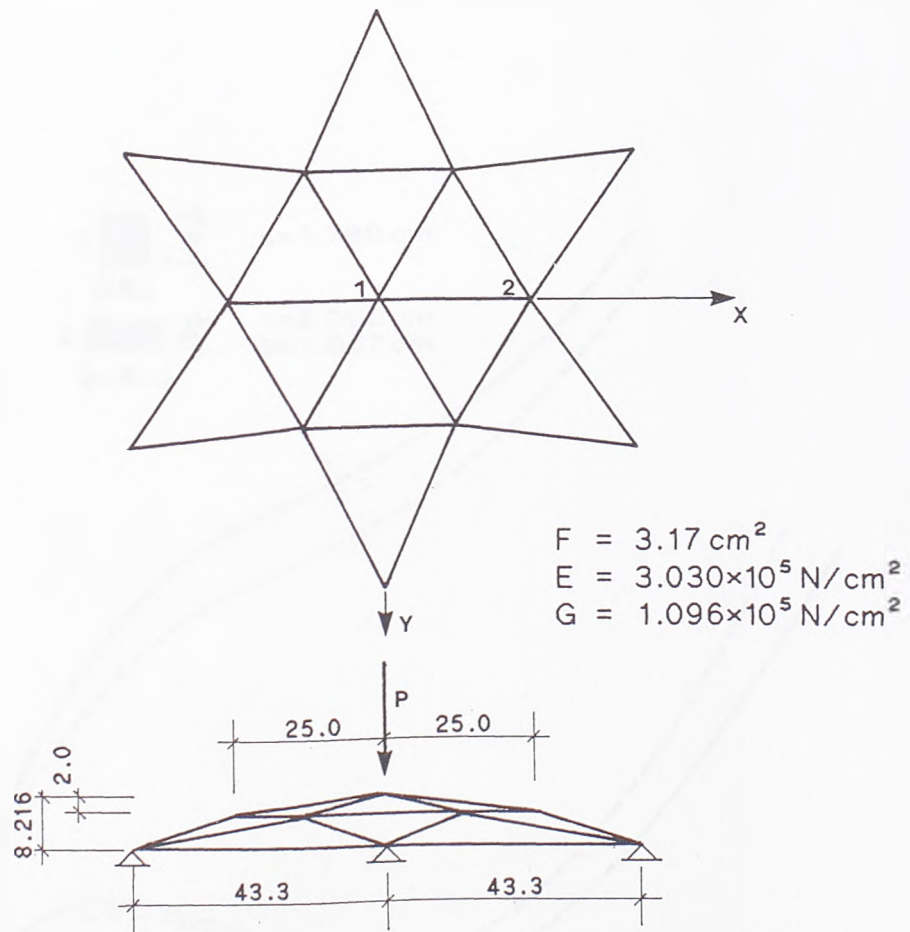


sl.19

4.6 PRIMER 5.

Na (sl.20) prikazana je prostorna konstrukcija u obliku plitke kupole, formirane od 24 medjusobno kruto vezana štapa, punog poprečnog preseka. Svaki štاپ zamenjen je sa tri konačna elementa. Kupola je u temenu opterećena vertikalnom koncentrisanom silom P .

Primer je izabran kao ilustracija geometrijski nelinearnog ponašanja konstrukcija.

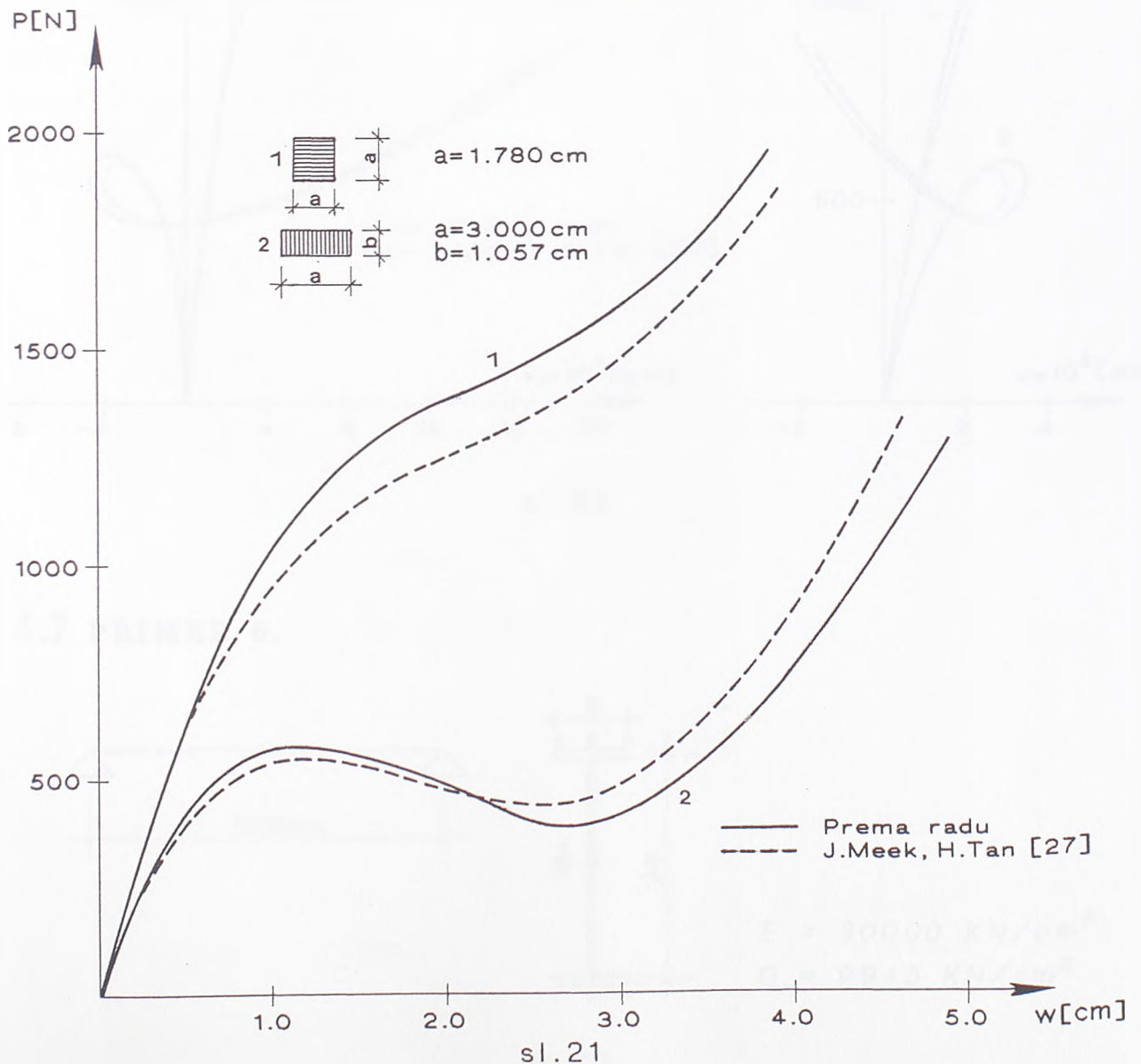


sl.20

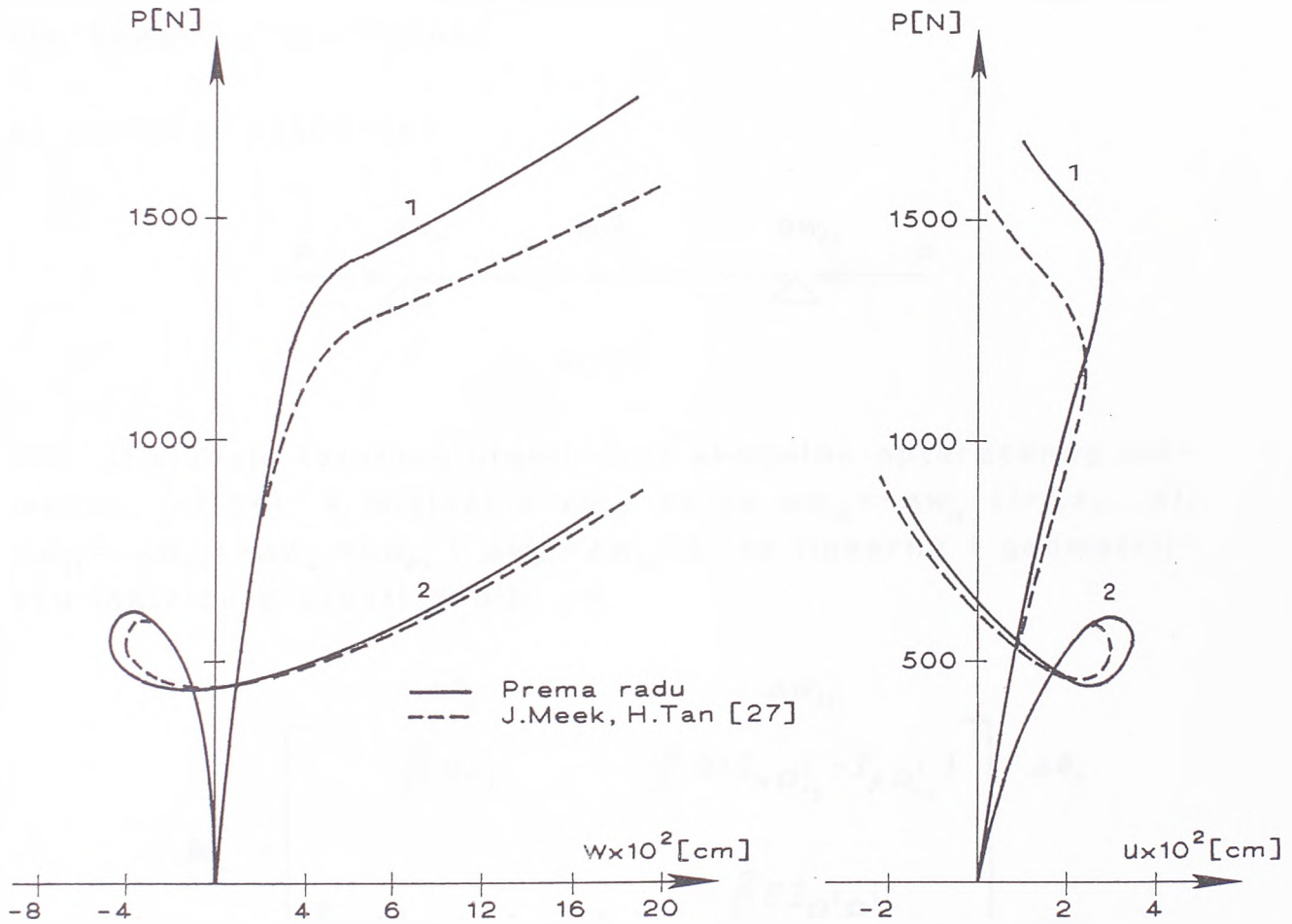
Na (sl.21) prikazano je vertikalno pomeranje temene tačke kupole u funkciji opterećenja. Primljena je Crisfieldova metoda sa početnim inkrementom opterećenja $\Delta P = 100 \text{ kN}$. Za svaki korak opterećenja potrebno je u proseku tri iteracije,

pri usvojenom kriterijumu konvergencije $etol=10^{-4}$ i $rtol=10^{-4}$. Na istoj slici isprekidanom linijom označene su krive koje su dobili J. Meek i H. Tan, [27].

U slučaju kvadratnog poprečnog preseka štapova ravnotežna kriva je stabilna u celom opsegu opterećenja. Smanjenjem vertikalne krutosti poprečnih preseka, zadržavajući pri tome istu vrednost za površinu, ravnotežna kriva, što je uočljivo sa slike, postaje izrazito nelinearna. Dostizanjem granične tačke konstrukcija gubi stabilnost. Iza granične tačke deformacije se o dvijaju bez priraštaja opterećenja, da bi posle donje granične tačke došlo ponovo do "ojačanja" konstrukcije.

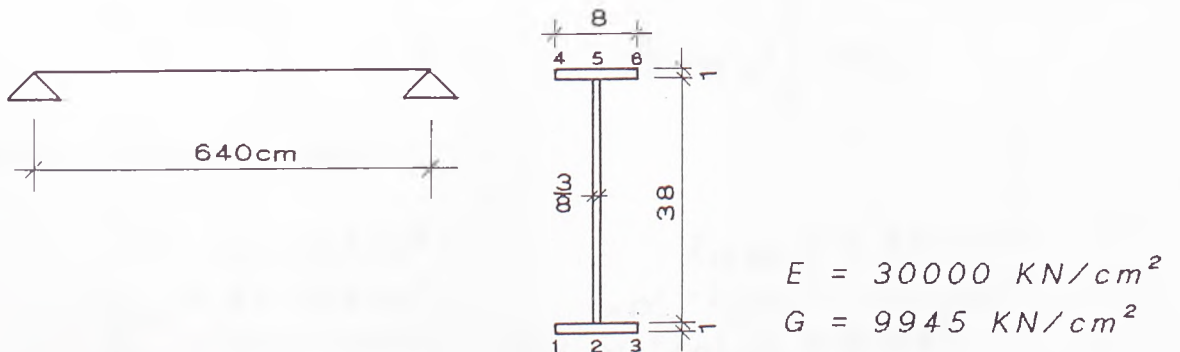


Na (sl.22) prikazana su pomeranja, vertikalno i horizontalno, čvora 2 kupole.



sl.22

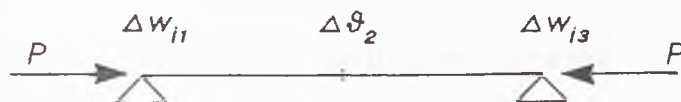
4.7 PRIMER 6.



sl.23

Razmatraju se dva jednostavna primera, torzione i bočne stabilnosti, tankozidnog nosača viljuškasto oslonjenog na krajevima, (sl.23). U oba slučaja nosač je aproksimiran jednim konačnim elementom.

a) Torziona stabilnost



sl.24

U slučaju torzione stabilnosti aksijalno opterećenog elementa, (sl.24), a imajući u vidu da je $\Delta w_{i3} = -\Delta w_{i1}$ ($i=1,2,\dots,6$), $\Delta w_{11} = -\Delta w_{31} = -\Delta w_{41} = \Delta w_{61}$ i $\Delta w_{21} = \Delta w_{51} = 0$, za linearnu i geometrijsku matricu krutosti dobija se:

$$\mathbf{K}_L = \begin{bmatrix} \Delta\theta_2 & \Delta w_{11} \\ \frac{16}{3L} G I_h & \frac{16}{3} G (I_{x\Omega'_y} - I_{y\Omega'_x}) \\ \frac{2}{3} G (I_{x\Omega'_y} - I_{y\Omega'_x}) & \frac{2}{L} E I_{\Omega'\Omega'} \\ & \frac{1}{6} G (I_{\Omega'_x\Omega'_x} + I_{\Omega'_y\Omega'_y}) \end{bmatrix} \begin{matrix} \Delta\theta_2 \\ \Delta w_{11} \end{matrix}$$

$$\mathbf{K}_{NL} = -P \begin{bmatrix} \Delta\theta_2 & \Delta w_{11} \\ \frac{16}{3LF} (I_{xx} + I_{yy}) & 0 \\ 0 & \frac{2}{LF} I_{\Omega'\Omega'} \end{bmatrix} \begin{matrix} \Delta\theta_2 \\ \Delta w_{11} \end{matrix}$$

gde je za dati I nosač:

$$\begin{aligned}
 F &= 30.625 \text{ cm}^2 & I_{\Omega'\Omega'} &= 1.333 \text{ cm}^2 \\
 I_{xx} &= 85.505 \text{ cm}^4 & I_{x\Omega'_y} - I_{y\Omega'_x} &= -19.5 \text{ cm}^2 \\
 I_{yy} &= 7939.1 \text{ cm}^4 & I_{\Omega'_x\Omega'_x} + I_{\Omega'_y\Omega'_y} &= 0.250 \\
 I_h &= 6090.0 \text{ cm}^4
 \end{aligned}$$

Polazeći od uslova stabilnosti:

$$/ \mathbf{K}_L + \mathbf{K}_{NL} / = 0$$

za kritičnu silu izvijanja dobija se:

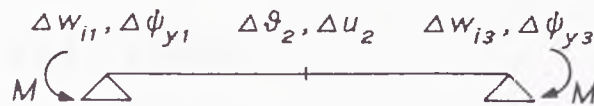
$$P = 336.5 \text{ KN}$$

što se u odnosu na vrednost dobijenu prema klasičnoj teoriji tankozidnih nosača:

$$P = \frac{F}{I_0} (GI_t + \frac{\pi^2}{L^2} EI_\omega) = 318.0 \text{ KN}$$

razlikuje za 5.8%.

b) Bočna stabilnost



sl.25

Element je opterećen koncentrisanim momentima M na krajevima, (sl.25). Pri simetričnoj formi izvijanja imamo da je $\Delta w_{i3} = -\Delta w_{i1}$ ($i=1, 2, \dots, 6$), $\Delta w_{11} = -\Delta w_{31} = -\Delta w_{41} = \Delta w_{61}$, $\Delta w_{21} = \Delta w_{51} = 0$ i $\Delta \psi_{y1} = -\Delta \psi_{y3}$, pa se za linearnu i geometrijsku matricu krutosti dobija:

$$\mathbf{K}_L = \begin{bmatrix} \Delta u_2 & \Delta \theta_2 & \Delta \psi_{y1} & \Delta w_{11} \\ \frac{16}{3L} GF & 0 & -\frac{4}{3} GF & 0 \\ 0 & \frac{16}{3L} GI_h & 0 & \frac{16}{3} G(I_{x\Omega'_y} - I_{y\Omega'_x}) \\ -\frac{2}{3} GF & 0 & \frac{2}{L} EI_{xx} & 0 \\ -\frac{L}{6} GS_{\Omega'_x} & \frac{2}{3} G(I_{x\Omega'_y} - I_{y\Omega'_x}) & -\frac{2}{L} EI_{x\Omega'} & \frac{2}{L} EI_{\Omega'\Omega'} \\ -\frac{L}{6} GS_{\Omega'_x} & \frac{2}{3} G(I_{x\Omega'_y} - I_{y\Omega'_x}) & -\frac{L}{6} GS_{\Omega'_x} & \frac{L}{6} G(I_{\Omega'_x\Omega'_x} + I_{\Omega'_y\Omega'_y}) \end{bmatrix}$$

$$\mathbf{K}_{NL} = M \begin{bmatrix} \Delta u_2 & \Delta \vartheta_2 & \Delta \psi_{y1} & \Delta w_{11} \\ 0 & -\frac{16}{3L} & 0 & 0 \\ -\frac{16}{3L} & 0 & 0 & 0 \\ 0 & 0 & 0 & 0 \\ 0 & 0 & 0 & 0 \end{bmatrix}$$

gde je:

$$I_{x\Omega'} = -5.333 \text{ cm}^3$$

$$S_{\Omega'x} = -1.0 \text{ cm}$$

Koristeći uslov stabilnosti za kritični moment izvijanja dobija se:

$$M = 2249.2 \text{ KNcm}$$

U odnosu na vrednost kritičnog momenta dobijenu klasičnom teorijom:

$$M = \frac{\pi}{L} \sqrt{EI_{xx} (GI_t + EI_{\omega} \frac{\pi^2}{L^2})} = 2269.5 \text{ KNcm}$$

razlika je 0.90%.

5. ZAKLJUČAK

Dobijeni rezultati, kao što se iz uradjenih primera vidi, veoma se dobro slažu sa rezultatima tehničke teorije tankozidnih nosača. Nešto veće razlike javljaju se kod elemenata otvorenog poprečnog preseka. To je i razumljivo, s obzirom da se u radu, za razliku od tehničke teorije tankozidnih štapa, ne zanemaruje deformacija klizanja u srednjoj površini štapa, pa su dobijeni rezultati tačniji.

U zaključku možemo konstatovati da predložena funkcija deplanacije i konačni elementi koji su na osnovu nje definisani omogućavaju sledeće:

- analizu konstrukcija kombinovanih od elemenata otvorenog i zatvorenog poprečnog preseka
- dobijanje smičućih napona od ograničene torzije direktno iz odgovarajućih deformacija klizanja
- pošto otpada potreba za određivanjem centra smicanja i sektorske koordinate, sve relevantne veličine lako se mogu sračunati iz koordinata čvornih tačaka poligonalnog preseka i debljine zidova.

6. PRILOG

6.1 OPIS ULAZNIH PODATAKA ZA PROGRAM *TEZOP*

A KARTICA ZA ZAGLAVLJE (20A4)

Kolone 1-5 Tekst (HED)

B KONTROLNA KARTICA 1 (12I5)

Kolone 1-5 Tip elementa (IELE)

1 Element I

2 Element II

6-10 Vrsta analize (KLIN)

0 Linearna

1 Nelinearna

11-15 Broj čvorova (NUMNP)

16-20 Broj oslonačkih čvorova (NBOUN)

21-25 Broj elemenata (NUME)

26-30 Broj grupa elemenata (NUMMAT) istih karakteristika

31-35 Stepen izvršenja (MODEX)

0 Štampanje ulaznih podataka

1 Izvršenje programa

36-40 Broj tabela sa integracionim tačkama za koje se štampaju naponi (NTABLE)

41-45 Maksimalan broj tačaka u tabeli (JTABLE)

46-50 Broj grupa sa čvorovima za koje se štampaju pomeranja (NPB)

NPB=0 štampaju se pomeranja svih čvorova

51-55 Broj integracionih tačaka u z-pravcu (INTZ)
Maksimalan broj je 7

56-60 Broj integracionih tačaka u s-pravcu (INTS)
Maksimalan broj je 7

C ČVOROVI ZA KOJE SE ŠTAMPAJU POMERANJA (2I5)

Ako je $NPB=0$ kartice se ne unose. U suprotnom, učitava se NPB kartica.

Kolone 1-5 Prvi čvor u nizu
6-10 Poslednji čvor u nizu

D KONTROLNA KARTICA 2 (4I5, 3F10.0, I5)

Kolone 1-5 Metod proračuna
1 Newton-Raphson
2 Crisfield
6-10 Broj inkremenata opterećenja
11-15 Interval štampanja rezultata
16-20 Dozvoljeni broj iteracija
21-30 Uslov konvergencije po pomeranjima
31-40 Uslov konvergencije po silama
41-50 Referentno opterećenje pri konvergenciji
51-55 Maksimalno dozvoljeni broj podinkremenata

E BROJ STEPENI SLOBODE POMERANJA ČVOROVA (4I5)

Kolone 1-5 Broj čvora
6-10 Broj stepeni slobode pomeranja
11-16 Broj (KN) za automatsku generaciju podataka
KN=0, bez automatske generacije podataka
16-20 Poslednji čvor u nizu (samo ako je KN=0)

Broj stepeni slobode zadaje se za svaki čvor. Na jednoj kartici mogu biti podaci o samo jednom čvoru, ili, ako se koristi broj za automatsku generaciju podataka, o više čvorova.

$$N_1, N_1+1*KN, N_1+2*KN, \dots, N_2$$

gde je N_1 prvi čvor u nizu, a N_2 poslednji čvor u nizu. Na poslednjoj kartici mora se nalaziti poslednji čvor konstrukcije.

F KOORDINATE ČVOROVA (I5, 3F10.0, I5)

Kolone 1-5 Broj čvora
6-15 X-koordinata
16-25 Y-koordinata
26-35 Z-koordinata
36-40 Broj (KN) za automatsku generaciju podataka

Na jednoj kartici nalaze se koordinate samo jednog čvora, ili, ako se koristi broj za automatsku generaciju podataka (KN), koordinate više čvorova. Broj KN generiše podatke za grupu čvorova koji se nalaze na jednakim rastojanjima duž prave linije:

$$N_1, N_1+1*KN, N_1+2*KN, \dots, N_2$$

gde su, podaci za prvi čvor u nizu N_1 i zadnji čvor u nizu N_2 dati na dve uzastopne kartice. Poslednja kartica mora sadržati podatke o poslednjem čvoru u konstrukciji.

G GRANIČNI USLOVI (16I5)

Podaci o jednom čvoru dati su na jednoj ili više kartica, u zavisnosti od broja stepeni slobode pomeranja. Ovakvih grupa kartica ima koliko i oslonačkih čvorova (NBOUN).

Kolone	1-5	Broj čvora
	6-10	Pomeranje u pravcu X
	11-15	Pomeranje u pravcu Y
	16-20	Pomeranje u pravcu Z
	21-25	Obrtanje oko ose X
	26-30	Obrtanje oko ose Y
	31-35	Obrtanje oko ose Z
	36-40	Deplanacija čvorne tačke 1 preseka
	41-45	Deplanacija čvorne tačke 2 preseka

	Deplanacija čvorne tačke N preseka
		0 Slobodno pomeranje
		1 Sprečeno pomeranje

H BROJ OPTEREĆENJA (I5)

Kolone 1-5 Broj koncentrisanih opterećenja

I PODACI O OPTEREĆENJU (2I5, F10.0)

Broj kartica jednak je broju koncentrisanih opterećenja, koji je zadat na prethodnoj kartici.

Kolone	1-5	Čvor na koji deluje opterećenje
	6-10	Broj stepeni slobode koji odgovara posmatranom generalisanoj sili.

- 1 Sila u pravcu X-ose
- 2 Sila u pravcu Y-ose
- 3 Sila u pravcu Z-ose
- 4 Momenat oko X-ose
- 5 Momenat oko Y-ose
- 6 Momenat oko Z-ose
- 7 Bimomenat za čvornu tačku 1 preseka
- 8 Bimomenat za čvornu tačku 2 preseka
-
- N+6 Bimomenat za čvornu tačku N preseka

J KARAKTERISTIKE MATERIJALA I PRESEKA (2F10.0, 2I5)

Broj kartica jednak je broju grupa elemenata istih karakteristika (NUMMAT).

- Kolone 1-10 Modul elastičnosti
- 11-20 Poissonov koeficijent
- 21-25 Broj čvornih tačaka preseka
- 26-30 Broj stranica konture preseka

K PODACI O POPREČNIM PRESECIMA ELEMENATA

Sledeći niz kartica ponavlja se za svaku grupu elemenata istih karakteristika, čiji je broj definisan na prvoj kontrolnoj kartici.

K1 KOORDINATE SISTEMNE TAČKE PRESEKA (2F10.0)

- Kolone 1-10 x-koordinata
- 11-20 y-koordinata

K2 KOORDINATE ČVORNIH TAČAKA PRESEKA (2F10.0)

Jedna kartica po čvoru u rastućem nizu, polazeći od prve čvorne tačke.

- Kolone 1-10 x-koordinata
- 11-20 y-koordinata

K3 PODACI O STRANICAMA KONTURE PRESEKA (2I5, F10.0)

Jedna kartica po svakoj konturnoj stranici, u rastućem nizu, polazeći od prve.

Kolone 1-5 Broj čvora na jednom kraju stranice
6-10 Broj čvora na drugom kraju stranice
11-20 Debljina stranice

Obavezno se mora prvo uneti čvor sa manjim rednim brojem.

L NAPONSKE TABELE

Ove kartice se izostavljaju ako je broj tabela sa integracionim tačkama za koje se štampaju naponi jednaki null. U suprotnom, učitava se NTABLE grupa kartica. Svaka ova grupa definiše jednu tabelu i ne može imati više od JTABLE ulaza. N-ta grupa kartica definiše N-tu naponsku tabelu, kako sledi:

L1 KARTICA 1 (16I5)

Kolone 1-5 1. Integraciona tačka
6-10 2. Integraciona tačka
.....
76-80 16. Integraciona tačka

L2 KARTICA 2 (16I5) (Ako je potrebna)

Kolone 1-5 17. Integraciona tačka
6-10 18. Integraciona tačka
.....
JTABLE. integraciona tačka

Svaka integraciona tačka identifikuje se jednim petocifrenim brojem. Prva cifra broja odredjuje položaj integracione tačke u z-pravcu. Druge dve cifre odredjuju stranicu poligonalnog preseka. Četvrta cifra odredjuje položaj integracione tačke u s-pravcu, a peta u e-pravcu (maksimalno 3 tačke po debljini stranice).

M PODACI O ELEMENTIMA

Karakteristike svih elemenata moraju biti unete ili generisane u rastućem nizu, polazeći od prvog elementa. Podaci o jednom elementu ili grupi elemenata, kada je $KG > 1$, dati su na dve ili više kartica.

M1 KARTICA 1 (7I5)

Kolone	1-5	Broj elementa
	6-10	Broj čvora na jednom kraju elementa
	11-15	Broj čvora na drugom kraju elementa
	16-20	Broj čvora koji određuje yz ravan
	21-25	Broj koji određuje grupu elemenata istih karakteristika, kojoj posmatrani element pripada
	26-30	Broj naponske tabele IS koja će se koristiti pri štampanju napona IS=0 nema štampanja za ovaj element
	31-35	Broj (KG) za automatsku generaciju podataka

Kada se koristi automatska generacija podataka brojevi krajnjih čvorova, sukcesivnih elemenata u grupi, uvećavaju se za KG. Pri tome su, broj čvora koji određuje yz-ravan, broj grupe elemenata istih karakteristika, broj naponske tabele i podaci sa sledeće kartice, isti za sve elemente u grupi. Podaci za poslednji element moraju se obavezno uneti.

M2 KARTICA 2 (16I5)

Kolone	1-5	Globalni stepen slobode 1. čvora poprečnog preseka na kraju 1 elementa
	6-10	Globalni stepen slobode 2. čvora poprečnog preseka na kraju 1 elementa

	Globalni stepen slobode N. čvora poprečnog preseka na kraju 1 elementa
	Globalni stepen slobode 1. čvora poprečnog preseka na kraju 2 elementa
	Globalni stepen slobode 2. čvora poprečnog preseka na kraju 2 elementa

	Globalni stepen slobode N. čvora poprečnog preseka na kraju 2 elementa

Ako gornji podaci ne mogu da stanu na jednu karticu uvodi se nova.

6.2 LISTING PROGRAMA *TEZOP*

LISTING 1

```

IMPLICIT REAL*8 (A-H,O-Z)
CHARACTER*4 HED(20)
COMMON /VAR/ MODEX,KSTEP,ITEMAX,KPRI,IPRI,ITE,IEOREF,IREF,KKSTEP
COMMON /SOL/ NUMNP,NBOUN,NEQ,MAXEST,NWK,MK,NSTE,IELE
COMMON /DIM/ N1,N2,N3,N4,N5,N6,N7,N8,N9,N10,N11,N12,N13,N14,N136
COMMON /EL/ IND,ICOUNT,NUMMAT,MTOT,ITWO,NUME,NUM1,NUM2,NUM3,KLIN
COMMON /STNL/ XLT,ZOL,SOL,FAC,PFAC,INTZ,INTS
COMMON /TABLE/ NTABLE,JTABLE
COMMON /NORMS/ RNORM,RENORM,RTOL,DTOL,ETOL
COMMON /EQIT/ NLSTPD,ISDVG,ITEDIV,NLSTEP
COMMON /KMC/ KM,IDWA,KMM,KAS
COMMON /PRCON/ IPNODE(2,8),NPB
COMMON /CRIS/ DP,DPSUM,DPO,DL,DETER,NRORC,A1,A4,WC1,WC2,KLKR,NPP
DIMENSION IHOURS(2),MINS(2),ISECS(2),IHUNDS(2)
REAL A
INTEGER IA(1)
COMMON A(100000)
EQUIVALENCE (A(1),IA(1))
MTOT=10000
ITWO=2
IREF=0
KPRI=1
IPRI=1
KSTEP=0
KKSTEP=1
ICOUNT=2
NLSTPD=0
DPO=1.0
NRORC=1
KLKR=1
DPSUM=0.0
WC1=0.0
IND=0
OPEN (1,FORM='UNFORMATTED')
OPEN (2,FILE='ENTER')
OPEN (3,FILE='PRN:',STATUS='NEW')
OPEN (5,FORM='UNFORMATTED')
OPEN (8,FORM='UNFORMATTED')
CALL TIME (IHOURS(1),MINS(1),ISECS(1),IHUNDS(1))
READ(2,1000) HED,IELE,KLIN,NUMNP,NBOUN,NUME,NUMMAT,MODEX,NTABLE,JTABLE,NPB,INTZ,INTS
WRITE(3,2000) HED,IELE,KLIN,NUMNP,NBOUN,NUME,NUMMAT,MODEX,NTABLE,JTABLE,NPB,INTZ,INTS
IF (NPB.EQ.0) GOTO 3
READ (2,1020) ((IPNODE(I,J)),I=1,2),J=1,NPB)
GOTO 4
3 IPNODE(1,1)=1
IPNODE(2,1)=NUMNP
NPB=1
4 IF (KLIN.EQ.0) GOTO 5
READ (2,1005) NRORC,NSTE,IPRI,ITEMAX,DTOL,RTOL,RNORM,NLSTPD
IF (ITEMAX.EQ.0) ITEMAX=15
IF (DTOL.EQ.0.0) DTOL=0.01
IF (RTOL.EQ.0.0) RTOL=0.01
ETOL=10.0*RTOL*DTOL
WRITE (3,2003) NRORC,NSTE,IPRI,ITEMAX,DTOL,RTOL,RNORM,NLSTPD
5 N1=1
N2=N1+NUMNP
CALL PRIPP (A(N1),NUMNP,KM)
N3=N2+NUMNP*KM
N4=N3+NUMNP*ITWO
N5=N4+NUMNP*ITWO
N6=N5+NUMNP*ITWO
IF(N6.GT.MTOT) CALL ERROR (N6-MTOT)
CALL INPUT (A(N1),A(N2),A(N3),A(N4),A(N5),KM)
N7=N6+NEQ*ITWO
WRITE(3,2006)
READ(2,1010) NLOAD

```

LISTING 2

```

WRITE(3,2010) NLOAD
N8=N7+NLOAD
N9=N8+NLOAD
N10=N9+NLOAD*ITWO
IF(N10.GT.MTOT) CALL ERROR (N10-MTOT)
CALL LOADS (A(N6),A(N7),A(N8),A(N9),A(N2),NLOAD,KM)
NN=N6+NEQ-1
DO 6 I=N6,NN
6 IA(I)=0
N7=N6+NEQ
N8=N7+NUMMAT
N9=N8+NUMMAT
N10=N9+NUMMAT
N11=N10+NUMMAT
N12=N11+NUMMAT
N13=N12+NUMMAT*ITWO
N14=N13+NUMMAT*ITWO
CALL ELCAL (A(N7),A(N8),A(N9),A(N10),A(N11),A(N12),A(N13))
CALL ADDRES (A(N1),A(N6))
MM=NWK/NEQ
WRITE(3,2015) NEQ,NWK,MK,MM
IF (MODEX.EQ.0) GOTO 125
30 KAS=2*KM+5
IF (IELE.EQ.2) KAS=2*KM
IND=1
N2=N1+NEQ+1
N3=N2+NEQ*ITWO
N3A=N3+NEQ*ITWO
IF (NEQ*ITWO.LT.KM) N3A=N3+KM
N4=N3A+NEQ*ITWO
IF (NLSTPD.EQ.0) N4=N3A
N5=N4+NWK*ITWO
NN1=NEQ*ITWO
NN2=KAS*(KAS+1)/2*ITWO
N6=N5+NN1
IF (NN2.GT.NN1) N6=N5+NN2
NN3=KAS*KAS*ITWO
NN4=NUMNP*KM
NN=NEQ*ITWO
IF (NN3.GT.NN) NN=NN3
IF (NN4.GT.NN) NN=NN4
N7=N6+NN
NNL=NEQ*ITWO
CALL CLEAR (A(N2),NNL)
LPRI=0
100 KSTEP=KSTEP+1
REWIND 1
IREF=0
IEQREF=0
NPP=0
ISDVG=0
CALL LOADMS (A(N3))
CALL ASSEM
115 NN=NEQ*ITWO
DO 150 I=1,NN
150 A(N5+I-1)=A(N3+I-1)
CALL COLSOL (A(N4),A(N3),A(N1),NEQ,NWK,1)
IF (NRORC.EQ.2) CALL CRIS1 (A(N3),A(N136),A(N5),NEQ)
KKSTEP=2
IREF=1
WRITE (3,2060)
IF (KLIN.EQ.0) GOTO 110
CALL EQUIT (A(N4),A(N3),A(N3A),A(N5),A(N2),A(N1),A(N6))
IF (IEQREF.EQ.0) GOTO 110
IF (NRORC.EQ.1) GOTO 109
CALL DIVCRI (A(N2),A(N3),A(N3A),A(N4),A(N5),A(N6),A(N1))
GOTO 111
109 CALL DIVERG (A(N2),A(N3),A(N3A),A(N4),A(N5),A(N6),A(N1))

```

LISTING 3

```

111 IF (ISDVG.EQ.Ø) GOTO 11Ø
    WRITE (3,2Ø4Ø)
    GOTO 21Ø
11Ø CALL NEWDAV (A(N2),A(N3))
    LPRI=LPRI+1
    KPRI=IPRI-LPRI
    IF (KPRI.GT.Ø) GOTO 13Ø
    LPRI=Ø
    CALL WRITE (A(N2),A(N6),A(N5),A(N3),NEQ,NUMNP)
    CALL ELEMNT
    KPRI=1
    IF (KLIN.EQ.Ø) GOTO 125
13Ø ICOUNT=2
    IF (KSTEP.LT.NSTE) GOTO 1ØØ
125 CALL TIME (IHOURS(2),MINS(2),ISECS(2),IHUNDS(2))
12Ø IHOUR=IHOURS(2)-IHOURS(1)
    MIN=MINS(2)-MINS(1)
    ISEC=ISECS(2)-ISECS(1)
    IVREME=36ØØ*IHOUR+6Ø*MIN+ISEC
    IF (MODEX.EQ.Ø) GOTO 2ØØ
    WRITE(3,2Ø25) IVREME
    GOTO 21Ø
2ØØ WRITE(3,2Ø2Ø) IVREME
21Ø CONTINUE
1ØØØ FORMAT (2ØA4/12I5)
1ØØ5 FORMAT (4I5,3F1Ø.Ø,I5)
1Ø1Ø FORMAT (I5)
1Ø2Ø FORMAT (2I5)
2ØØØ FORMAT (1ØH PROGRAM: ,2ØA4 ////
155H *** K O N T R O L N E I N F O R M A C I J E ***      ////5X,
255HTIP ELEMENTA (1-ELEMENAT I, 2-ELEMENAT II)(IELE) =,I5//5X,
355HVRSTA ANALIZE (Ø-LINEARNA, 1-NELINEARNA) . (KLIN) =,I5//5X,
455HBROJ CVOROVA NOSACA . . . . . (NUMNP) =,I5//5X,
655HBROJ OSLOACKIH CVOROVA NOSACA . . . . . (NBOUN) =,I5//5X,
655HBROJ ELEMENATA NOSACA . . . . . (NUME) =,I5//5X,
755HBROJ GRUPA ELEMENATA ISTIH KARAKTERISTIKA. (NUMMAT) =,I5//5X,
855HSTEPEN IZVRSENJA . . . . . (MODEX) =,I5 /5X,
955H Ø - PROVERA ULAZNIH PODATAKA /5X,
155H 1 - IZVRSENJE PROGRAMA //5X,
255HBROJ TABELA KOJE ODREDJUJU INTEGRACIONE /5X,
355HTACKE U KOJIMA SE TRAZE NAPONI . . . . . (NTABLE) =,I5//5X,
455HMAKSIMALAN BROJ TACAKA U TABELI . . . . . (JTABLE) =,I5//5X,
655HBROJ TABELA KOJE ODREDJUJU CVOROVE /5X,
655HZA KOJE SE STAMPAJU POMERANJA . . . . . (NPB) =,I5//5X,
755HBROJ INTEGRACIONIH TACAKA U Z-PRAVCU . . . . . (INTZ) =,I5//5X,
855HBROJ INTEGRACIONIH TACAKA U S-PRAVCU . . . . . (INTS) =,I5)
2ØØ3 FORMAT (/5X,
155HMETOD PRORACUNA . . . . . (NRORC) =,I5 /5X,
255H 1 - NEWTON-RAPHSON /5X,
355H 2 - CRISFIELD //5X,
455HBROJ INKREMENATA OPTERECENJA . . . . . (NSTE) =,I5//5X,
655HINTERVAL STAMPANJA REZULTATA . . . . . (IPRI) =,I5//5X,
655HDOZVOLJENI BROJ ITERACIJA . . . . . (ITEMAX) =,I5//5X,
755HUSLOV KONVERGENCIJE PO POMERANJIMA . . . . . (DTOL) =,E11.4//
8 5X,
955HUSLOV KONVERGENCIJE PO SILAMA . . . . . (RTOL) =,E11.4//
1 5X,
255HREFERENTNO OPTERECENJE PRI KONVERGENCIJI . (RNORM) =,E11.4//
3 5X,
455HMAKSIMALANO DOZVOLJENI BROJ PODINKREMENATA (NLSTPD) =,I5)
2ØØ6 FORMAT (////45H *** P O D A C I O O P T E R E C E N J U *** )
2Ø1Ø FORMAT (///56H BROJ KONCENTRISANIH OPTERECENJA . . . . . (NLOAD)
1 =,I5)
2Ø15 FORMAT (////
155H *** P O D A C I O M A T R I C I S I S T E M A ***      ////5X,
255HBROJ JEDNACINA . . . . . (NEQ) =,I5//5X,
355HBROJ ELEMENATA MATRICE . . . . . (NWK) =,I5//5X,
455HMAKSIMALNA SIRINA TRAKE . . . . . (MK) =,I5//5X,

```


LISTING 4

```

556HSREDNJA SIRINA TRAKE . . . . . (MM) =,I6)
2020 FORMAT (////32H VREME POTREBNO ZA ULAZ PODATAKA ,I6,4H SEC)
2025 FORMAT (////36H VREME POTREBNO ZA RESENJE PROBLEMA,I6,4H SEC)
2040 FORMAT (////1H ,
150HNEURAVNOTEZENE SILE VECE OD INKREMENTA OPTERECENJA)
2060 FORMAT (////26H *** R E Z U L T A T I ***)
END
-----
SUBROUTINE ERROR (N)
WRITE(3,2000) N
STOP
2000 FORMAT (// 44H *** GRESKA - KAPACITET MEMORIJE PREMASEN ZA,I9)
END
-----
SUBROUTINE PRIPP (NDF,NUMNP,KM)
DIMENSION NDF(1)
KM=1
4 READ(2,900)N,NDF(N),KN,M
IF (NDF(N).GT.KM) KM=NDF(N)
IF(KN.EQ.0) GOTO 6
L=N+KN
DO 5 J=L,M,KN
5 NDF(J)=NDF(N)
6 IF (N.NE.NUMNP.AND.M.NE.NUMNP) GOTO 4
RETURN
900 FORMAT (4I6)
END
-----
SUBROUTINE INPUT (NDF,ID,X,Y,Z,KM)
IMPLICIT REAL*8 (A-H,O-Z)
COMMON /SOL/ NUMNP,NBOUN,NEQ,MAXEST,NWK,MK,NSTE,IELE
DIMENSION ID(KM,1),X(1),Y(1),Z(1),NDF(1)
KNOLD=0
NOLD=0
10 READ(2,1000) N,X(N),Y(N),Z(N),KN
IF (KNOLD.EQ.0) GOTO 50
NUM=(N-NOLD)/KNOLD
NUMN=NUM-1
IF (NUMN.LT.1) GOTO 50
XNUM=NUM
DX=(X(N)-X(NOLD))/XNUM
DY=(Y(N)-Y(NOLD))/XNUM
DZ=(Z(N)-Z(NOLD))/XNUM
K=NOLD
DO 30 J=1,NUMN
KK=K
K=K+KNOLD
X(K)=X(KK)+DX
Y(K)=Y(KK)+DY
Z(K)=Z(KK)+DZ
30 CONTINUE
50 NOLD=N
KNOLD=KN
IF (N.NE.NUMNP) GOTO 10
DO 60 I=1,NBOUN
READ(2,1010) N,(ID(J,N),J=1,NDF(N))
60 CONTINUE
WRITE(3,2015)
WRITE(3,2020)
DO 200 N=1,NUMNP
200 WRITE(3,2030) N,X(N),Y(N),Z(N),NDF(N)
WRITE(3,2040)
DO 300 N=1,NUMNP
300 WRITE(3,2050) N,(ID(J,N),J=1,NDF(N))
NEQ=0
DO 100 N=1,NUMNP
DO 100 I=1,NDF(N)
IF (ID(I,N)) 110,120,110

```


LISTING 8

```

120 NEQ=NEQ+1
   ID(I,N)=NEQ
   GOTO 100
110 ID(I,N)=0
100 CONTINUE
   WRITE(3,2060) NEQ
   WRITE(8) (NDF(I),I=1,NUMNP)
   DO 90 J=1,NUMNP
   90 WRITE(8) (ID(I,J),I=1,NDF(J))
   ENDFILE 8
   RETURN
1000 FORMAT (I5,3F10.0,I5)
1010 FORMAT (16I5)
2015 FORMAT (////42H *** P O D A C I O C V O R O V I M A ***//)
2020 FORMAT (6H CVOR ,19X,18HKOORDINATE CVOROVA,13X,15HM. S. SLOBODE /
   11H ,19X,1HX,12X,1HY,12X,1HZ)
2030 FORMAT (I4,7X,3F13.3,6X,I8)
2040 FORMAT (//6H CVOR ,16H GRANICNI USLOVI/
   1 7X,1HX,2X,1HY,2X,1HZ,3H XX,3H YY,3H ZZ,3H W1,3H W2,3H W3,6H.....)
2050 FORMAT(I4,1X,(25I3))
2060 FORMAT(//56H BROJ JEDNACINA . . . . . (NEQ)
   1 =,I8)
END
-----
SUBROUTINE LOADS (R,NOD,DIRN,FLOAD,ID,NLOAD,KM)
IMPLICIT REAL*8(A-H,O-Z)
COMMON /VAR/ MODEX,KSTEP,ITEMAX,KPRI,IPRI,ITE,IEQREF,IREF,KKSTEP
COMMON /SOL/ NUMNP,NBOUN,NEQ,MAXEST,NWK,MK,NSTE,IELE
DIMENSION R(NEQ),NOD(1),DIRN(1),FLOAD(1),ID(KM,1)
WRITE(3,2000)
READ(2,1000) (NOD(I),DIRN(I),FLOAD(I),I=1,NLOAD)
WRITE(3,2010) (NOD(I),DIRN(I),FLOAD(I),I=1,NLOAD)
IF (MODEX.EQ.0) RETURN
DO 210 I=1,NEQ
210 R(I)=0.0
   DO 220 L=1,NLOAD
   LN=NOD(L)
   LI=DIRN(L)
   II=ID(LI,LN)
   IF (II) 220,220,240
240 R(II)=FLOAD(L)
220 CONTINUE
   WRITE(1) R
   ENDFILE 1
   RETURN
1000 FORMAT (2I5,F10.0)
2000 FORMAT (//36H CVOR          PRAVAC          OPTERECENJE/)
2010 FORMAT (I4,8X,I4,8X,E12.5)
END
-----
SUBROUTINE ELCAL (NUMPN1,NUMPN2,NUMPS1,NUMPN,NUMPS,E,G)
IMPLICIT REAL*8(A-H,O-Z)
COMMON /EL/ IND,ICOUNT,NUMMAT,MTOT,ITWO,NUME,NUM1,NUM2,NUM3,KLIN
COMMON /KMC/ KM,IDWA,KMM,KAS
COMMON /STNL/ XLT,ZOL,SOL,FAC,PFAC,INTZ,INTS
DIMENSION NUMPN1(1),NUMPN2(1),NUMPN(1),NUMPS(1),NUMPS1(1),E(1),
1G(1)
WRITE(3,2000)
NUM1=0
NUM2=0
NUM3=0
NUMPN1(1)=0
NUMPN2(1)=0
NUMPS1(1)=0
KMM=1
DO 10 I=1,NUMMAT
READ(2,1000) E(I),G(I),NUMPN(I),NUMPS(I)
NUM1=NUM1+NUMPN(I)

```

LISTING 6

```

NUM2=NUM2+NUMPN(I)*(NUMPN(I)+1)/2
IF (NUMPS(I).GT.KMM) KMM=NUMPS(I)
NUM3=NUM3+NUMPS(I)
IF (I.EQ.NUMMAT) GOTO 10
M=I+1
NUMPN1(M)=NUM1
NUMPN2(M)=NUM2
NUMPS1(M)=NUM3
10 CONTINUE
IDWA=INTZ*INTS*KMM*3*4+1
CALL ELEMNT
RETURN
1000 FORMAT (2F10.0,2I5)
2000 FORMAT (////44H *** P O D A C I O E L E M E N T I M A ***//)
END
-----
SUBROUTINE ELEMNT
COMMON A(1)
COMMON /DIM/ N1,N2,N3,N4,N5,N6,N7,N8,N9,N10,N11,N12,N13,N14,N136
COMMON /EL/ IND,ICOUNT,NUMMAT,MTOT,ITWO,NUME,NUM1,NUM2,NUM3,KLIN
COMMON /SOL/ NUMNP,NBOUN,NEQ,MAXEST,NWK,MK,NSTE,IELE
COMMON /TABLE/ NTABLE,JTABLE
COMMON /VAR/ MODEX,KSTEP,ITEMAX,KPRI,IPRI,ITE,IEQREF,IREF,KKSTEP
COMMON /KMC/ KM,IDWA,KMM,KAS
COMMON /CRIS/ DP,DPSUM,DPO,DL,DETER,NRORC,A1,A4,WC1,WC2,KLKR,NPP
IF (KSTEP.GT.1.OR.IREF.EQ.1) GOTO 60
NFIRST=N7
IF(IND.EQ.0) GOTO 20
N8=N7+NUMMAT
N9=N8+NUMMAT
N10=N9+NUMMAT
N11=N10+NUMMAT
N12=N11+NUMMAT
N13=N12+NUMMAT*ITWO
N14=N13+NUMMAT*ITWO
20 M2=N2
N101=N14+NUMMAT*ITWO
N102=N101+NUMMAT*ITWO
N103=N102+NUM1*ITWO
N104=N103+NUM1*ITWO
N105=N104+NUM3*ITWO
N106=N105+NUM3*2
N107=N106+2*KM*NUME
N108=N107+9*NUME*ITWO
N109=N108+NUME
N110=N109+NUME
NTAB=NTABLE
LL=JTABLE/16
LLL=JTABLE-LL*16
IF (LLL.GT.0) LL=LL+1
LL=LL*16
N111=N110+LL*NTABLE
N112=N111+NUMMAT*ITWO
N113=N112+NUMMAT*ITWO
N114=N113+NUMMAT*ITWO
N115=N114+NUMMAT*ITWO
N116=N115+NUMMAT*ITWO
N117=N116+NUMMAT*ITWO
N118=N117+NUMMAT*ITWO
N119=N118+NUM1*ITWO
N120=N119+NUM1*ITWO
N121=N120+NUM1*ITWO
N122=N121+NUM1*ITWO
N123=N122+NUM1*ITWO
N124=N123+NUM2*ITWO
N125=N124+NUM2*ITWO
NLAST=N125
N126=N125+(KM-6)*2

```

LISTING 7

```

IF (IND.EQ.1) GOTO 50
IF(N126.GT.MTOT) CALL ERROR (N126-MTOT)
NNL=N126-N110
CALL CLEAR (A(N110),NNL)
N127=N126
N128=N126
N129=N126
N130=N126
N131=N126
N132=N126
N133=N126
N134=N126
GOTO 40
50 N127=N126+KAS*5*NUME*ITWO
N128=N127+KAS*ITWO
N129=N128+2*KM*NUME*ITWO
N130=N129+IDWA*NUME*ITWO
N131=N130+NUME*ITWO
N132=N131+KAS*3*ITWO
N133=N132+KAS*7*ITWO
N134=N133+2*KM*ITWO
N135=N134+2*KM*ITWO
N136=N135+9*NUME*ITWO
N137=N136
IF (NRORC.EQ.2) N137=N136+NEQ*ITWO
IF (N137.GT.MTOT) CALL ERROR (N137-MTOT)
NNL=N137-N126
CALL CLEAR (A(N126),NNL)
60 M2=N2
IF (ICOUNT.LT.3) GOTO 40
M2=N6
40 CALL CSP (A(M2),A(M2),A(N3),A(N4),A(N5),A(N5),A(N6),A(N6),A(N7),A(
1N8),A(N9),A(N10),A(N11),A(N12),A(N13),A(N14),A(N101),A(N102),A(N10
23),A(N104),A(N105),A(N106),A(N107),A(N108),A(N109),A(N110),A(N111)
3,A(N112),A(N113),A(N114),A(N115),A(N116),A(N117),A(N118),A(N119),A
4(N120),A(N121),A(N122),A(N123),A(N124),A(N125),A(N126),A(N127),A(N
5128),A(N129),A(N130),A(N131),A(N132),A(N133),A(N134),A(N135),KM,
6KAS,IDWA,NTAB,KMM)
IF(IND.NE.0) GOTO 30
MAXEST=NLAST-NFIRST
WRITE(6) (A(I),I=NFIRST,NLAST-1)
ENDFILE 6
30 CONTINUE
RETURN
END
-----
SUBROUTINE CSP (ID,DID,X,Y,Z,S,MHT,AS,NUMPN1,NUMPN2,NUMPS1,NUMPN,N
1UMPS,E,G,XC,YC,XX,YY,TS,ISN,LM,XYZ,MATP,IPS,ITABLE,FF,IXX,IYY,IXY,
2IH,SWX,SWY,SFX,SFY,IXF,IYF,IXBYA,IFF,IAABB,NN,SREL,DISP,PDISP,WA,
3GAMA,B,BNL,RE,XM,TTT1,KM,KAS,IDWA,NTAB,KMM)
IMPLICIT REAL*8 (A-H,O-Z)
REAL*8 IXBYA(1),IFF(1),IAABB(1),IXX(1),IYY(1),IXY(1),IH(1),LL,IXF(
11),IYF(1)
COMMON /EL/ IND,ICOUNT,NUMMAT,MTOT,ITWO,NUME,NUM1,NUM2,NUM3,KLIN
COMMON /VAR/ MODEX,KSTEP,ITEMAX,KPRI,IPRI,ITE,IEQREF,IREF,KKSTEP
COMMON /SOL/ NUMNP,NBOUN,NEQ,MAXEST,NWK,MK,NSTE,IELE
COMMON /STNL/ XLT,ZOL,SOL,FAC,PFAC,INTZ,INTS
COMMON /TABLE/ NTABLE,JTABLE
COMMON /DIM/ N1,N2,N3,N4,N6,N6,N7,N8,N9,N10,N11,N12,N13,N14,N136
COMMON /POS/ I1,I2,I3,I4,ISTRES
COMMON /IC/ IC(12),XCC,YCC
COMMON /CRIS/ DP,DPSUM,DPO,DL,DETER,NRORC,A1,A4,WC1,WC2,KLKR,NPP
DIMENSION NUMPN1(1),NUMPN2(1),NUMPN(1),NUMPS(1),NUMPS1(1)
DIMENSION FF(1),SFX(1),SFY(1),SWX(1),SWY(1)
DIMENSION XX(1),YY(1),X(1),Y(1),Z(1),XYZ(9,1),XC(1),YC(1)
DIMENSION E(1),G(1),ID(KM,1),MATP(1),MHT(1),LM(2*KM,1),NN(1),TS(1)
DIMENSION AS(KAS,1),ISN(1),IPS(1),B(3,1),BNL(7,1),RE(1),DISP(1)
1,PDISP(2*KM,1),SREL(KAS*5,1),GAMA(1),ITABLE(NTAB,1),WA(IDWA

```

LISTING 8

```

2,1),S(1),BS(3,3),DID(1),XM(1),TTT(3,3),TTT1(9,1)
REAL A
COMMON A(1)
IF (KPRI.EQ.0) GOTO 800
IF (IND.GT.0) GOTO 420
DO 10 I=1,NUMMAT
WRITE(3,2000) I
WRITE(3,2010) NUMPN(I),NUMPS(I)
READ(2,1000) XC(I),YC(I)
WRITE(3,2015) XC(I),YC(I)
WRITE(3,2020)
DO 20 J=1,NUMPN(I)
II=NUMPN1(I)+J
READ(2,1000) XX(II),YY(II)
20 WRITE(3,2030) J,XX(II),YY(II)
WRITE(3,2040)
DO 30 J=1,NUMPS(I)
READ(2,1010) II,JJ,T
TS(NUMPS1(I)+J)=T
ISN(2*(NUMPS1(I)+J)-1)=II
ISN(2*(NUMPS1(I)+J))=JJ
WRITE(3,2050) J,II,JJ,T
JJJ=NUMPN1(I)+JJ
III=NUMPN1(I)+II
LIJ=NUMPN2(I)+(II-1)*NUMPN(I)-(II-1)*II/2+JJ
LII=NUMPN2(I)+(II-1)*NUMPN(I)-(II-3)*II/2
LJJ=NUMPN2(I)+(JJ-1)*NUMPN(I)-(JJ-3)*JJ/2
X2=XX(JJJ)
X1=XX(III)
Y2=YY(JJJ)
Y1=YY(III)
LL=DSQRT((X2-X1)*(X2-X1)+(Y2-Y1)*(Y2-Y1))
COS=(X2-X1)/LL
SIN=(Y2-Y1)/LL
SIN2=2.*SIN*COS
FF(I)=FF(I)+LL*T
FI1=LL*T**3/12.
FI2=LL**3*T/12.
IYY(I)=IYY(I)+ABS((Y2+Y1)/2.)*LL*T+FI1*COS**2+FI2*SIN**2
IXX(I)=IXX(I)+ABS((X2+X1)/2.)*LL*T+FI1*SIN**2+FI2*COS**2
IXY(I)=IXY(I)+(Y2+Y1)*(X2+X1)/4.+0.6*(FI1-FI2)*SIN2
AA=(-X1*COS-Y1*SIN-0.5*LL)*LL*T
HH=(Y1*X2-Y2*X1)/LL
IH(I)=IH(I)+HH*HH*LL*T+FI1*4.
SWX(I)=SWX(I)+AA*SIN
SWY(I)=SWY(I)-AA*COS
SFX(JJJ)=SFX(JJJ)+COS*T
SFX(III)=SFX(III)-COS*T
SFY(JJJ)=SFY(JJJ)+SIN*T
SFY(III)=SFY(III)-SIN*T
IXF(JJJ)=IXF(JJJ)+(LL*COS/3.+XX(III)/2.)*LL*T
IXF(III)=IXF(III)+(LL*COS/6.+XX(III)/2.)*LL*T
IYF(JJJ)=IYF(JJJ)+(LL*SIN/3.+YY(III)/2.)*LL*T
IYF(III)=IYF(III)+(LL*SIN/6.+YY(III)/2.)*LL*T
IXBYA(JJJ)=IXBYA(JJJ)+(XX(III)*SIN-YY(III)*COS)*T
IXBYA(III)=IXBYA(III)-(XX(III)*SIN-YY(III)*COS)*T
IFF(LII)=IFF(LII)+LL*T/3.
IFF(LJJ)=IFF(LJJ)+LL*T/3.
IFF(LIJ)=LL*T/6.
IAABB(LII)=IAABB(LII)+T/LL
IAABB(LJJ)=IAABB(LJJ)+T/LL
30 IAABB(LIJ)=-T/LL
WRITE(3,2060) E(I),G(I),FF(I),IXX(I),IYY(I),IXY(I),IH(I),SWX(I),SW
1Y(I)
WRITE(3,2070)
DO 40 J=1,NUMPN(I)
II=NUMPN1(I)+J
40 WRITE(3,2080) J,SFX(II),SFY(II),IXF(II),IYF(II),IXBYA(II)

```


LISTING 9

```

WRITE(3,2090)
DO 60 J=1,NUMPN(I)
60 WRITE(3,2120) (IFF(NUMPN2(I)+(K-1)*NUMPN(I)-(K-1)*K/2+J),K=1,J)
WRITE(3,2100)
DO 70 J=1,NUMPN(I)
70 WRITE(3,2120) (IAABB(NUMPN2(I)+(K-1)*NUMPN(I)-(K-1)*K/2+J),K=1,J)
10 WRITE(3,2130)
IF (NTABLE.LE.0) GOTO 99
L=JTABLE/16
LL=JTABLE-16*L
IF (LL.GT.0) L=L+1
DO 96 I=1,NTABLE
K=0
DO 97 J=1,L
K=K+1
KK=K+16
READ(2,1015) (ITABLE(I,JJ),JJ=K,KK)
DO 98 JJ=K,KK
IF (ITABLE(I,JJ).EQ.0) GOTO 96
98 CONTINUE
97 K=KK
96 CONTINUE
99 WRITE(3,2140)
N=1
100 READ(2,1020) M,II,JJ,KK,MTYP,IS,KG
IF (KG.EQ.0) KG=1
120 IF (M.NE.N) GOTO 200
K=KK
I=II
J=JJ
KKK=KG
MTYPE=MTYP
IPST=IS
READ(2,1020) (NN(IL),IL=1,2*NUMPN(MTYPE))
200 XYZ(1,N)=X(I)
XYZ(2,N)=Y(I)
XYZ(3,N)=Z(I)
XYZ(4,N)=X(J)
XYZ(5,N)=Y(J)
XYZ(6,N)=Z(J)
XYZ(7,N)=X(K)
XYZ(8,N)=Y(K)
XYZ(9,N)=Z(K)
MATP(N)=MTYPE
IPS(N)=IPST
DO 390 L=1,6
LM(L,N)=ID(L,I)
390 LM(6+NUMPN(MTYPE)+L,N)=ID(L,J)
DO 400 L=1,NUMPN(MTYPE)
LM(6+L,N)=ID(6+NN(L),I)
400 LM(12+NUMPN(MTYPE)+L,N)=ID(6+NN(L+NUMPN(MTYPE)),J)
NMAX=12+2*NUMPN(MTYPE)
CALL COLHT (MHT,NMAX,LM(1,N))
WRITE(3,2150) N,I,J,K,MTYPE
IF (N.EQ.NUME) GOTO 500
N=N+1
I=I+KKK
J=J+KKK
IF (N.GT.M) GOTO 100
GOTO 120
500 WRITE(3,2160)
DO 600 I=1,NUME
600 WRITE(3,2170) I,(LM(J,I),J=1,12+NUMPN(MATP(I))*2)
RETURN
420 IF (IREF.EQ.1) GOTO 430
NNL=NWK*ITWO
CALL CLEAR (A(N4),NNL)
430 ISTRES=-1

```

LISTING 10

```

DO 710 N=1,NUME
MTYPE=MATP(N)
EY=E(MTYPE)
XNU=G(MTYPE)
FAC=EY/(1.-XNU*XNU)
PFAC=EY/(2.*(1.+XNU))
NMAX=12+2*NUMPN(MTYPE)
XCC=XC(MTYPE)
YCC=YC(MTYPE)
NSIZE=17+2*NUMPN(MTYPE)
IF (IELE.EQ.2) NSIZE=NMAX
DO 735 I=1,NMAX
DISP(I)=0.0
735 RE(I)=0.0
DO 440 I=1,3
DO 440 J=1,NSIZE
440 B(I,J)=0.0
DO 450 I=1,7
DO 450 J=1,NSIZE
450 BNL(I,J)=0.0
CALL LENGTH (XLT,XYZ(1,N))
CALL TRANSF (XYZ(1,N),AS,BS,TTT,DISP,PDISP(1,N),GAMA(N),NUMPN(MTYP
1E),1,KAS)
IF (KKSTEP.EQ.2) GOTO 460
DO 470 I=1,3
DO 470 J=1,3
470 TTT1(3*(J-1)+I,N)=TTT(I,J)
460 IF (KLIN.EQ.0) GOTO 726
IF (KKSTEP.EQ.1.AND.IREF.EQ.0) GOTO 726
DO 720 I=1,NMAX
IP=LM(I,N)
IF (IP.EQ.0) GOTO 720
DISP(I)=DID(IP)
720 CONTINUE
GAMAE=GAMA(N)
CALL TRANSF (XYZ(1,N),AS,BS,TTT,DISP,PDISP(1,N),GAMA(N),NUMPN(MTYP
1E),3,KAS)
DO 762 I=1,NMAX
DISP(I)=DISP(I)-PDISP(I,N)
IF (ICOUNT.NE.3.AND.ITONLY.NE.6) PDISP(I,N)=PDISP(I,N)+DISP(I)
762 CONTINUE
DO 701 I=1,6
IC(I)=I
701 IC(6+I)=6+NUMPN(MTYPE)+I
DO 722 I=1,10,3
II=IC(I)
DO 722 J=1,3
IJ=II+J-1
TEMP=0.
DO 723 K=1,3
IK=II+K-1
723 TEMP=TEMP+TTT1(3*(K-1)+J,N)*DISP(IK)
722 XM(IJ)=TEMP
DO 725 I=1,12
II=IC(I)
725 DISP(II)=XM(II)
IF (ICOUNT.EQ.3) GOTO 727
DO 728 I=1,3
DO 728 J=1,3
728 TTT1(3*(J-1)+I,N)=TTT(I,J)
727 IF ((XCC.NE.0.0).OR.(YCC.NE.0.0)) CALL TRANPC (DISP,RE,1)
IF (IELE.EQ.1) CALL ENDREL (AS,SREL(1,N),DISP,NSIZE,3,KM)
IF (ICOUNT.GT.2) GOTO 591
IF (IREF.NE.0) GOTO 591
726 DO 650 I=1,NSIZE
DO 650 J=1,NSIZE
650 AS(I,J)=0.0
IT=7+NUMPN(MTYPE)

```


LISTING 11

```
I8=I7+1
I9=I8+1
I10=I9+1
I11=I10+1
I12=I11+1
IF (IELE.EQ.2) GOTO 640
I13=13+2*NUMPN(MTYPE)
I14=I13+1
I15=I14+1
I16=I15+1
I17=I16+1
AA=PFAC*FF(MTYPE)/3./XLT
AS(1,1)=7.*AA
AS(1,I7)=AA
AS(1,I13)=-8.*AA
AS(I7,I7)=AS(1,1)
AS(I7,I13)=AS(1,I13)
AS(I13,I13)=16.*AA
AS(2,2)=AS(1,1)
AS(2,I8)=AS(1,I7)
AS(2,I14)=AS(1,I13)
AS(I8,I8)=AS(I7,I7)
AS(I8,I14)=AS(I7,I13)
AS(I14,I14)=AS(I13,I13)
AA=PFAC*FF(MTYPE)/6.
AS(1,6)=3.*AA
AS(1,I11)=-AA
AS(1,I16)=4.*AA
AS(6,I7)=AA
AS(6,I13)=-AS(1,I16)
AS(I7,I11)=-AS(1,6)
AS(I7,I16)=-AS(1,I16)
AS(I11,I13)=-AS(6,I13)
AS(2,4)=-AS(1,6)
AS(2,I10)=-AS(1,I11)
AS(2,I15)=-AS(1,I16)
AS(4,I8)=-AS(6,I7)
AS(4,I14)=-AS(6,I13)
AS(I8,I10)=-AS(I7,I11)
AS(I8,I16)=-AS(I7,I16)
AS(I10,I14)=-AS(I11,I13)
AA=PFAC*SWX(MTYPE)/3./XLT
BB=PFAC*SWY(MTYPE)/3./XLT
AS(1,6)=-7.*AA
AS(1,I12)=-AA
AS(1,I17)=8.*AA
AS(6,I7)=-AA
AS(6,I13)=AS(1,I17)
AS(I7,I12)=AS(1,6)
AS(I7,I17)=AS(1,I17)
AS(I12,I13)=AS(1,I17)
AS(I13,I17)=-16.*AA
AS(2,6)=-7.*BB
AS(2,I12)=-BB
AS(2,I17)=8.*BB
AS(6,I8)=-BB
AS(6,I14)=AS(2,I17)
AS(I8,I12)=AS(2,6)
AS(I8,I17)=AS(2,I17)
AS(I12,I14)=AS(2,I17)
AS(I14,I17)=-16.*BB
AA=PFAC*IH(MTYPE)/3./XLT
AS(6,6)=7.*AA
AS(6,I12)=AA
AS(6,I17)=-8.*AA
AS(I12,I12)=AS(6,6)
AS(I12,I17)=AS(6,I17)
AS(I17,I17)=16.*AA
```

LISTING 12

```

AA=FAC*FF(MTYPE)/XLT
AS(3,3)=AA
AS(3,19)=-AA
AS(19,19)=AA
AA=FAC*IXX(MTYPE)/XLT/3.
BB=FAC*IYY(MTYPE)/XLT/3.
CC=PFAC*FF(MTYPE)*XLT/15.
AS(5,5)=7.*AA+2.*CC
AS(5,111)=AA-0.5*CC
AS(5,116)=-8.*AA+CC
AS(111,111)=AS(5,5)
AS(111,116)=AS(5,116)
AS(116,116)=16.*AA+8.*CC
AS(4,4)=7.*BB+2.*CC
AS(4,110)=BB-0.5*CC
AS(4,115)=-8.*BB+CC
AS(110,110)=AS(4,4)
AS(110,115)=AS(4,115)
AS(115,115)=16.*BB+8.*CC
AA=-PFAC*SWX(MTYPE)/3.
BB=PFAC*SWY(MTYPE)/3.
AS(5,6)=3.*AA/2.
AS(5,112)=AA/2.
AS(5,117)=-2.*AA
AS(6,111)=-AS(5,112)
AS(6,116)=-AS(5,117)
AS(111,112)=-AS(5,6)
AS(111,116)=AS(5,116)
AS(111,117)=-AS(5,117)
AS(112,116)=AS(5,117)
AS(4,6)=3.*BB/2.
AS(4,112)=BB/2.
AS(4,117)=-2.*BB
AS(6,110)=-AS(4,117)
AS(6,115)=-AS(4,117)
AS(110,112)=-AS(4,6)
AS(110,117)=-AS(4,117)
DO 700 I=1,NUMPN(MTYPE)
II=NUMPN1(MTYPE)+I
II6=6+I
II12=12+NUMPN(MTYPE)+I
AA=PFAC*SFX(II)/6.
BB=PFAC*SFY(II)/6.
AS(1,II6)=-5.*AA
AS(1,II12)=-AA
AS(II6,17)=AA
AS(II6,113)=4.*AA
AS(17,II12)=-AS(1,II6)
AS(II12,113)=-AS(II6,113)
AS(2,II6)=-5.*BB
AS(2,II12)=-BB
AS(II6,18)=BB
AS(II6,114)=4.*BB
AS(18,II12)=-AS(2,II6)
AS(II12,114)=-AS(II6,114)
AA=PFAC*IXBYA(II)/6.
AS(6,II6)=-5.*AA
AS(6,II12)=-AA
AS(II6,112)=AA
AS(II6,117)=4.*AA
AS(112,II12)=-AS(6,II6)
AS(II12,117)=-AS(II6,117)
AA=-FAC*IXF(II)/XLT
BB=PFAC*SFX(II)*XLT/6.
CC=FAC*IYF(II)/XLT
DD=PFAC*SFY(II)*XLT/6.
AS(5,II6)=AA-BB
AS(5,II12)=-AA
AS(II6,111)=AS(5,II12)

```

LISTING 13

```

AS(II6,I16)=-2.*BB
AS(I11,II12)=AS(5,II6)
AS(II12,I16)=AS(II6,I16)
AS(4,II6)=CC+DD
AS(4,II12)=-CC
AS(II6,I10)=AS(4,II12)
AS(II6,I15)=2.*DD
AS(I10,II12)=AS(4,II6)
AS(II12,I15)=AS(II6,I15)
DO 700 J=I,NUMPN(MTYPE)
IJ=NUMPN2(MTYPE)+(I-1)*NUMPN(MTYPE)-(I-1)*I/2+J
JJ6=6+J
JJ12=12+NUMPN(MTYPE)+J
AA=FAC*IFF(IJ)/XLT
BB=PFAC*IAABB(IJ)*XLT/6.
AS(II6,JJ6)=AA+2.*BB
AS(II6,JJ12)=-AA+BB
AS(JJ6,II12)=AS(II6,JJ12)
700 AS(II12,JJ12)=AS(II6,JJ6)
GOTO 660
640 AA=2.*FAC*IXX(MTYPE)/XLT/XLT/XLT
AS(1,1)=6.*AA
AS(1,I7)=-AS(1,1)
AS(1,8)=3.*AA*XLT
AS(1,I11)=AS(1,5)
AS(5,8)=2.*AA*XLT*XLT
AS(5,I7)=-AS(1,5)
AS(5,I11)=AA*XLT*XLT
AS(I7,I7)=AS(1,1)
AS(I7,I11)=-AS(1,5)
AS(I11,I11)=AS(5,5)
BB=2.*FAC*IYY(MTYPE)/XLT/XLT/XLT
AS(2,2)=6.*BB
AS(2,I8)=-AS(2,2)
AS(2,4)=-3.*BB*XLT
AS(2,I10)=AS(2,4)
AS(4,4)=2.*BB*XLT*XLT
AS(4,I8)=-AS(2,4)
AS(4,I10)=BB*XLT*XLT
AS(I8,I8)=AS(2,2)
AS(I8,I10)=-AS(2,4)
AS(I10,I10)=AS(4,4)
AA=FAC*FF(MTYPE)/XLT
AS(3,3)=AA
AS(3,I9)=-AA
AS(I9,I9)=AA
AA=PFAC*IH(MTYPE)/XLT
AS(6,6)=AA
AS(6,I12)=-AA
AS(I12,I12)=AA
DO 718 I=1,NUMPN(MTYPE)
II=NUMPN1(MTYPE)+I
II6=6+I
II12=12+NUMPN(MTYPE)+I
AA=PFAC*IXBYA(II)/2.
AS(6,II6)=-AA
AS(6,II12)=-AA
AS(II6,I12)=AA
AS(I12,II12)=AA
AA=FAC*IYF(II)/XLT
AS(4,II6)=AA
AS(4,II12)=-AA
AS(II6,I10)=-AA
AS(I10,II12)=AA
BB=FAC*IXF(II)/XLT
AS(8,II6)=-BB
AS(8,II12)=BB
AS(II6,I11)=BB

```

LISTING 14

```

AS(II1,II12)=-BB
DO 715 J=I,NUMPN(MTYPE)
IJ=NUMPN2(MTYPE)+(I-1)*NUMPN(MTYPE)-(I-1)*I/2+J
JJ6=6+J
JJ12=12+NUMPN(MTYPE)+J
AA=FAC*IFF(IJ)/XLT
BB=PFAC*IAABB(IJ)*XLT/6.
AS(II6,JJ6)=AA+2.*BB
AS(II6,JJ12)=-AA+BB
AS(JJ6,II12)=AS(II6,JJ12)
715 AS(II12,JJ12)=AS(II6,JJ6)
660 IF (KLIN.EQ.0) GOTO 592
IF (KKSTEP.EQ.1.AND.IREF.EQ.0) GOTO 592
GOTO 591
592 DO 590 I=1,NSIZE
DO 590 J=1,NSIZE
590 AS(J,I)=AS(I,J)
GOTO 742
591 NMN=NUMPN(MTYPE)
NMS=NUMPS(MTYPE)
NMN1=NUMPN1(MTYPE)
NMS1=NUMPS1(MTYPE)
CALL STIFNL (NMN,NMS,XX(NMN1+1),YY(NMN1+1),TS(NMS1+1),ISN(2*NMS1+1
1),AS,RE,WA(1,N),DISP,B,BNL,KAS)
IF (IREF.EQ.0.AND.NRORC.EQ.2) GOTO 739
IF (IEQREF.EQ.1.AND.NRORC.EQ.2) GOTO 739
IF ((XCC.NE.0.0).OR.(YCC.NE.0.0)) CALL TRANPC (DISP,RE,2)
DO 732 I=1,12
II=IC(I)
732 XM(II)=RE(II)
DO 733 I=1,10,3
II=IC(I)
DO 733 J=1,3
TEMP=0.0
IJ=II+J-1
DO 734 K=1,3
IK=II+K-1
734 TEMP=TEMP+TTT(K,J)*XM(IK)
733 RE(IJ)=TEMP
MADR=N3
IF (ICOUNT.EQ.3) MADR=N5
CALL ADDBAN (NMAX,A(MADR),A(N1),S,RE,LM(1,N),2)
739 IF (ICOUNT-2) 740,740,711
740 IF (IREF) 710,742,710
742 K=0
IF (IELE.EQ.1) CALL ENDREL (AS,SREL(1,N),DISP,NSIZE,2,KM)
CALL TRANSF (XYZ(1,N),AS,BS,TTT,DISP,PDISP(1,N),GAMA(N),NUMPN(MTYP
1E),2,KAS)
DO 746 I=1,NMAX
DO 746 J=I,NMAX
K=K+1
746 S(K)=AS(I,J)
CALL ADDBAN (NMAX,A(N4),A(N1),S,RE,LM(1,N),1)
GOTO 710
711 GAMA(N)=GAMAE
710 CONTINUE
RETURN
800 ICOUNT=3
IPRNT=0
DO 858 N=1,NUME
IPST=IPS(N)
IF (IPST.EQ.0) GOTO 855
IPRNT=IPRNT+1
IF (IPRNT.NE.1) GOTO 894
WRITE (3,2025)
894 MTYPE=MATP(N)
XCC=XC(MTYPE)
YCC=YC(MTYPE)

```

LISTING 18

```

      DO 797 I=1,6
      IC(I)=I
797  IC(6+I)=6+NUMPN(MTYPE)+I
      EY=E(MTYPE)
      XNU=G(MTYPE)
      FAC=EY/(1.-XNU*XNU)
      PFAC=EY/(2.*(1.+XNU))
      NMAX=12+2*NUMPN(MTYPE)
      NSIZE=17+2*NUMPN(MTYPE)
      IF (IELE.EQ.2) NSIZE=NMAX
      DO 810 I=1,3
      DO 810 J=1,NSIZE
810  B(I,J)=0.0
      DO 820 I=1,7
      DO 820 J=1,NSIZE
820  BNL(I,J)=0.0
      DO 856 I=1,NMAX
      DISP(I)=0.
      IP=LM(I,N)
      IF (IP.EQ.0) GOTO 856
      DISP(I)=DID(IP)
856  CONTINUE
      CALL LENGTH (XLT,XYZ(1,N))
      CALL TRANSF (XYZ(1,N),AS,BS,TTT,DISP,PDISP(1,N),GAMA(N),NUMPN(MTY
1E),1,KAS)
      GAMAЕ=GAMA(N)
      CALL TRANSF (XYZ(1,N),AS,BS,TTT,DISP,PDISP(1,N),GAMA(N),NUMPN(MTY
1E),3,KAS)
      DO 863 I=1,NMAX
863  DISP(I)=DISP(I)-PDISP(I,N)
      DO 870 I=1,10,3
      II=IC(I)
      DO 870 J=1,3
      IJ=II+J-1
      TEMP=0.
      DO 871 K=1,3
      IK=II+K-1
871  TEMP=TEMP+TTT1(3*(K-1)+J,N)*DISP(IK)
870  XM(IJ)=TEMP
      DO 873 I=1,12
      II=IC(I)
873  DISP(II)=XM(II)
      IF ((XCC.NE.0.0).OR.(YCC.NE.0.0)) CALL TRANPC (DISP,RE,1)
      IF (IELE.EQ.1) CALL ENDREL (AS,SREL(1,N),DISP,NSIZE,3,KM)
      ISTRES=0
      IF (NTABLE) 862,862,865
862  WRITE(3,2026) N
      NMN=NUMPN(MTYPE)
      NMS=NUMPS(MTYPE)
      NMN1=NUMPN1(MTYPE)
      NMS1=NUMPS1(MTYPE)
      CALL STIFNL (NMN,NMS,XX(NMN1+1),YY(NMN1+1),TS(NMS1+1),ISN(2*NMS1+
1),AS,RE,WA(1,N),DISP,B,BNL,KAS)
      GAMA(N)=GAMAЕ
      GOTO 856
865  ISTRES=1
      WRITE(3,2026) N
      L=IPST
      DO 867 K=1,JTABLE
      M=ITABLE(L,K)
      IF (M) 855,855,868
868  I1=M/10000
      II=M-I1*10000
      I3=II/100
      III=II-I3*100
      I2=III/10
      I4=III-I2*10
      IST=4*(3*((I2-1)+INTS*((I3-1)+NUMPS(MTYPE)*(I1-1)))+I4-1)+1

```


LISTING 16

```

      IST=IST+1
      ISTRES=IST
      NMN=NUMPN(MTYPE)
      NMS=NUMPS(MTYPE)
      NMN1=NUMPN1(MTYPE)
      NMS1=NUMPS1(MTYPE)
867  CALL STIFNL (NMN,NMS,XX(NMN1+1),YY(NMN1+1),TS(NMS1+1),ISN(2*NMS1+1
      ),AS,RE,WA(1,N),DISP,B,BNL,KM)
      GAMA(N)=GAMAE
855  CONTINUE
      RETURN
1000  FORMAT (2F10.0)
1010  FORMAT (2I6,F10.0)
1015  FORMAT (16I5)
1016  FORMAT (6F10.0)
1020  FORMAT (16I5)
2000  FORMAT (18H GRUPA ELEMENATA -,I3/1H+,20(1H-)/)
2010  FORMAT (56H BR. CVOROVA POLIGONALNOG PRESEKA . . . . . (NUMPN)
      1=,I5/56H BR. STRANA POLIGONALNOG PRESEKA . . . . . (NUMPS) =,I
      25)
2015  FORMAT (//4TH RASTOJANJE TEZISTA OD SISTEMNE TACKE PRESEKA: ,3HXC=
      1,E10.3,2X,3HYC=,E10.3)
2020  FORMAT (//5H CVOR,7X,10HKOORDINATE/12X,1HX,8X,1HY)
2025  FORMAT (1H ,17X,28HP R O R A C U N N A P O N A //
      11X,THELEMENT,2X,8HLOKACIJA,13X,20HKOMPONENTALNI NAPONI/10X,
      28HZ SP S E,8X,2HZZ,12X,2HZX,12X,2HZY)
2026  FORMAT (/1X,I5)
2030  FORMAT (1X,I3,3X,2F9.3)
2040  FORMAT (//7H STRANA,3X,6H1.CVOR,3X,6H2.CVOR,3X,13HDEBLJINA ZIDA/)
2050  FORMAT (1X,I4,5X,I4,5X,I4,5X,E12.5)
2060  FORMAT (//24H MODUL ELASTICNOSTI E=,E12.5/24H POISONOV KOEFICIJE
      1NT G=,E12.5/22H POVRSINA PRESEKA A=,E12.5/22H MOMENAT INERCIJE I
      2XX=,E12.5/22H MOMENAT INERCIJE IYY=,E12.5/22H MOMENAT INERCIJE IXY
      3=,E12.5/6H IH=,E12.5/6H SWX=,E12.5/6H SWY=,E12.5//)
2070  FORMAT (5H CVOR,6X,3HSFX,9X,3HSFY,9X,3HIXF,9X,3HIYF,6X,9HIXFY-IYFX
      1/)
2080  FORMAT (I4,2X,5E12.4)
2090  FORMAT (//4H IFF/4H+---/)
2100  FORMAT (//12H IFXFX+IFYFY/12H+-----/)
2120  FORMAT (8E11.3)
2130  FORMAT (///)
2140  FORMAT (5H STAP,3X,6HCVOR I,3X,6HCVOR J,3X,6HCVOR K,3X,5HGRUPA/)
2150  FORMAT (I4,4X,I4,5X,I4,5X,I4,5X,I3)
2160  FORMAT (//48H STAP VEZA LOKALNE I GLOBALNE MATRICE KRUTOSTI/)
2170  FORMAT (I4,1X,19I4)
      END
-----
      SUBROUTINE COLHT (MHT,ND,LM)
      DIMENSION LM(1),MHT(1)
      LS=100000
      DO 100 I=1,ND
      IF (LM(I)) 110,100,110
110  IF (LM(I)-LS) 120,100,100
120  LS=LM(I)
100  CONTINUE
      DO 200 I=1,ND
      II=LM(I)
      IF (II.EQ.0) GOTO 200
      ME=II-LS
      IF (ME.GT.MHT(II)) MHT(II)=ME
200  CONTINUE
      RETURN
      END
-----
      SUBROUTINE ADDRES (MAXA,MHT)
      COMMON /SOL/ NUMNP,NBOUN,NEQ,MAXEST,NWK,MK,NSTE,IELE
      DIMENSION MAXA(1),MHT(1)
      NN=NEQ+1

```


LISTING 18

```

*      DO 5 I=1,3
*      5 DLL(I)=DISP(I+6+NUMPN)-DISP(I)
*      ADUM=(XLN1+DLL(3))*2+DLL(2)*DLL(2)
*      ADUM=DSQRT(ADUM)
*      XLN2=ADUM*ADUM+DLL(1)*DLL(1)
*      XLN2=DSQRT(XLN2)
*      EPS1=(XLN1-XLT)/XLT
*      EPS=(XLN2-XLT)/XLT
*      GOTO 2
*      1 EPS1=WA(1)
*      EPS=(XLN-XLT)/XLT
*      2 DO 60 I=1,6
*      ICC(I)=I
60 ICC(8+I)=6+NUMPN+I
*      DO 70 I=1,6
70 ICC(I+16)=2*NUMPN+12+I
*      IF (ISTRES) 49,49,10
10 ZOL=(-1)**I1/DBLE(FLOAT(INTZ-1))
*      L1=I1/2
*      ZOL=ZOL*L1+.6
*      IC1=ISN(2*I3-1)
*      IC2=ISN(2*I3)
*      TT=TS(I3)
*      X2=XX(IC2)
*      X1=XX(IC1)
*      Y2=YY(IC2)
*      Y1=YY(IC1)
*      LL=DSQRT((X2-X1)*(X2-X1)+(Y2-Y1)*(Y2-Y1))
*      COS=(Y2-Y1)/LL
*      SIN=(X1-X2)/LL
*      ICC(7)=6+IC1
*      ICC(8)=6+IC2
*      ICC(15)=12+NUMPN+IC1
*      ICC(16)=12+NUMPN+IC2
*      SOL=(-1)**I2/DBLE(FLOAT(INTS-1))
*      L2=I2/2
*      SOL=SOL*L2+.6
*      SOLX=X1+(X2-X1)*SOL
*      SOLY=Y1+(Y2-Y1)*SOL
*      EOL=(-1)**I4/DBLE(2.0)
*      L3=I4/2
*      EOL=EOL*L3*TT
*      SOL1X=SOLX+EOL*COS
*      SOL1Y=SOLY+EOL*SIN
*      CALL SHAPE (SOL1X,SOL1Y,EOL,LL,COS,SIN,B,BNL)
*      IST=ISTRES
*      CALL BLPAL (WA(IST),DISP,B)
*      WRITE(3,2000) I1,I3,I2,I4,(SIG(I),I=1,3)
*      RETURN
49 IST=-2
*      DO 100 I1=1,INTZ
*      ZOL=(-1)**I1/DBLE(FLOAT(INTZ-1))
*      L1=I1/2
*      ZOL=ZOL*L1+.6
*      DO 100 I3=1,NUMPS
*      IC1=ISN(2*I3-1)
*      IC2=ISN(2*I3)
*      TT=TS(I3)
*      X2=XX(IC2)
*      X1=XX(IC1)
*      Y2=YY(IC2)
*      Y1=YY(IC1)
*      LL=DSQRT((X2-X1)*(X2-X1)+(Y2-Y1)*(Y2-Y1))
*      COS=(Y2-Y1)/LL
*      SIN=(X1-X2)/LL
*      ICC(7)=6+IC1
*      ICC(8)=6+IC2
*      ICC(15)=12+NUMPN+IC1

```

LISTING 19

```

      ICC(16)=12+NUMPN+IC2
      DELV=XLT*TT*LL
      DO 110 I2=1,INTS
      SOL=(-1)**I2/DBLE(FLOAT(INTS-1))
      L2=I2/2
      SOL=SOL*L2+0.5
      SOLX=X1+(X2-X1)*SOL
      SOLY=Y1+(Y2-Y1)*SOL
      DO 115 I4=1,3
      EOL=(-1)**I4/DBLE(2.0)
      L3=I4/2
      EOL=EOL*L3*TT
      SOL1X=SOLX+EOL*COS
      SOL1Y=SOLY+EOL*SIN
      CALL SHAPE (SOL1X,SOL1Y,EOL,LL,COS,SIN,B,BNL)
      IST=IST+4
      CALL BLPAL (WA(IST),DISP,B)
      IF (NTABLE.EQ.0.AND.ISTRES.EQ.0) GOTO 120
      WFAC=WI(I1,INTZ)*WI(I2,INTS)*WI(I4,3)*DELV
      TAU13=SIG(2)
      TAU23=SIG(3)
      IF (IREF.EQ.0.AND.NRORC.EQ.2) GOTO 323
      IF (IEQREF.EQ.1.AND.NRORC.EQ.2) GOTO 323
      TAU33=SIG(4)
      DO 324 L=1,2
      DO 324 I=1,4,3
      DO 324 K=I,2*I
      KL=(L-1)*8+K
      J=ICC(KL)
      TEMP=B(1,J)*TAU33+B(2,J)*TAU13+B(3,J)*TAU23
324  RE(J)=RE(J)+TEMP*WFAC
      TAU33=SIG(1)-SIG(4)
      DO 325 I=1,2
      K=(I-1)*8+3
      J=ICC(K)
      TEMP=B(1,J)*TAU33+B(2,J)*TAU13+B(3,J)*TAU23
325  RE(J)=RE(J)+TEMP*WFAC
323  IF (ICOUNT.GT.2) GOTO 115
      IF (IREF.NE.0) GOTO 115
326  TAU33=SIG(1)
      K=21
      IF (IELE.EQ.2) K=16
      DO 400 I=1,K
      II=ICC(I)
      DO 400 J=I,K
      JJ=ICC(J)
      TEMP=(BNL(5,II)*BNL(5,JJ)+BNL(6,II)*BNL(6,JJ)+BNL(7,II)*BNL(7,JJ))
      1*TAU33+(BNL(1,II)*BNL(6,JJ)+BNL(2,II)*BNL(7,JJ)+BNL(6,II)*BNL(1,JJ)
      2)+BNL(7,II)*BNL(2,JJ))*TAU13+(BNL(3,II)*BNL(5,JJ)+BNL(4,II)*BNL(7,
      3JJ)+BNL(5,II)*BNL(3,JJ)+BNL(7,II)*BNL(4,JJ))*TAU23
      AS(II,JJ)=AS(II,JJ)+TEMP*WFAC
400  CONTINUE
      IF (NTABLE.NE.0.OR.ISTRES.NE.0) GOTO 115
120  WRITE(3,2000) I1,I3,I2,I4,(SIG(I),I=1,3)
115  CONTINUE
110  CONTINUE
105  CONTINUE
100  CONTINUE
      IF (ISTRES.GE.0) RETURN
      IF (ICOUNT.GT.2) RETURN
      IF ((XC.NE.0.0).OR.(YC.NE.0.0)) EPS=XLN2
      WA(1)=EPS
      IF (IREF) 351,369,351
369  L=17+2*NUMPN
      IF (IELE.EQ.2) L=L-5
      DO 350 I=2,L
      K=I-1
      DO 350 J=1,K

```

LISTING 20

```

350 AS(I,J)=AS(J,I)
351 CONTINUE
RETURN
2000 FORMAT (9X,I2,I3,2I2,2X,3E14.6)
END

```

```

-----
SUBROUTINE SHAPE (SOLX,SOLY,EOL,LL,COS,SIN,B,BNL)
IMPLICIT REAL*8 (A-H,O-Z)
COMMON /STNL/ XLT,ZOL,SOL,FAC,PFAC,INTZ,INTS
COMMON /ICCOM/ L(21)
COMMON /EL/ IND,ICOUNT,NUMMAT,MTOT,ITWO,NUME,NUM1,NUM2,NUM3,KLIN
COMMON /SOL/ NUMNP,NBOUN,NEQ,MAXEST,NWK,MK,NSTE,IELE
REAL*8 LL
DIMENSION B(3,1),BNL(7,1)
HN=SOLX*SIN-SOLY*COS
DWX=HN*COS+EOL*SIN
DWY=HN*SIN-EOL*COS
W=HN*EOL
F1=(1.-SOL)/XLT
F2=SOL/XLT
IF (IELE.EQ.2) GOTO 20
R1=(-3.+4.*ZOL)/XLT
R2=(-1.+4.*ZOL)/XLT
R3=1.-3.*ZOL+2.*ZOL*ZOL
R4=(1.-2.*ZOL)*ZOL
R5=(4.-8.*ZOL)/XLT
R6=(1.-ZOL)*ZOL*4.
B(1,3)=-1./XLT
B(1,4)=SOLY*R1
B(1,5)=-SOLX*R1
B(1,6)=-4*W/XLT/XLT
B(1,L(11))=-B(1,3)
B(1,L(12))=SOLY*R2
B(1,L(13))=-SOLX*R2
B(1,L(14))=B(1,6)
B(1,L(19))=SOLY*R5
B(1,L(20))=-SOLX*R5
B(1,L(21))=-2.*B(1,6)
B(2,1)=R1
B(2,5)=-R3
B(2,6)=- (SOLY+DWX)*R1
B(2,L(9))=R2
B(2,L(13))=R4
B(2,L(14))=- (SOLY+DWX)*R2
B(2,L(17))=R5
B(2,L(20))=-R6
B(2,L(21))=- (SOLY+DWX)*R5
B(3,2)=R1
B(3,4)=R3
B(3,6)=(SOLX-DWY)*R1
B(3,L(10))=R2
B(3,L(12))=-R4
B(3,L(14))=(SOLX-DWY)*R2
B(3,L(18))=R5
B(3,L(19))=R6
B(3,L(21))=(SOLX-DWY)*R5
B(1,L(7))=-F1
B(1,L(8))=-F2
B(1,L(15))=F1
B(1,L(16))=F2
B(2,L(7))=SIN*(1.-ZOL)/LL
B(2,L(8))=-B(2,L(7))
B(2,L(15))=SIN*ZOL/LL
B(2,L(16))=-B(2,L(15))
B(3,L(7))=-COS*(1.-ZOL)/LL
B(3,L(8))=-B(3,L(7))
B(3,L(15))=-COS*ZOL/LL
B(3,L(16))=-B(3,L(15))

```

LISTING 21

```

IF (KLIN.EQ.0) GOTO 10
BNL(1,6)=R3
BNL(1,L(14))=-R4
BNL(2,5)=-R3
BNL(2,6)=-DWX*R1
BNL(2,L(13))=R4
BNL(2,L(14))=-DWX*R2
BNL(3,6)=-R3
BNL(3,L(14))=R4
BNL(4,4)=R3
BNL(4,6)=-DWY*R1
BNL(4,L(12))=-R4
BNL(4,L(14))=-DWY*R2
BNL(5,1)=R1
BNL(5,6)=-SOLY*R1
BNL(5,L(9))=R2
BNL(5,L(14))=-SOLY*R2
BNL(6,2)=R1
BNL(6,6)=SOLX*R1
BNL(6,L(10))=R2
BNL(6,L(14))=SOLX*R2
BNL(7,3)=-1./XLT
BNL(7,4)=-BNL(5,6)
BNL(7,5)=-BNL(6,6)
BNL(7,6)=-4*W/XLT/XLT
BNL(7,L(11))=1./XLT
BNL(7,L(12))=-BNL(5,L(14))
BNL(7,L(13))=-BNL(6,L(14))
BNL(7,L(14))=BNL(7,6)
BNL(2,L(7))=SIN*(1.-ZOL)/LL
BNL(2,L(8))=-BNL(2,L(7))
BNL(2,L(15))=SIN*ZOL/LL
BNL(2,L(16))=-BNL(2,L(15))
BNL(4,L(7))=-COS*(1.-ZOL)/LL
BNL(4,L(8))=-BNL(4,L(7))
BNL(4,L(15))=-COS*ZOL/LL
BNL(4,L(16))=-BNL(4,L(15))
BNL(7,L(7))=-F1
BNL(7,L(8))=-F2
BNL(7,L(15))=F1
BNL(7,L(16))=F2
BNL(1,L(21))=R6
BNL(2,L(20))=-R6
BNL(2,L(21))=-DWX*R5
BNL(3,L(21))=-R6
BNL(4,L(19))=R6
BNL(4,L(21))=-DWY*R5
BNL(5,L(17))=R6
BNL(5,L(21))=-SOLY*R6
BNL(6,L(18))=R6
BNL(6,L(21))=SOLX*R5
BNL(7,L(19))=-BNL(5,L(21))
BNL(7,L(20))=-BNL(6,L(21))
BNL(7,L(21))=-2.*BNL(7,6)
GOTO 10
20 R1=(6.-12.*ZOL)/XLT/XLT
R2=(4.-6.*ZOL)/XLT
R3=(2.-6.*ZOL)/XLT
R4=(6.*ZOL-6.*ZOL*ZOL)/XLT
R5=-1.+4.*ZOL-3.*ZOL*ZOL
R6=2.*ZOL-3.*ZOL*ZOL
B(1,1)=SOLX*R1
B(1,2)=SOLY*R1
B(1,3)=-1./XLT
B(1,4)=-SOLY*R2
B(1,8)=SOLX*R2
B(1,L(9))=-B(1,1)
B(1,L(10))=-B(1,2)

```

LISTING 22

```

B(1,L(11))=-B(1,3)
B(1,L(12))=-SOLY*R3
B(1,L(13))=SOLX*R3
B(1,L(7))=-F1
B(1,L(8))=-F2
B(1,L(15))=F1
B(1,L(16))=F2
B(2,6)=(SOLY+DWX)/XLT
B(2,L(14))=-B(2,6)
B(3,6)=- (SOLX-DWY)/XLT
B(3,L(14))=-B(3,6)
B(2,L(7))=SIN*(1.-ZOL)/LL
B(2,L(8))=-B(2,L(7))
B(2,L(15))=SIN*ZOL/LL
B(2,L(16))=-B(2,L(15))
B(3,L(7))=-COS*(1.-ZOL)/LL
B(3,L(8))=-B(3,L(7))
B(3,L(15))=-COS*ZOL/LL
B(3,L(16))=-B(3,L(15))
IF (KLIN.EQ.Ø) GOTO 1Ø
BNL(1,6)=1.-ZOL
BNL(1,L(14))=ZOL
BNL(2,1)=R4
BNL(2,5)=R5
BNL(2,6)=DWX/XLT
BNL(2,L(9))=-BNL(2,1)
BNL(2,L(13))=R6
BNL(2,L(14))=-BNL(2,6)
BNL(3,6)=-B(1,6)
BNL(3,L(14))=-BNL(1,L(14))
BNL(4,2)=BNL(2,1)
BNL(4,4)=-BNL(2,5)
BNL(4,6)=DWY/XLT
BNL(4,L(1Ø))=BNL(2,L(9))
BNL(4,L(12))=-BNL(2,L(13))
BNL(4,L(14))=-BNL(4,6)
BNL(5,1)=-BNL(2,1)
BNL(5,5)=-BNL(2,5)
BNL(5,6)=SOLY/XLT
BNL(5,L(9))=-BNL(2,L(9))
BNL(5,L(13))=-BNL(2,L(13))
BNL(5,L(14))=-BNL(5,6)
BNL(6,2)=-BNL(4,2)
BNL(6,4)=-BNL(4,4)
BNL(6,6)=-SOLX/XLT
BNL(6,L(1Ø))=-BNL(4,L(1Ø))
BNL(6,L(12))=-BNL(4,L(12))
BNL(6,L(14))=-BNL(6,6)
BNL(7,1)=SOLX*R1
BNL(7,2)=SOLY*R1
BNL(7,3)=-1./XLT
BNL(7,4)=-SOLY*R2
BNL(7,5)=SOLX*R2
BNL(7,L(9))=-BNL(7,1)
BNL(7,L(1Ø))=-BNL(7,2)
BNL(7,L(11))=1./XLT
BNL(7,L(12))=-SOLY*R3
BNL(7,L(13))=SOLX*R3
BNL(2,L(7))=SIN*(1.-ZOL)/LL
BNL(2,L(8))=-BNL(2,L(7))
BNL(2,L(15))=SIN*ZOL/LL
BNL(2,L(16))=-BNL(2,L(15))
BNL(4,L(7))=-COS*(1.-ZOL)/LL
BNL(4,L(8))=-BNL(4,L(7))
BNL(4,L(15))=-COS*ZOL/LL
BNL(4,L(16))=-BNL(4,L(15))
BNL(7,L(7))=-F1
BNL(7,L(8))=-F2

```


LISTING 23

```

      BNL(7,L(15))=F1
      BNL(7,L(16))=F2
100 CONTINUE
      RETURN
      END

```

```

-----
SUBROUTINE BLPAL (SIGO,DISP,B)
IMPLICIT REAL*8 (A-H,O-Z)
COMMON /ICCOM/ M(21)
COMMON /STNL/ XLT,ZOL,SOL,FAC,PFAC,INTZ,INTS
COMMON /EL/ IND,ICOUNT,NUMMAT,MTOT,ITWO,NUME,NUM1,NUM2,NUM3,KLIN
COMMON /BTRANS/ DXYZ(9),XLN,EPS,EPS1
COMMON /BELSTR/ SIG(4)
COMMON /SOL/ NUMNP,NBOUN,NEQ,MAXEST,NWK,MK,NSTE,IELE
DIMENSION SIGO(4),DELEPS(4),DELSIG(4),DISP(1),B(3,1)
DO 100 I=1,4
100 SIG(I)=SIGO(I)
      I=1
      TEMP=0.
      DO 105 J=1,4
105 DELEPS(J)=0.0
      IF (IELE.EQ.2) GOTO 140
      DO 108 J=1,5
108 TEMP=TEMP+B(I,M(3+J))*DISP(M(3+J))+B(I,M(11+J))*DISP(M(11+J))+
      1B(I,M(16+J))*DISP(M(16+J))
      GOTO 130
140 DO 110 J=1,3
      DO 110 K=1,2
      L=(3*J-3)+K
110 TEMP=TEMP+B(I,M(L))*DISP(M(L))+B(I,M(L+8))*DISP(M(L+8))
130 DELEPS(4)=TEMP
      DELEPS(1)=DELEPS(4)+B(I,M(3))*DISP(M(3))+B(I,M(11))*DISP(M(11))
      DELEPS(1)=DELEPS(4)+EPS-EPS1
      IF (IELE.EQ.2) GOTO 150
      DO 310 I=2,3
      DO 310 J=1,21
      DELEPS(I)=DELEPS(I)+B(I,M(J))*DISP(M(J))
310 CONTINUE
      GOTO 160
150 DO 320 I=2,3
      DO 320 J=6,8
320 DELEPS(I)=DELEPS(I)+B(I,M(J))*DISP(M(J))+B(I,M(J+8))*DISP(M(J+8))
160 DELSIG(1)=FAC*DELEPS(1)
      DELSIG(4)=FAC*DELEPS(4)
      DO 120 L=2,3
120 DELSIG(L)=PFAC*DELEPS(L)
      DO 125 L=1,4
125 SIG(L)=DELSIG(L)+SIG(L)
      IF (ICOUNT.EQ.3) GOTO 200
      DO 12 I=1,4
      12 SIGO(I)=SIG(I)
200 CONTINUE
      RETURN
      END

```

```

-----
SUBROUTINE ENDREL (AS,SREL,DISP,NSIZE,IENDRL,KM)
IMPLICIT REAL*8 (A-H,O-Z)
DIMENSION AS(2*KM+5,1),SREL(5,1),DISP(1)
IF (IENDRL-2) 30,30,10
10 DO 20 J=1,5
      JJ=NSIZE-5+J
      DUM=0.0
      K=JJ-1
      DO 15 I=1,K
15 DUM=DUM+SREL(J,I)*DISP(I)
20 DISP(JJ)=-DUM/SREL(J,JJ)
      RETURN
30 DO 40 K=1,5

```

LISTING 24

```

LL=NSIZE-K
KK=LL+1
DO 40 L=1,LL
DUM=AS(KK,L)/AS(KK,KK)
DO 40 M=1,L
40 AS(L,M)=AS(L,M)-AS(KK,M)*DUM
DO 50 I=1,5
K=NSIZE-5+I
DO 50 J=1,NSIZE
50 SREL(I,J)=AS(K,J)
NNSIZE=NSIZE-5
DO 60 I=2,NNSIZE
K=I-1
DO 60 J=1,K
60 AS(J,I)=AS(I,J)
RETURN
END
-----
SUBROUTINE TRANSF (XYZ,AS,BS,T,DISP,PDISP,GAMA,NUMPN,ITONLY,KAS)
IMPLICIT REAL*8 (A-H,O-Z)
COMMON /STNL/ XLT,ZOL,SOL,FAC,PFAC,INTZ,INTS
COMMON /BTRANS/ DXYZ(9),XLN,EPS,EPS1
COMMON /EL/ IND,ICOUNT,NUMMAT,MTOT,ITWO,NUME,NUM1,NUM2,NUM3,KLIN
COMMON /SOL/ NUMNP,NBOUN,NEQ,MAXEST,NWK,MK,NSTE,IELE
COMMON /VAR/ MODEX,KSTEP,ITEMAX,KPRI,IPRI,ITE,IEQREF,IREF,KKSTEP
COMMON /IC/ IC(12),XC,YC
DIMENSION T(3,3),XYZ(9),AS(KAS,1),BS(3,3),XM(3),DL(3),PDISP(1),
1DISP(1),ICC(4),IDD(2)
IF (ITONLY-2) 5,11,200
5 CX=XYZ(4)-XYZ(1)
CY=XYZ(5)-XYZ(2)
CZ=XYZ(6)-XYZ(3)
DX=XYZ(7)-XYZ(1)
DY=XYZ(8)-XYZ(2)
DZ=XYZ(9)-XYZ(3)
AX=DY*CZ-CY*DZ
AY=CX*DZ-DX*CZ
AZ=DX*CY-CX*DY
AL=DSQRT(AX*AX+AY*AY+AZ*AZ)
CL=DSQRT(CX*CX+CY*CY+CZ*CZ)
T(1,1)=AX/AL
T(1,2)=AY/AL
T(1,3)=AZ/AL
T(3,1)=CX/CL
T(3,2)=CY/CL
T(3,3)=CZ/CL
T(2,1)=T(1,3)*T(3,2)-T(1,2)*T(3,3)
T(2,2)=T(1,1)*T(3,3)-T(1,3)*T(3,1)
T(2,3)=T(1,2)*T(3,1)-T(1,1)*T(3,2)
100 CONTINUE
RETURN
200 DO 201 I=1,3
201 XM(I)=DISP(I+6+NUMPN)-DISP(I)
205 DO 202 I=1,3
TEMP=0.0
DO 203 J=1,3
203 TEMP=TEMP+T(I,J)*XM(J)
202 DL(I)=TEMP
ADUM=(XLT+DL(3))*2+DL(2)*DL(2)
ADUM=DSQRT(ADUM)
TEMP=ADUM/XLT
IF (TEMP.GT.0.000001D0) GOTO 223
DO 221 I=1,3
221 XM(I)=PDISP(I+6+NUMPN)-PDISP(I)
ITONLY=5
GOTO 205
223 AROT=(XLT+DL(3))/ADUM
BROT=DL(2)/ADUM

```

LISTING 28

```

XLN=ADUM*ADUM+DL(1)*DL(1)
XLN=DSQRT(XLN)
CROT=ADUM/XLN
DROT=DL(1)/XLN
BS(3,3)=AROT*CROT
BS(3,1)=DROT
BS(3,2)=BROT*CROT
BS(1,3)=-AROT*DROT
BS(1,1)=CROT
BS(1,2)=-BROT*DROT
BS(2,3)=-BROT
BS(2,1)=0.0
BS(2,2)=AROT
DO 230 I=1,3
DO 232 J=1,3
TEMP=0.0
DO 234 K=1,3
234 TEMP=TEMP+BS(I,K)*T(K,J)
232 XM(J)=TEMP
DO 235 L=1,3
235 BS(I,L)=XM(L)
230 CONTINUE
RROT=0.0
DO 210 I=1,3
210 RROT=RROT+T(3,I)*((DISP(I+3)-PDISP(I+3))*(DISP(I+9+NUMPN)-PDISP(I+
19+NUMPN)))
RROT=0.5*RROT+GAMA
GAMA=RROT
ROT1=DCOS(RROT)
ROT2=DSIN(RROT)
DO 215 I=1,3
T(3,I)=BS(3,I)
T(1,I)=ROT1*BS(1,I)+ROT2*BS(2,I)
215 T(2,I)=-ROT2*BS(1,I)+ROT1*BS(2,I)
RETURN
11 IF ((XC.EQ.0.0).AND.(YC.EQ.0.0)) GOTO 9
NMAX=12+2*NUMPN
DO 8 I=1,NMAX
AS(6,I)=AS(6,I)-YC*AS(1,I)+XC*AS(2,I)
AS(IC(12),I)=AS(IC(12),I)-YC*AS(IC(7),I)+XC*AS(IC(8),I)
IF (IELE.EQ.2) AS(6,I)=AS(6,I)+XC/XLT*(AS(4,I)+AS(IC(10),I))+YC/XL
1T*(AS(5,I)+AS(IC(11),I))
IF (IELE.EQ.2) AS(IC(12),I)=AS(IC(12),I)-XC/XLT*(AS(4,I)+AS(IC(10)
1,I))-YC/XLT*(AS(5,I)+AS(IC(11),I))
AS(4,I)=AS(4,I)+YC*AS(3,I)
AS(5,I)=AS(5,I)-XC*AS(3,I)
AS(IC(10),I)=AS(IC(10),I)+YC*AS(IC(9),I)
8 AS(IC(11),I)=AS(IC(11),I)-XC*AS(IC(9),I)
DO 7 I=1,NMAX
AS(I,6)=AS(I,6)-YC*AS(I,1)+XC*AS(I,2)
AS(I,IC(12))=AS(I,IC(12))-YC*AS(I,IC(7))+XC*AS(I,IC(8))
IF (IELE.EQ.2) AS(I,6)=AS(I,6)+XC/XLT*(AS(I,4)+AS(I,IC(10)))+YC/XL
1T*(AS(I,5)+AS(I,IC(11)))
IF (IELE.EQ.2) AS(I,IC(12))=AS(I,IC(12))-XC/XLT*(AS(I,4)+AS(I,IC(1
10))) -YC/XLT*(AS(I,5)+AS(I,IC(11)))
AS(I,4)=AS(I,4)+YC*AS(I,3)
AS(I,5)=AS(I,5)-XC*AS(I,3)
AS(I,IC(10))=AS(I,IC(10))+YC*AS(I,IC(9))
7 AS(I,IC(11))=AS(I,IC(11))-XC*AS(I,IC(9))
9 DO 10 I=1,2
ICC(I)=3*I-2
10 ICC(2+I)=4+NUMPN+3*I
IDD(1)=7
IDD(2)=13+NUMPN
DO 450 I=1,4
II=ICC(I)
DO 480 J=I,4
JJ=ICC(J)

```

LISTING 26

```

DO 501 M=1,3
  I1=II+M-1
  DO 501 NI=1,3
    TEMP=0.0
    DO 500 K=1,3
      K1=JJ+K-1
500  TEMP=TEMP+AS(I1,K1)*T(K,NI)
      BS(M,NI)=TEMP
501  CONTINUE
  DO 511 M=1,3
    I1=II+M-1
    DO 511 NI=1,3
      J1=JJ+NI-1
      TEMP=0.0
      DO 510 K=1,3
510  TEMP=TEMP+T(K,M)*BS(K,NI)
      AS(I1,J1)=TEMP
511  CONTINUE
450  CONTINUE
  DO 600 I=1,2
    II=IDD(I)
    DO 600 J=1,4
      JJ=ICC(J)
      DO 610 M=1,NUMPN
        I1=II+M-1
        DO 601 NI=1,3
          TEMP=0.0
          DO 603 K=1,3
            K1=JJ+K-1
603  TEMP=TEMP+AS(I1,K1)*T(K,NI)
            BS(1,NI)=TEMP
601  CONTINUE
            DO 610 NI=1,3
              J1=JJ+NI-1
              IF (I1-J1) 615,615,616
616  AS(I1,J1)=BS(1,NI)
              GOTO 610
616  AS(J1,I1)=BS(1,NI)
610  CONTINUE
600  CONTINUE
RETURN
END

```

```

-----
SUBROUTINE TRANPC (DISP,RE,ITON)
IMPLICIT REAL*8 (A-H,O-Z)
COMMON /IC/ IC(12),XC,YC
COMMON /SOL/ NUMNP,NBOUN,NEQ,MAXEST,NWK,MK,NSTE,IELE
COMMON /STNL/ XLT,ZOL,SOL,FAC,PFAC,INTZ,INTS
DIMENSION DISP(1),RE(1)
IF (ITON-2) 10,20,20
10  DISP(1)=DISP(1)-YC*DISP(6)
    DISP(2)=DISP(2)+XC*DISP(6)
    DISP(3)=DISP(3)+YC*DISP(4)-XC*DISP(5)
    IF (IELE.EQ.2) DISP(4)=DISP(4)+XC/XLT*(DISP(6)-DISP(IC(12)))
    IF (IELE.EQ.2) DISP(5)=DISP(5)+YC/XLT*(DISP(6)-DISP(IC(12)))
    DISP(IC(7))=DISP(IC(7))-YC*DISP(IC(12))
    DISP(IC(8))=DISP(IC(8))+XC*DISP(IC(12))
    DISP(IC(9))=DISP(IC(9))+YC*DISP(IC(10))-XC*DISP(IC(11))
    IF (IELE.EQ.2) DISP(IC(10))=DISP(IC(10))+XC/XLT*(DISP(6)-DISP(IC(12)))
    IF (IELE.EQ.2) DISP(IC(11))=DISP(IC(11))+YC/XLT*(DISP(6)-DISP(IC(12)))
    RETURN
20  RE(4)=RE(4)+YC*RE(3)
    RE(5)=RE(5)-XC*RE(3)
    RE(6)=RE(6)-YC*RE(1)+XC*RE(2)
    IF (IELE.EQ.2) RE(6)=RE(6)+XC/XLT*(RE(4)+RE(IC(10)))+YC/XLT*(RE(5)
1+RE(IC(11)))

```

LISTING 27

```

RE(IC(10))=RE(IC(10))+YC*RE(IC(9))
RE(IC(11))=RE(IC(11))-XC*RE(IC(9))
RE(IC(12))=RE(IC(12))-YC*RE(IC(7))+XC*RE(IC(8))
IF (IELE.EQ.2) RE(IC(12))=RE(IC(12))-XC/XLT*(RE(4)+RE(IC(10)))-YC/
1 XLT*(RE(5)+RE(IC(11)))
RETURN
END

```

```

-----
SUBROUTINE ADDBAN (NMAX,A,MAXA,S,RE,LM,KKK)
IMPLICIT REAL*8 (A-H,O-Z)
DIMENSION A(1),MAXA(1),S(1),LM(1),RE(1)
IF (KKK-1) 10,10,300
10 NDI=0
DO 200 I=1,NMAX
II=LM(I)
IF (II) 200,200,100
100 MI=MAXA(II)
KS=I
DO 220 J=1,NMAX
JJ=LM(J)
IF (JJ) 220,220,110
110 IJ=II-JJ
IF (IJ) 220,210,210
210 KK=MI+IJ
KSS=KS
IF (J.GE.I) KSS=J+NDI
A(KK)=A(KK)+S(KSS)
220 KS=KS+NMAX-J
200 NDI=NDI+NMAX-I
RETURN
300 DO 310 I=1,NMAX
II=LM(I)
IF (II) 310,310,350
350 A(II)=A(II)-RE(I)
310 CONTINUE
RETURN
END

```

```

-----
SUBROUTINE LOADMS (RE)
IMPLICIT REAL*8 (A-H,O-Z)
COMMON /SOL/ NUMNP,NBOUN,NEQ,MAXEST,NWK,MK,NSTE,IELE
COMMON /VAR/ MODEX,KSTEP,ITEMAX,KPRI,IPRI,ITE,IEQREF,IREF,KKSTEP
COMMON /EL/ IND,ICOUNT,NUMMAT,MTOT,ITWO,NUME,NUM1,NUM2,NUM3,KLIN
COMMON /CRIS/ DP,DPSUM,DPO,DL,DETER,NRORC,A1,A4,WC1,WC2,KLKR,NPP
DIMENSION RE(NEQ)
READ (1) RE
IF (KLIN.EQ.0.OR.NRORC.EQ.2) GOTO 10
DO 5 I=1,NEQ
5 RE(I)=RE(I)*KSTEP
10 CONTINUE
RETURN
END

```

```

-----
SUBROUTINE EQUIT (AA,DISPI,DINCOR,RE,DISP,MAXA,WV)
IMPLICIT REAL*8 (A-H,O-Z)
COMMON /ENERGY/ PEOLD,PEINIT
COMMON /NORMS/ RNORM,RENORM,RTOL,DTOL,ETOL
COMMON /EL/ IND,ICOUNT,NUMMAT,MTOT,ITWO,NUME,NUM1,NUM2,NUM3,KLIN
COMMON /EQIT/ NLSTPD,ISDVG,ITEDIV,NLSTEP
COMMON /VAR/ MODEX,KSTEP,ITEMAX,KPRI,IPRI,ITE,IEQREF,IREF,KKSTEP
COMMON /SOL/ NUMNP,NBOUN,NEQ,MAXEST,NWK,MK,NSTE,IELE
COMMON /KM/ KM,IDWA,KMM,KAS
COMMON /DIM/ N1,N2,N3,N4,N5,N6,N7,N8,N9,N10,N11,N12,N13,N14,N136
COMMON /CRIS/ DP,DPSUM,DPO,DL,DETER,NRORC,A1,A4,WC1,WC2,KLKR,NPP
REAL A
COMMON A(1)
DIMENSION AA(1),DISPI(1),RE(1),DISP(1),MAXA(1),WV(1),DINCOR(1)
ICOUNT=3

```


LISTING 28

```

      NPP=0
      ICONVG=0
      ITE=0
      PEINIT=PRDINN (RE,DISPI,NEQ)
      PEOLD=PEINIT
500  ITE=ITE+1
      REWIND 1
      CALL LOADMS (RE)
      IF (NRORC.EQ.1) GOTO 5
      DO 10 I=1,NEQ
10   RE(I)=DP*RE(I)
      5 IF (ISDVG.LT.2) GOTO 50
      DO 27 I=1,NEQ
27   RE(I)=RE(I)-DINCOR(I)
      50 DO 120 I=1,NEQ
120  WV(I)=DISP(I)+DISPI(I)
      CALL ELEMNT
      IF (NRORC.EQ.2) GOTO 230
      IF (ITE.EQ.1.AND.PEINIT.LT.1.0D-8) PEINIT=1.0D-8
      IF (PEOLD.GT.10000.0*PEINIT) GOTO 210
      IF (ITE.LT.(ITEMAX/2+1)) GOTO 230
      IF (PEOLD.LE.PEINIT) GOTO 230
210  IEQREF=1
      ICOUNT=2
      REWIND 1
      RETURN
230  DO 235 I=1,NEQ
235  WV(I)=RE(I)
      CALL COLSOL (AA,RE,MAXA,NEQ,NWK,2)
      IF (NRORC.EQ.2) CALL CRIS2 (DISPI,RE,A(N136),WV,DINCOR,NEQ)
      IF (NPP.EQ.1) GOTO 210
      RENORM=PRDINN (WV,WV,NEQ)
      RENORM=DSQRT(RENORM)
      PEOLD=PRDINN (RE,WV,NEQ)
      IF (RNORM.EQ.0.0) GOTO 290
      IF (RENORM.GT.RTOL*RNORM) GOTO 256
290  IF (ABS(PEOLD).GT.ETOL*ABS(PEINIT)) GOTO 256
      ICONVG=1
256  DO 300 I=1,NEQ
300  DISPI(I)=DISPI(I)+RE(I)
310  IF (ICONVG.EQ.1) GOTO 400
370  IF (ITE.LT.ITEMAX) GOTO 500
      GOTO 210
400  ICOUNT=2
      IF (RNORM.GT.0.0) GOTO 385
      WRITE (3,2025) KSTEP,ITE
      IF (NRORC.EQ.2) WRITE (3,2026) DP
      WRITE (3,2031) RENORM,PEINIT,PEOLD
      GOTO 386
385  RTNORM=RTOL*RNORM
      WRITE (3,2025) KSTEP,ITE
      IF (NRORC.EQ.2) WRITE (3,2026) DP
      WRITE (3,2030) RTNORM,RENORM,PEINIT,PEOLD
386  CONTINUE
      IF (NRORC.EQ.1) GOTO 430
      WC1=WC2
      IF (KLKR.EQ.1) GOTO 410
      BETA=DP/DPSUM
      TETA=ABS(ABS(BETA)-1)
      IF (TETA.GT.0.15) KLKR=3
      WC2=BETA*WC1
      GOTO 420
410  DL=DL*DSQRT(4.0/DBLE(ITE))
420  DPSUM=DP
      DP=0.0
430  CONTINUE
      RETURN
2025  FORMAT (///1H ,

```


LISTING 29

```

150HINKREMENT OPTERECENJA = ,I6/
251H BROJ ITERACIJA = ,I6)
2026 FORMAT (1H ,
151HNIVO OPTERECENJA = ,E15.6)
2030 FORMAT ( ///1H ,31HNORMA U POSLEDNJOJ ITERACIJI //
151H MAKSIMALNO DOZVOLJENA NORMA NEURAVNOTEZENIH SILA = ,E15.6/
251H NORMA NEURAVNOTEZENIH SILA = ,E15.6/
351H NORMA INKREMENTALNE ENERGIJE = ,E15.6/
451H NORMA NEURAVNOTEZENE INKREMENTALNE ENERGIJE = ,E15.6 )
2031 FORMAT ( / 1H ,31HNORMA U POSLEDNJOJ ITERACIJI //
151H MAKSIMALNO DOZVOLJENA NORMA NEURAVNOTEZENIH SILA = ,
23X, 21H(** NE KORISTI SE **) /
251H NORMA NEURAVNOTEZENIH SILA = ,E15.6/
351H NORMA INKREMENTALNE ENERGIJE = ,E15.6/
451H NORMA NEURAVNOTEZENE INKREMENTALNE ENERGIJE = ,E15.6 )
END

```

```

-----
SUBROUTINE COLSOL (A,V,MAXA,NN,NWK,KKK)
IMPLICIT REAL*8 (A-H,O-Z)
COMMON /CRIS/ DP,DPSUM,DPO,DL,DETER,NRORC,A1,A4,WC1,WC2,KLKR,NPP
DIMENSION A(NWK),V(1),MAXA(1)
IF (KKK-2) 40,150,150
40 DETER=1.0
DO 140 N=1,NN
KN=MAXA(N)
KL=KN+1
KU=MAXA(N+1)-1
KH=KU-KL
IF (KH) 110,90,50
50 K=N-KH
IO=0
KLT=KU
DO 80 J=1,KH
IO=IO+1
KLT=KLT-1
KI=MAXA(K)
ND=MAXA(K+1)-KI-1
IF (ND) 80,80,60
60 KK=MIN0(IO,ND)
C=0.
DO 70 L=1,KK
70 C=C+A(KI+L)*A(KLT+L)
A(KLT)=A(KLT)-C
80 K=K+1
90 K=N
B=0.
DO 100 KK=KL,KU
K=K-1
KI=MAXA(K)
C=A(KK)/A(KI)
B=B+C*A(KK)
100 A(KK)=C
A(KN)=A(KN)-B
110 IF (NRORC.EQ.1) GOTO 116
IF (A(KN).LT.0.0) DETER=-DETER
GOTO 140
116 IF (A(KN)) 120,120,140
120 WRITE (3,2000) N,A(KN)
STOP
140 CONTINUE
150 DO 180 N=1,NN
KL=MAXA(N)+1
KU=MAXA(N+1)-1
IF (KU-KL) 180,160,160
160 K=N
C=0.
DO 170 KK=KL,KU
K=K-1

```

LISTING 30

```

170 C=C+A(KK)*V(K)
    V(N)=V(N)-C
180 CONTINUE
    DO 200 N=1,NN
      K=MAXA(N)
200 V(N)=V(N)/A(K)
    IF (NN.EQ.1) RETURN
    N=NN
    DO 230 L=2,NN
      KL=MAXA(N)+1
      KU=MAXA(N+1)-1
      IF (KU-KL) 230,210,210
210 K=N
    DO 220 KK=KL,KU
      K=K-1
220 V(K)=V(K)-A(KK)*V(N)
230 N=N-1
    RETURN
2000 FORMAT (//45H STOP - MATRICA NIJE POZITIVNO DEFINITNA //
1          45H NEPOZITIVAN ELEMENAT ZA JEDNACINU ,I4,//
2          30H BROJNA VREDNOST ELEMENTA = ,E20.12)
    END
-----
SUBROUTINE DIVERG (DISP,R,RESID,AA,RE,WV,MAXA)
IMPLICIT REAL*8 (A-H,O-Z)
COMMON /EQIT/ NLSTPD,ISDVG,ITEDIV,NLSTEP
COMMON /VAR/ MODEX,KSTEP,ITEMAX,KPRI,IPRI,ITE,IEQREF,IREF,KKSTEP
COMMON /SOL/ NUMNP,NBOUN,NEQ,MAXEST,NWK,MK,NSTE,IELE
DIMENSION DISP(1),R(1),AA(1),RE(1),WV(1),MAXA(1),RESID(1)
COMMON A(1)
INTEGER IA(1)
REAL A
EQUIVALENCE (A(1),IA(1))
IF (NLSTPD.EQ.0) GOTO 400
ITESUM=ITE
ITEDIV=ITE
ITDVMX=NLSTPD*ITEMAX
ISDVG=2
NLSTEP=0
FACTOR=0.0
DELFAC=0.0
WRITE (3,2500) NLSTPD
10 DLFACO=DELFAC
DELFAC=DELFAC*DELFAC
IF (DLFACO.LT.0.25.AND.DLFACO.GT.0.0625) DELFAC=0.0625
IF (DELFAC.EQ.0.0) DELFAC=0.5
IF (DELFAC.LT.0.0625) GOTO 500
KTR=2
CALL LOADMS (R)
20 CONTINUE
CALL ELEMNT
DO 30 I=1,NEQ
RESID(I)=R(I)*(1.0-(DELFAC/(1.0-FACTOR)))
R(I)=R(I)*DELFAC/(1.0-FACTOR)
30 RE(I)=R(I)
CALL COLSOL (AA,R,MAXA,NEQ,NWK,KTR)
IEQREF=0
IREF=1
CALL EQUIT (AA,R,RESID,RE,DISP,MAXA,WV)
ITESUM=ITESUM+ITE
ITEDIV=ITEDIV+ITE
IF (ITEDIV.GT.ITDVMX) GOTO 200
IF (ITE.GT.ITEMAX) GOTO 10
IF (IEQREF.EQ.0) GOTO 50
GOTO 10
50 NLSTEP=NLSTEP+1
FACTOR=FACTOR+DELFAC
WRITE (3,2502)

```

LISTING 31

```

WRITE (3,2551) NLSTEP,FACTOR,ITESUM
ITESUM=0
IF (FACTOR.EQ.1.0) GOTO 100
IF (NLSTEP.EQ.NLSTPD) GOTO 500
DELFAC=0.5
IF (ITE.GT.4) DELFAC=0.25
IF (ITE.GT.12) DELFAC=0.0625
IF ((FACTOR+DELFAC).GT.1.0) DELFAC=1.0-FACTOR
DO 55 I=1,NEQ
55 DISP(I)=DISP(I)+R(I)
70 REWIND 1
CALL LOADMS (R)
KTR=1
IREF=0
GOTO 20
100 ISDVG=0
WRITE (3,2600) NLSTEP,ITEDIV
RETURN
200 WRITE (3,2000) NLSTEP,FACTOR
WRITE (3,2200) ITDVMX
ISDVG=1
RETURN
400 WRITE (3,2100) ITE
ISDVG=1
RETURN
500 WRITE (3,2000) NLSTEP,FACTOR
ISDVG=1
RETURN
2000 FORMAT (1H ,
159HKONVERGENCIJA NIJE POSTIGNUTA U OVOM INKREMENTU OPTERECENJA/
210X,41H BROJ ISKORISCENIH PODINKREMENATA = ,I5/
310X,41H DOSTIGNUTI DEO INKREMENTA OPTERECENJA = ,E14.6)
2100 FORMAT (1H ,
166HNEURAVNOTEZENE SILE VECE OD INKREMENTA OPTERECENJA NAKON ITERAC
2IJE,I5)
2200 FORMAT (//1H ,
137HMAKSIMALNO DOZVOLJENI BROJ ITERACIJA,,I5,13H JE DOSTIGNUT)
2500 FORMAT (//1H ,
162HITERACIJE U OKVIRU OVOG INKREMENTA OPTERECENJA NE KONVERGIRAJU
2//47H INKREMENT OPTERECENJA BICE PODELJEN U MAKSIMUM,I5,
358H MANJIH PODINKREMENATA DA BI SE POKUSALO SA KONVERGENCIJOM//)
2552 FORMAT (//1H ,
15X,10HREDNI BROJ,7X,14HDOSTIGNUTI DEO,7X,4HBROJ/3X,
214HPOD-INKREMENTA,7X,10HINKREMENTA,7X,9HITERACIJA/)
2551 FORMAT (9X,I2,11X,E14.6,8X,I3)
2600 FORMAT (/1H ,
161HKONVERGENCIJA POSTIGNUTA U OKVIRU OVOG INKREMENTA OPTERECENJA/
210X,50HBROJ ISKORISCENIH INKREMENATA = ,I5/
310X,50HUKUPAN BROJ ITERACIJA POTREBAN ZA KONVERGENCIJU = ,I5)
END
-----
SUBROUTINE DIVCRI (DISP,R,RESID,AA,RE,WV,MAXA)
IMPLICIT REAL*8 (A-H,O-Z)
COMMON /EQIT/ NLSTPD,ISDVG,ITEDIV,NLSTEP
COMMON /VAR/ MODEX,KSTEP,ITEMAX,KPRI,IPRI,ITE,IEQREF,IREF,KKSTEP
COMMON /SOL/ NUMNP,NBOUN,NEQ,MAXEST,NWK,MK,NSTE,IELE
COMMON /CRIS/ DP,DPSUM,DPO,DL,DETER,NRORC,A1,A4,WC1,WC2,KLKR,NPP
COMMON /DIM/ N1,N2,N3,N4,N5,N6,N7,N8,N9,N10,N11,N12,N13,N14,N136
DIMENSION DISP(1),R(1),AA(1),RE(1),WV(1),MAXA(1),RESID(1)
REAL A
COMMON A(1)
INTEGER IA(1)
NLSTEP=0
WRITE (3,2500) NLSTPD
10 DL=DL*0.5
WC2=WC2*0.5
NLSTEP=NLSTEP+1
CALL LOADMS (R)

```

LISTING 32

```

CALL ELEMNT
DO 30 I=1,NEQ
30 RE(I)=R(I)
CALL COLSOL (AA,R,MAXA,NEQ,NWK,2)
CALL CRIS1 (R,A(N136),RE,NEQ)
IEQREF=0
CALL EQUIT (AA,R,RESID,RE,DISP,MAXA,WV)
IF (ITE.GT.ITEMAX) GOTO 20
IF (IEQREF.EQ.1) GOTO 20
ISDVG=0
WRITE (3,2600) NLSTEP
RETURN
20 IF (NLSTEP.LT.NLSTPD) GOTO 10
ISDVG=1
WRITE (3,2700)
RETURN
2500 FORMAT (/1H ,
162HITERACIJE U OKVIRU OVOG INKREMENTA OPTERECENJA NE KONVERGIRAJU
2//47H INKREMENT OPTERECENJA BICE PODELJEN U MAKSIMUM,IS,
358H MANJIH PODINKREMENATA DA BI SE POKUSALO SA KONVERGENCIJOM//)
2600 FORMAT (/1H ,
161HKONVERGENCIJA POSTIGNUTA U OKVIRU OVOG INKREMENTA OPTERECENJA/
210X,50HBROJ ISKORISCENIH PODINKREMENATA = ,IS/)
2700 FORMAT (1H ,
162HKONVERGENCIJA NIJE POSTIGNUTA U DOZVOLJENOM BR. PODINKREMENATA)
END
-----
SUBROUTINE WRITE (DISP,ID,NDF,D,NEQ,NUMNP)
IMPLICIT REAL*8 (A-H,O-Z)
COMMON /KMC/ KM,IDWA,KMM,KAS
COMMON /PRCON/ IPNODE(2,8),NPB
COMMON /EL/ IND,ICOUNT,NUMMAT,MTOT,ITWO,NUME,NUM1,NUM2,NUM3,KLIN
DIMENSION NDF(1),ID(KM,1),DISP(1),D(1)
REWIND 8
READ(8) (NDF(I),I=1,NUMNP)
DO 10 J=1,NUMNP
10 READ(8) (ID(I,J),I=1,NDF(J))
WRITE(3,2000)
DO 150 IB=1,NPB
NODE1=IPNODE(1,IB)
NODE2=IPNODE(2,IB)
DO 100 II=NODE1,NODE2
DO 110 I=1,NDF(II)
110 D(I)=0.0
DO 120 I=1,NDF(II)
KK=ID(I,II)
IL=I
120 IF (KK.NE.0) D(IL)=DISP(KK)
WRITE(3,2010) II,(D(I),I=1,6)
100 WRITE(3,2020) (D(I),I=7,NDF(II))
150 CONTINUE
RETURN
2000 FORMAT(/32X,16HP O M E R A N J A// 6H CVOR ,2X,
112H X-POMERANJE,12H Y-POMERANJE,12H Z-POMERANJE,12H XX-ROTACIJA,
212H YY-ROTACIJA,12H ZZ-ROTACIJA/)
2010 FORMAT(1X,I4,3X,6E12.4)
2020 FORMAT(3X,5HW(I):,(6E12.4))
END
-----
SUBROUTINE NEWDAV (DISP,DISPI)
IMPLICIT REAL*8 (A-H,O-Z)
COMMON /SOL/ NUMNP,NBOUN,NEQ,MAXEST,NWK,MK,NSTE,IELE
DIMENSION DISP(1),DISPI(1)
DO 10 I=1,NEQ
10 DISP(I)=DISP(I)+DISPI(I)
RETURN
END
-----

```

LISTING 33

```

FUNCTION PRDINN (AA, BB, N)
IMPLICIT REAL*8 (A-H, O-Z)
DIMENSION AA(N), BB(N)
PRDINN=0.0
DO 100 I=1, N
100 PRDINN=PRDINN+AA(I)*BB(I)
RETURN
END

```

```

-----
SUBROUTINE CRIS1 (V, DISPO, RE, NEQ)
IMPLICIT REAL*8 (A-H, O-Z)
COMMON /VAR/ MODEX, KSTEP, ITEMAX, KPRI, IPRI, ITE, IEQREF, IREF, KKSTEP
COMMON /CRIS/ DP, DPSUM, DPO, DL, DETER, NRORC, A1, A4, WC1, WC2, KLKR, NPP
DIMENSION V(1), DISPO(1), RE(1)
A4=0.
DO 1 I=1, NEQ
DISPO(I)=V(I)
1 A4=A4+RE(I)*V(I)
IF (KLKR-2) 5, 2, 2
2 B=DPSUM*A4
C=-2.0*WC2
DPO1=(-B+DSQRT(B*B-A4*C))/A4
DPO2=(-B-DSQRT(B*B-A4*C))/A4
DPO=DPO1
IF (ABS(DPO1).GT.ABS(DPO2)) DPO=DPO2
IF (KLKR.EQ.2) GOTO 30
5 A1=0.
DO 10 I=1, NEQ
10 A1=A1+V(I)*V(I)
DS=DSQRT(A1)
IF (KLKR.EQ.3) GOTO 15
IF (KSTEP.GT.1.OR.IEQREF.EQ.1) GOTO 20
15 DL=ABS(DPO)*DS
IF (KLKR.EQ.3) GOTO 30
GOTO 35
20 IF (DETER.LT.0.0) DS=-DS
DPO=DL/DS
35 WC2=(DPSUM+0.5*DPO)*DPO*A4
IF (KSTEP.EQ.1) GOTO 30
BETA=WC2/WC1
TETA=ABS(ABS(BETA)-1)
IF (TETA.LT.0.15) KLKR=2
30 DP=DPSUM+DPO
DO 40 I=1, NEQ
V(I)=DPO*V(I)
40 RE(I)=DPO*RE(I)
IF (KLKR.EQ.3) KLKR=1
RETURN
END

```

```

-----
SUBROUTINE CRIS2 (DISPI, DISP, DISPO, WV, DINCOR, NEQ)
IMPLICIT REAL*8 (A-H, O-Z)
COMMON /CRIS/ DP, DPSUM, DPO, DL, DETER, NRORC, A1, A4, WC1, WC2, KLKR, NPP
DIMENSION DISPI(1), DISP(1), DISPO(1), WV(1), DINCOR(1)
T1=0.
T2=0.
REWIND 1
CALL LOADMS (DINCOR)
IF (KLKR.EQ.1) GOTO 5
6 A1=A4
AA=0.0
DO 1 I=1, NEQ
1 AA=AA+DINCOR(I)*DISP(I)
A2=0.5*AA+DP*A1
A3=2.0*DP*AA
GOTO 15
5 A2=0.
A3=0.

```

LISTING 34

```
DO 10 I=1,NEQ
AA=DISPI(I)+DISP(I)
A2=A2+AA*DISPO(I)
10 A3=A3+AA*AA
A1=2.0*A1
A2=2.0*A2
A3=(A3-DL*DL)*2.0
15 DS=A2*A2-A1*A3
IF (DS.LT.0.0) GOTO 80
DS=DSQRT(DS)
DL1=(-A2-DS)/A1
DL2=(-A2+DS)/A1
DO 20 I=1,NEQ
T1=T1+(DISPI(I)+DISP(I)+DL1*DISPO(I))*DISPI(I)
20 T2=T2+(DISPI(I)+DISP(I)+DL2*DISPO(I))*DISPI(I)
IF (T1.GT.0.0.AND.T2.GT.0.0) GOTO 30
DLL=DL2
IF (T1.GT.0.0) DLL=DL1
60 DO 40 I=1,NEQ
40 DISP(I)=DISP(I)+DLL*DISPO(I)
GOTO 50
30 DLL=DL2
IF (ABS(DL1+A3/A2/2.).LT.ABS(DL2+A3/A2/2.)) DLL=DL1
GOTO 60
50 DP=DP+DLL
DO 70 I=1,NEQ
70 WV(I)=WV(I)+DLL*DINCOR(I)
RETURN
80 IF (KLKR-2) 90,100,90
90 KLKR=2
GOTO 110
100 KLKR=1
110 NPP=1
RETURN
END
```


LITERATURA

1. C. Bach
Versuche über die tatsächliche Widerstandsfähigkeit von Balken mit -förmigem Querschnitt. Zeitschrift des Vereins Deutscher Ingenieure, 1909.
2. K. Bathe
A finite element program for automatic dynamic incremental nonlinear analysis; Adina.
3. K. Bathe
Finite element procedures in engineering analysis. Prentice-Hall 1982.
4. K. Bathe, E. Dvorkin
On the automatic solution of nonlinear finite element equations. CS Vol. 17. 1983.
5. K. Bathe, S. Bolourchi
Large displacement analysis of three-dimensional beam structures. JNME Vol. 14. 1979.
6. Z. Bažant, M. Nimezi
Large deflection spatial buckling of thin walled beams and frames. JEMD Decembar 1973.
7. R. Barsoum, R. Gallagher
Finite element analysis of torsional and torsional flexural stability problems. JNME Vol. 2. 1970.
8. D. Brush, B. Almroth
Buckling of bars, plates, and shells. McGraw-Hill, 1975.

9. A. Chaudhary
Generalized stiffness matrix for thin walled beams.
JSD St. 3. 1982.
10. R. Cook
Concepts and applications of finite element
analysis. John Wiley and Sons, 1974.
11. M. Crisfield
A fast incremental solution procedure that handles
"snap-through". *CS Vol.* 13. 1981.
12. M. Crisfield
An arc-length method including line searches and
accelerations. *IQNME Vol.* 19. 1983.
13. M. Epstein, D. Murray
Three dimensional large deformation analysis of
thin walled beams. *IQSS Vol.* 12. 1976.
14. P. Friberg
Beam element matrices derived from Ulasov's theory
of open thin walled elastic beams.
IQNME Vol. 21. 1985.
15. A. Goldenvelzer
O teoriji tonkostennih stereznef. *PM tom* 13. 1949.
16. C. Gururjee, K. Shah
A computer program for thin walled frame analysis
Adv. Eng. Software, Vol. 11. 1989.
17. N. Hajdin
Tankozidni nosaci otvorenog i zatvorenog popre-
znog preseka. *Skripta, Gradjeviniski fakultet u*
Beogradu.
18. E. Hinton, D. Owen
Finite element programming. Academic Press 1977.
19. E. Hinton, D. Owen
Finite element computations. Pitneridge Press 1979.

20. J. Deusette, G. Laschet, S. Ddelsohn
An effective automatic incremental-iterative method for static nonlinear structural analysis. CS Vol. 32. 1989.
21. R. Kappus
Drillknicken zentrisch gedrückter Stäbe mit offenem Profil im elastischen Bereich. Luftfahrtforschung, 1937.
22. C. Kollbrunner, N. Hajdin
Dünnwandige Stäbe 1. Springer-Verlag 1972.
23. J. Krahula
Analysis of bent and twisted bars using the finite element method. AIAA Journal, Vol 5, 1967.
24. S. Krenk, B. Jeppesen
Finite elements for beam cross-sections of moderate wall thickness. CS Vol. 32. 1989.
25. R. Maillart
Zur Frage der Biegung.
Schweizerische Bauzeitung, 1921.
26. H. Martin, G. Carey
Introduction to finite element analysis.
McGraw-Hill.
27. J. Meek, H. Tan
Geometrically nonlinear analysis of space frames by an incremental iterative technique. CMAME 47. 1984.
28. B. Mehrotra, A. Mufti, R. Redwood
Analysis of three dimensional thin walled structures. JSD St 12. 1969.
29. S. Morchi, E. Lovell
Lateral Buckling of intersecting connected beams. JMD EM 2. 1978.

30. N. Murray, M. Attard
A direct method of evaluating the warping properties of thin walled open and closed profiles.
Thin-Walled Struct. 5. 1987.
31. M. Paz, C. Strehl, P. Schrader
Computer determination of the shear center of open and closed sections. *CS Vol.* 6. 1976.
32. A. Prokić
Prilog postkritičnoj analizi prostornog sistema stapova punog i tankozidnog poprečnog preseka.
Magistarski rad. Građj. fakultet u Beogradu 1983.
33. A. Prokić
Uticač geometrijskih imperfekcija na ponašanje rešetkastih konstrukcija. 17. Jugoslovenski kongres teorijske i primenjene mehanike, Zadar 1986.
34. J. Przemieniecki
Theory of matrix structural analysis.
McGraw-Hill, 1968.
35. J. Renton
Buckling of frames composed of thin-walled members. *Thin-Walled Structures* 1967.
36. M. Sekulović
Tankozidni prostorno krivi stap. Doktorska disertacija. Građjeviniski fakultet u Beogradu 1972.
37. M. Sekulović
Prilog nelinearnoj analizi tankozidnih konstrukcija. 15. Jugoslovenski kongres teorijske i primenjene mehanike, Kupari 1981.
38. M. Sekulović, A. Prokić
Nelinearna analiza tankozidnih nosača otvorenog i zatvorenog poprečnog preseka. 17. Jugoslovenski kongres teorijske i primenjene mehanike, Zadar 1986.

39. M. Sekulović, A. Prokić
Analiza stabilnosti tankozidnih nosača po metodi konačnih elemenata. Simpozijum, Tara 1982.
40. M. Sekulović, A. Prokić
Prilog post-kritičnom ponašanju linijskih nosača. Bečić 1984.
41. M. Sekulović, B. Pujević, A. Prokić
Contribution to nonlinear analysis of thin-walled frames. Proceedings of the Int. Conf. on Steel, Budva 1986.
42. C. Szymczak
Buckling and initial post-buckling behavior of thin-walled columns. CS Vol. 11. 1980.
43. S. Timoshenko
Einige Stabilitätsprobleme der Elastizitätstheorie. Zeitschrift für Mathematik und Physik, 1910.
44. S. Timoshenko, J. Gere
Theory of elastic stability. Mc Graw-Hill 1961.
45. A. Umanskiĭ
Kručeniĭe i izgib tankostennih aviokonstrukcij. Moskva Oborongiz 1939.
46. P. Vacharajittiphon, N. Trahair
Warping and distortion at D-section joints. JSD St 3. 1974.
47. P. Vacharajittiphon, N. Trahair
Analysis of lateral buckling in plane frames. JSD St 3. 1975.
48. V. Ulasov
Tankostennie uprugie ster žni. Gosstroizdat 1940.
49. H. Wagner
Verdrehung und Knickung von offen Profilen. Festschrift 25 Jahre T.H. Danzig, 1929.

50. C. Yoo, S. Acra
Cross-sectional properties of thin-walled multi-cellular section. *CS* Vol. 22. 1986
51. C. Yoo
Bimoment contribution to stability of thin walled assemblages. *CS* Vol. 11. 1980.

- CS* - Computer and Structures
IJNME - International Journal for Numerical Methods in Engineering
IJSS - International Journal of Solid and Structures
JEMD - Journal of the Engineering Mechanics Division
JSD - Journal of the Structural Division
JMD - Journal of the Engineering Mechanics Division



